



**Campagna di Monitoraggio della Qualità dell'Aria
Comune di Rescaldina**

ARPA Lombardia

**Relazione finale delle due Campagne di
monitoraggio**

05 maggio-2021 ÷ 07 giugno 2021

15 ottobre 2021 ÷ 23 novembre 2021

Documento redatto da:

Andrea Algieri.

Hanno collaborato:

Cristina Colombi, Marco Chiesa, Umberto Dal Santo, Giovanni Cigolini, Rosario Cosenza, Marco Dal Zotto, Romeo Ferrari, Francesco Ledda, Fabio Radrizzani.

Visto dal responsabile della U.O. Qualità dell'Aria:

Guido Lanzani.

ARPA Lombardia | U.O. Qualità dell'Aria

Via I. Rosellini, 17

20124 – Milano

Tel. 02.69666.1

PEC: arpa@pec.regione.lombardia.it

WEB: www.arpalombardia.it

Aprile 2022

Sommario

INTRODUZIONE.....	4
MISURE E STRUMENTAZIONE.....	4
INQUINANTI MISURATI	4
NORMATIVA	9
CAMPAGNA DI MISURA.....	12
Sito di Misura	12
Emissioni sul territorio	15
Situazione meteorologica nel periodo di misura	19
Analisi dei dati	24
Il monossido di carbonio (CO)	24
L'ozono Troposferico (O ₃)	27
Il biossido di azoto (NO ₂)	30
Le concentrazioni di massa del PM10.....	33
Le concentrazioni di massa del PM2.5.....	35
Il Benzene.	38
Stima dei superamenti dei limiti normativi durante l'anno: le Proiezioni	41
Misure di Black Carbon (BC)	45
Conclusioni.....	48
Allegato 1: Dati orari "periodo estivo"	50
Allegato 2: Dati orari "periodo Invernale"	63
Allegato 3: Dati giornalieri PM10 e PM2.5.....	78

Introduzione

Il presente documento fornisce un'analisi dello stato della qualità dell'aria sul territorio del Comune di Rescaldina, a seguito della richiesta da parte dell'Amministrazione Comunale di eseguire il monitoraggio della qualità dell'aria lungo l'asse della SP527 "Saronnese", in considerazione di recenti nuove strutture di notevole attrattività aperte in Comuni limitrofi, oltre alla previsione a breve termine di subentro di nuove attività di vendita all'interno del centro commerciale esistente sul territorio comunale.

ARPA Lombardia ha dunque effettuato una campagna di monitoraggio mediante l'installazione di un laboratorio mobile e, per tener conto della variabilità stagionale dei fenomeni di inquinamento, ha suddiviso la campagna in due periodi: dal 05 maggio al 07 giugno 2021 ("Estivo") e dal 15 ottobre al 23 novembre 2021 ("Invernale"). La campagna di monitoraggio ha permesso di verificare se la qualità dell'aria a Rescaldina fosse confrontabile con quella di altre stazioni fisse della Rete di Monitoraggio o se, in relazione alle pressioni antropiche presenti nel territorio comunale e nelle aree circostanti, vi fosse una qualche specifica criticità.

In accordo con il Comune, il laboratorio mobile è stato posizionato in via Roma, in prossimità del campo sportivo.

Misure e strumentazione

Le misure sono state effettuate mediante un laboratorio mobile provvisto di diversi analizzatori automatici. La strumentazione utilizzata nel laboratorio mobile è del tutto simile a quella presente nelle stazioni fisse della Rete di Rilevamento della Qualità dell'Aria (RRQA) e risponde alle caratteristiche previste dalla legislazione vigente (D. Lgs. 155/2010).

Gli inquinanti monitorati sono stati: biossido di zolfo (SO₂), monossido di carbonio (CO), ossidi di azoto (NO_x), ozono (O₃), BTEX (benzene, toluene, etilbenzene, o-xilene, mp-xilene), PM10 e PM2,5, Black Carbon (BC).

- **monossido di carbonio (CO),**
- **ossidi di azoto (NO_x),**
- **Ozono (O₃)**
- **Particolato atmosferico PM10**
- **Particolato atmosferico PM2,5**
- **Black Carbon (BC)**
- **BTEX**

Inquinanti misurati

Gli inquinanti dispersi in atmosfera possono essere divisi schematicamente in due gruppi: primari e secondari. I primi sono emessi direttamente in atmosfera da sorgenti antropogeniche o naturali; i secondi si formano in atmosfera in seguito a reazioni chimiche che coinvolgono altre specie, primarie o secondarie. Le concentrazioni di un inquinante primario dipendono significativamente dalla distanza tra il punto di misura e le sorgenti mentre le concentrazioni di un inquinante secondario, essendo prodotto dai suoi precursori già dispersi nell'aria ambiente, risultano in genere diffuse in modo più omogeneo sul territorio.

Si descrivono di seguito le caratteristiche principali degli inquinanti monitorati.

Gli ossidi di azoto (NO e NO₂)

Gli ossidi di azoto (nel complesso indicati anche come NO_x) sono emessi direttamente in atmosfera dai processi di combustione ad alta temperatura (impianti di riscaldamento, motori dei veicoli, combustioni industriali, centrali di potenza, ecc.), per ossidazione dell'azoto atmosferico e, solo in piccola parte, per l'ossidazione dei composti dell'azoto contenuti nei combustibili utilizzati.

All'emissione gran parte degli NO_x è in forma di monossido di azoto (NO), con un rapporto NO/NO₂ notevolmente a favore del primo. Si stima che il contenuto di biossido di azoto (NO₂) nelle emissioni sia tra il 5% e il 10% del totale degli ossidi di azoto. L'NO, una volta diffusosi in atmosfera può ossidarsi e portare alla formazione di NO₂. L'NO è quindi un inquinante primario mentre l'NO₂ ha caratteristiche prevalentemente di inquinante secondario.

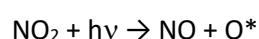
Il monossido di azoto (NO) non è soggetto a normativa in quanto, alle concentrazioni tipiche misurate in aria ambiente, non provoca effetti dannosi sulla salute e sull'ambiente. Se ne misurano comunque i livelli poiché, attraverso la sua ossidazione in NO₂ e la sua partecipazione ad altri processi fotochimici, contribuisce anche alla produzione di ozono troposferico. Il biossido di azoto (NO₂) è un gas di colore rosso bruno, dall'odore forte e pungente, altamente tossico e irritante. Essendo più denso dell'aria tende a rimanere a livello del suolo.

Il monossido di carbonio (CO)

Il monossido di carbonio è un gas inodore, incolore, infiammabile e tossico. Ha origine da processi di combustione incompleta di composti contenenti carbonio. È un gas la cui origine, soprattutto nelle aree urbane, è da ricondursi prevalentemente al traffico autoveicolare e in particolare ai motori a benzina. Le emissioni di CO dai veicoli sono maggiori in fase di accelerazione e di traffico congestionato. Si tratta quindi di un inquinante primario le cui concentrazioni, strettamente legate ai flussi di traffico locali, rispecchiano gli andamenti giornalieri del traffico, raggiungendo valori massimi in concomitanza delle ore di punta a inizio e fine giornata, soprattutto nei giorni feriali. Durante le ore centrali della giornata i valori tendono a calare, grazie anche a una migliore capacità dispersiva dell'atmosfera. È da sottolineare che, grazie al progressivo miglioramento della tecnologia dei motori a combustione, le concentrazioni di CO sono in calo da diversi anni tanto da rasentare il fondo naturale in molte aree della Lombardia

L'ozono (O₃)

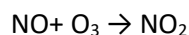
L'ozono è un inquinante secondario che non ha sorgenti emissive dirette di rilievo. La sua formazione avviene in seguito a reazioni chimiche in atmosfera tra i suoi precursori (soprattutto ossidi di azoto e composti organici volatili) e in presenza di alte temperature e forte irraggiamento solare. Queste reazioni portano alla formazione di vari composti tra i quali, oltre l'ozono, nitrati e solfati (costituenti del particolato fine), perossiacetilnitrato (PAN) e acido nitrico, che nell'insieme costituiscono il tipico inquinamento estivo detto smog fotochimico. A differenza degli inquinanti primari, le cui concentrazioni dipendono direttamente dalle quantità emesse dalle sorgenti presenti nell'area, la formazione dell'ozono è più complessa. La chimica dell'ozono ha come punto di partenza la presenza di ossidi di azoto, che vengono emessi in grandi quantità nelle aree urbane. Sotto l'effetto della radiazione solare la formazione di ozono avviene in conseguenza della fotolisi del biossido di azoto:



dove $h\nu$ rappresenta la radiazione solare e O^* l'ossigeno monoatomico nello stato eccitato. L'ossigeno atomico O^* reagisce rapidamente con l'ossigeno molecolare dell'aria in presenza di una terza molecola che, pur non rientrando nella reazione vera e propria, ne assorbe l'eccesso di energia vibrazionale stabilizzando così la molecola di ozono formata:



Una volta generato, l'ozono reagisce con l'NO e rigenera NO_2 :



Le tre reazioni descritte formano un ciclo chiuso che, da solo, non sarebbe sufficiente a causare gli alti livelli di ozono che possono essere misurati in condizioni favorevoli alla formazione di smog fotochimico. La presenza di altri inquinanti, quali a esempio gli idrocarburi, fornisce una diversa via di ossidazione del monossido di azoto, così da produrre NO_2 senza consumo di ozono. In tal modo viene spostato l'equilibrio del ciclo sopra descritto consentendo l'accumulo dell' O_3 .

Le concentrazioni di ozono raggiungono i valori più elevati nelle ore pomeridiane delle giornate estive soleggiate. In particolare, dato che l'ozono si forma durante il trasporto delle masse d'aria contenenti i suoi precursori, emessi soprattutto nelle aree urbane, le concentrazioni più alte si osservano soprattutto nelle zone extraurbane sottovento rispetto ai centri urbani principali. Inoltre, nelle città la presenza di NO tende a far calare le concentrazioni di ozono, soprattutto in vicinanza di strade con alti volumi di traffico.

Il particolato atmosferico

Un aerosol è definito come la miscela di particelle solide o liquide e il gas nel quale esso sono sospese; il termine particolato (particulate matter, PM) individua l'insieme dei corpuscoli presenti nell'aerosol. Con particolato atmosferico si fa quindi riferimento al complesso e dinamico insieme di particelle, con l'esclusione dell'acqua, disperse in atmosfera per tempi sufficientemente lunghi da subire fenomeni di diffusione e trasporto. L'insieme delle particelle aerodisperse si presenta con una grande varietà di caratteristiche fisiche, chimiche, geometriche e morfologiche. Le sorgenti possono essere di tipo naturale (erosione del suolo, spray marino, vulcani, incendi boschivi, dispersione di pollini, etc.) o antropiche (industrie, riscaldamento, traffico veicolare e processi di combustione in generale). Può essere di tipo primario se immesso in atmosfera direttamente dalla sorgente o secondario se si forma successivamente, in seguito a trasformazioni chimico-fisiche di altre sostanze. I maggiori componenti del particolato atmosferico sono il solfato, il nitrato, l'ammoniaca, il cloruro di sodio, il carbonio e le polveri minerali. Dunque, si tratta di un inquinante molto diverso da tutti gli altri, presentandosi non come una specifica entità chimica ma come una miscela di particelle dalle più svariate proprietà. Anche il destino delle particelle in atmosfera è molto vario, in relazione alla loro dimensione e composizione, tuttavia i fenomeni di deposizione secca e umida sono quelli principali per la rimozione delle polveri aerodisperse.

Il particolato atmosferico ha un rilevante impatto ambientale: sul clima, sulla visibilità, sulla contaminazione di acqua e suolo, sugli edifici e sulla salute di tutti gli esseri viventi. Soprattutto gli effetti che può avere sull'uomo destano maggiore preoccupazione e interesse, per questo è fondamentale conoscere in che modo interagisce con l'organismo umano alterandone il normale equilibrio. In particolare, le particelle più piccole riescono a penetrare più a fondo nell'apparato respiratorio. Quindi, è importante capire quali e quante particelle sono in grado di penetrare nel corpo

umano, a che profondità riescono ad arrivare e che tipo di sostanze possono trasportare. A esempio, la tossicità del particolato può essere amplificata dalla capacità di assorbire sostanze gassose come gli IPA (Idrocarburi Policiclici Aromatici) e i metalli pesanti, alcuni dei quali sono potenti agenti cancerogeni.

Per definizione, una particella è un aggregato di molecole, anche eterogenee, in grado di mantenere le proprie caratteristiche fisiche e chimiche per un tempo sufficientemente lungo da poterla osservare e tale da consentire alla stesse di partecipare a processi fisici e/o chimici come entità a sé stante. Le particelle del particolato atmosferico possono avere dimensioni che variano anche di 5 ordini di grandezza (da 10 nm a 100 µm), oltre che diverse forme e per lo più irregolari. Al fine di valutare l'impatto del particolato sulla salute umana è necessario individuare uno o più sottoinsiemi di particelle che, in base alla loro dimensione, abbiano diverse capacità di penetrazione nelle prime vie respiratorie (naso, faringe, laringe) piuttosto che nelle parti più profonde dell'apparato respiratorio (trachea, bronchi, alveoli polmonari). Per poter procedere alla classificazione in relazione alla dimensione viene definito il "*diametro aerodinamico equivalente*", ovvero il diametro di una particella sferica di densità unitaria con le stesse caratteristiche aerodinamiche (velocità di sedimentazione) della particella in esame.

Considerata la normativa europea (UNI EN12341/2014), si definisce PM10 la frazione di particelle raccolte con strumentazione avente efficienza di selezione e raccolta stabilita dalla norma e pari al 50% per il diametro aerodinamico di 10 µm. Sebbene in modo improprio, il PM10 viene spesso definito come la frazione di particelle con diametro uguale o inferiore a 10 µm. In modo del tutto analogo viene definito il PM2.5 (UNI EN12341/2014).

BTEX-Benzene

Il benzene è un idrocarburo che si presenta come un liquido incolore, volatile, infiammabile, ha odore sgradevole, sapore bruciante ed è insolubile in acqua. È largamente usato come ottimo solvente di molte sostanze organiche (alcaloidi, gomma, resine, grassi etc.), in miscele carburanti (con benzina), come materia prima per la produzione di alcuni importanti composti (etilbenzene, cumene, cicloesano, anilina etc.), usati nella preparazione di materie plastiche, detergenti, fibre tessili, coloranti etc.

BTEX -Toluene

Idrocarburo aromatico, è un liquido infiammabile, incolore, di odore simile a quello del benzene; presente nei petroli, nei catrami di carbone fossile, nei prodotti di distillazione di varie resine (fra le quali quella di tolù, da cui il nome). Il toluene si addiziona alle benzine per le sue qualità antidetonanti; si usa inoltre come solvente di lacche, di resine, come materia prima per diversi prodotti.

BTEX -Etilbenzene

L'etilbenzene è un composto aromatico che, a temperatura ambiente, si presenta come un liquido incolore e dall'odore di benzina. Esso, insieme al benzene, toluene e xileni costituisce uno degli inquinanti derivanti dall'industria petrolchimica tossici per l'uomo e per gli altri organismi viventi.

L'etilbenzene ha una elevata tensione di vapore e una bassa solubilità in acqua e pertanto tende a passare dall'acqua all'ambiente circostante. Si trova in natura nel catrame di carbone, nel petrolio e anche in prodotti manifatturieri come inchiostri, pesticidi e vernici.

BTEX -o,m,p-xilene

Il termine xilene si riferisce alla miscela di tre composti isomeri derivati dal benzene, chiamati rispettivamente "orto-xilene", "meta-xilene" e "para-xilene". Lo xilene è un liquido incolore avente un odore lievemente dolce, è infiammabile e nocivo. È un prodotto che si trova naturalmente nel petrolio, nel catrame e si può formare anche negli boschivi e le sue proprietà chimiche variano leggermente da isomero a isomero. Le industrie chimiche producono lo xilene a partire dal petrolio, ed è utilizzato come solvente nella stampa, per la lavorazione delle gomme e del cuoio. Viene anche usato come agente pulente per acciai, come componente e come diluente per vernici. Lo si può anche trovare in piccole quantità nella benzina per aviogetti e nel gasolio per autotrazione.

La frazione carboniosa

In relazione alla frazione carboniosa del particolato atmosferico non c'è pieno accordo sulla terminologia corretta da utilizzare nella definizione delle diverse componenti. In letteratura scientifica, le definizioni utilizzate fanno riferimento o a specifiche proprietà dei composti carboniosi o al metodo di misura utilizzato (definizione operativa).

Il black carbon (BC) è definito come l'insieme delle particelle carboniose in grado di assorbire luce con lunghezza d'onda caratteristica nello spettro del visibile (380÷880 nm).

La definizione BC fa riferimento a differenti proprietà (rispettivamente termiche e ottiche), tuttavia, la frazione carboniosa del particolato che vanno a individuare è quasi la stessa: particelle di carbonio con microstruttura simile a quella della grafite e aggregate in piccole sfere con diametro indicativamente compreso tra 10 e 50 nm. Il composto risultante è refrattario con una temperatura di fusione sopra i 3.500 °C, è un forte agente riducente e reagisce violentemente con ossidanti e con molti altri composti. Risulta insolubile in solventi organici, in acqua e nei componenti del particolato atmosferico. Si tratta di un inquinante primario emesso durante la combustione incompleta di combustibili fossili e di biomasse e può essere emesso da sorgenti naturali e antropiche sotto forma di fuliggine. In ambito urbano può essere assunto quale tracciante delle emissioni dei motori a combustione interna e della vasta gamma di specie chimiche (e di varia tossicità) da esso trasportate, compresi i composti organici quali gli IPA (Idrocarburi Policiclici Aromatici).

Alla frazione carboniosa del particolato sono attribuiti impatti negativi sulla salute umana, sull'ecosistema e sulla visibilità. Soprattutto EC e BC, grazie alla loro natura fisica di nanoparticella e alla loro elevata superficie specifica sono in grado di veicolare all'interno dell'organismo umano sostanze cancerogene e genotossiche quali ad esempio gli idrocarburi policiclici aromatici (IPA) e i metalli. Esposizioni su breve e lungo termine sono associate con un'ampia gamma di effetti sulla salute, in particolare sul sistema respiratorio e cardiovascolare. Inoltre, la frazione carboniosa del particolato e in particolare il BC, a causa delle sue proprietà ottiche, può influenzare il bilancio radiativo terrestre e, di conseguenza, il clima oltre a interagire con le nubi, una volta depositato sulle superfici è in grado di assorbire direttamente la luce riducendone così il potere riflettente (ad esempio, l'albedo della neve e del ghiaccio).

Tabella 1. Sorgenti emissive dei principali inquinanti misurati con il laboratorio mobile

Inquinanti	Principali sorgenti di emissione
Biossido di Zolfo* SO ₂	Impianti riscaldamento, centrali di potenza, combustione di prodotti organici di origine fossile contenenti zolfo (gasolio, carbone, oli combustibili).
Biossido di Azoto*/** NO ₂	Impianti di riscaldamento, traffico autoveicolare (in particolare quello pesante e di motori diesel), centrali di potenza, attività industriali (processi di combustione per la sintesi dell'ossigeno e dell'azoto atmosferici).
Monossido di Carbonio* CO	Traffico autoveicolare (processi di combustione incompleta dei combustibili fossili), soprattutto di motori a benzina.
Ozono** O ₃	Non ci sono significative sorgenti emissive in troposfera ma composti precursori che in condizioni favorevoli (alte temperature e forte irraggiamento solare) danno origine alla formazione di ozono.
Particolato Fine*/** PM10	È prodotto principalmente da combustioni e per azioni meccaniche (erosione, attrito, ecc.) ma anche per processi chimico-fisici che avvengono in atmosfera a partire da precursori anche in fase gassosa.
Idrocarburi non metanici* (IPA, Benzene, Toluene)	Traffico autoveicolare (processi di combustione incompleta, in particolare di combustibili derivati dal petrolio), evaporazione dei carburanti, processi industriali (produzione e utilizzo di vernici e solventi, lavorazione di materie plastiche, fonderie, acciaierie, etc.) e combustione di biomassa.
Composti Organici Volatili	I VOC provengono da una lunga serie di prodotti, tra i quali troviamo: pitture, lacche, pesticidi, prodotti per la pulizia, materiali di costruzione, materiale per ufficio come adesivi, marcatori, stampanti, fotocopiatrici, ecc.

* = Inquinante Primario (generato da emissioni dirette in atmosfera dovute a fonti naturali e/o antropogeniche)

** = Inquinante Secondario (prodotto in atmosfera attraverso reazioni chimiche)

Normativa

Il Decreto Legislativo n. 155 del 13/08/2010 ha recepito la Direttiva Europea 2008/50/CE e abrogato la normativa precedente riguardo i principali inquinanti atmosferici (D.P.C.M. 28/03/83, D.P.R. 203/88, D.M. 25/11/94, D.M. 60/02, D. Lgs. 183/04), istituendo un quadro normativo unitario in materia di valutazione e gestione della qualità dell'aria. Al fine di salvaguardare la salute umana e l'ambiente, stabilisce limiti di concentrazione, a lungo e breve termine, ai quali attenersi. Per valore limite si intende il livello di un inquinante fissato in base alle conoscenze scientifiche al fine di evitare, prevenire o ridurre gli effetti nocivi per la salute umana o per l'ambiente nel suo complesso e che non deve essere superato. In Tabella 2 sono riportati i principali valori limite e valori obiettivo sulle concentrazioni degli inquinanti misurati durante la campagna di monitoraggio della qualità dell'aria effettuata a Rescaldina.

Tabella 2: Valori limite e obiettivo, soglie di informazione e allarme degli inquinanti esaminati secondo il D. Lgs. 155/10.

Biossido di Zolfo	Valore limite ($\mu\text{g}/\text{m}^3$)		Periodo di mediazione
SO ₂	Valore limite protezione salute umana (da non superare più di 24 volte per anno civile)	350	1 ora
	Valore limite protezione salute umana (da non superare più di 3 volte per anno civile)	125	24 ore
	Livello critico per la protezione della vegetazione	20	Anno civile e inverno (1 ott – 31 mar)
	Soglia di allarme	500	1 ora (rilevati su 3 ore consecutive)
Biossido di azoto	Valore limite ($\mu\text{g}/\text{m}^3$)		Periodo di mediazione
NO ₂	Valore limite protezione salute umana (da non superare più di 18 volte per anno civile)	200	1 ora
	Valore limite protezione salute umana	40	Anno civile
	Soglia di allarme	400	1 ora (rilevati su 3 ore consecutive)
Ossidi di azoto	Valore limite ($\mu\text{g}/\text{m}^3$)		Periodo di mediazione
NO _x	Livello critico per la protezione della vegetazione	30	Anno civile
Monossido di carbonio	Valore limite (mg/m^3)		Periodo di mediazione
CO	Valore limite protezione salute umana	10	8 ore
Ozono	Valore limite ($\mu\text{g}/\text{m}^3$)		Periodo di mediazione
O ₃	Valore obiettivo per la protezione della salute umana (da non superare più di 25 volte per anno civile come media su tre anni)	120	8 ore
	Valore obiettivo per la protezione della vegetazione	18000	AOT40 ¹ (mag-lug) su 5 anni
	Soglia di informazione	180	1 ora
	Soglia di allarme	240	1 ora (rilevati su 3 ore consecutive)
Particolato fine PM10	Valore limite ($\mu\text{g}/\text{m}^3$)		Periodo di mediazione

¹ Per AOT40 si intende la somma della differenza tra le concentrazioni orarie superiori a $80 \mu\text{g}/\text{m}^3$ e $80 \mu\text{g}/\text{m}^3$ in un dato periodo di tempo, utilizzando solo i valori orari rilevati ogni giorno tra le 8:00 e le 20:00. Il dato presentato è stimato sulla base di un rendimento teorico del 100% a partire dall'AOT40 misurato, rinormalizzato al periodo di effettivo funzionamento secondo quanto previsto dall'Allegato VII punto 1 del D. Lgs. 155/2010. Si considerano solo le stazioni sub-urbane (fondo), rurali, rurali di fondo.

PM10	Valore limite protezione salute umana (da non superare più di 35 volte per anno civile)	50	24 ore
	Valore limite protezione salute umana	40	Anno civile
Benzene	Valore limite ($\mu\text{g}/\text{m}^3$)		Periodo di mediazione
C ₆ H ₆	Valore limite	5	Anno civile

Come si evince dalla tabella, per alcuni inquinanti non è possibile esprimersi formalmente sul superamento di valori limite/obiettivo con campagne di breve durata, essendo questi riferiti a medie annuali. Tuttavia, il confronto tra quanto rilevato nella campagna e quanto misurato con continuità da anni nelle diverse stazioni fisse della RRQA, consente di valutare le differenze tra i siti e quindi la probabilità di superamento anche dei valori limiti annuali.

Campagna di Misura

Sito di Misura

Il comune di Rescaldina è posto a circa 25 km a nord-ovest della città metropolitana di Milano. Il territorio si estende ai confini con la provincia di Varese, tra i comuni di Cerro Maggiore, Legnano, Cislago (VA), Gerenzano (VA), Uboldo (VA), Castellanza (VA), Marnate (VA) e Gorla Minore (VA). Attraversato dalla strada statale n. 527 Bustese, può essere facilmente raggiunto anche mediante l'autostrada A8 Milano-Varese, cui si accede dal casello di Castellanza, posto a soli 2 km. Tramite la linea Saronno-Novara il Comune risulta ben collegato con la rete ferroviaria. Per il commercio, i servizi e le necessità di ordine burocratico-amministrativo fa capo a Milano e Legnano.

In generale, la scelta di un sito di misura viene fatta rispettando, il più possibile, determinati criteri. Prima di tutto bisogna tenere conto di qual è lo scopo della campagna che si deve effettuare, cioè quali inquinanti e sorgenti si intendono monitorare e quali sono i ricettori da considerare. Individuata la zona si deve verificare quali posizioni rispondono alle necessità dettate dalla normativa (Allegato III del D. Lgs. 155/10 riguardo all'ubicazione delle stazioni di misura) e dalla logistica (spazi e alimentazione per gli strumenti, accessibilità, etc.). In particolare, per quanto riguarda l'ubicazione del punto di monitoraggio su microscala, la normativa stabilisce che:

- l'ingresso della sonda di prelievo deve essere libero da qualsiasi ostruzione per un angolo di almeno 270° e il campionatore deve essere posto a una distanza di alcuni metri rispetto edifici, balconi, alberi e altri ostacoli;
- il punto di ingresso della sonda di prelievo deve essere collocato ad un'altezza compresa tra 1.5 e 4 m sopra il livello del suolo;
- il punto di ingresso della sonda non deve essere posizionato nelle immediate vicinanze di fonti di emissione al fine di evitare l'aspirazione diretta di emissioni non disperse nell'aria ambiente;
- nelle stazioni di misurazione da traffico la localizzazione del punto prelievo deve avvenire ad almeno 4 m di distanza dal centro della corsia di traffico più vicina, a non oltre 10 m dal bordo stradale e ad almeno 25 m di distanza dal limite dei grandi incroci.

Infine, è importante che il luogo individuato rispetti tutte le norme di sicurezza, sia per le persone che per gli strumenti.

Tenuto conto di quanto detto, per valutare la qualità dell'aria nel comune di Rescaldina, è stata individuata per il laboratorio mobile la postazione nella strada di via Roma adiacente al cancello d'ingresso dello stadio (coordinate: 45°36'45.6"N, 8°57'14.8"E; altitudine: 218 metri sul livello del mare). Secondo le definizioni del D. Lgs. 155/10, tale sito è assimilabile a una stazione urbana di fondo (UB). Nella Figura 1, Figura 2 e Figura 3 si riporta, a diverse scale, la localizzazione del sito di misura. Secondo la zonizzazione del territorio regionale prevista dal Decreto Legislativo n. 155 del 13 agosto 2010, che suddivide il territorio regionale in zone e agglomerati sui quali svolgere l'attività di misura e poter così valutare il rispetto dei valori obiettivo e dei valori limite, Rescaldina appartiene all'Agglomerato di Milano ed è stata classificata come stazione di tipo Urbana da Fondo (*Urbana Background "UB"*).

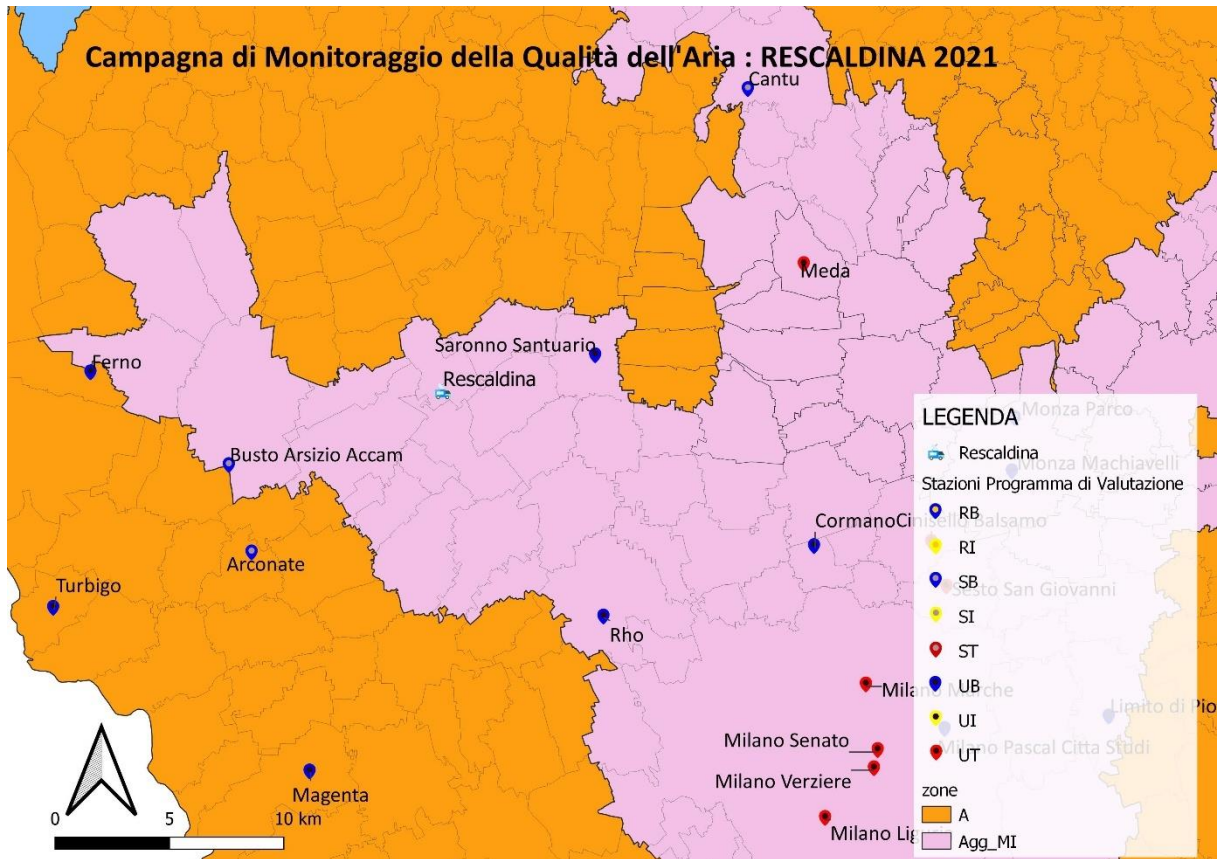


Figura 1. Inquadramento territoriale del Comune di Rescaldina. Nella mappa sono riportate sia le aree comunali secondo la Zonizzazione regionale del D.lg. 155/2010 sia le centraline fisse della RRQA di ARPA Lombardia ricadenti in una parte del territorio dell'Area Metropolitana di Milano e delle Provincia di Como e Varese appartenenti al Programma di Valutazione (PDV)²

²<https://www.arpalombardia.it/Pages/Aria/Rete-di-rilevamento/Criteri-di-rilevamento/Programma-di-valutazione.aspx>

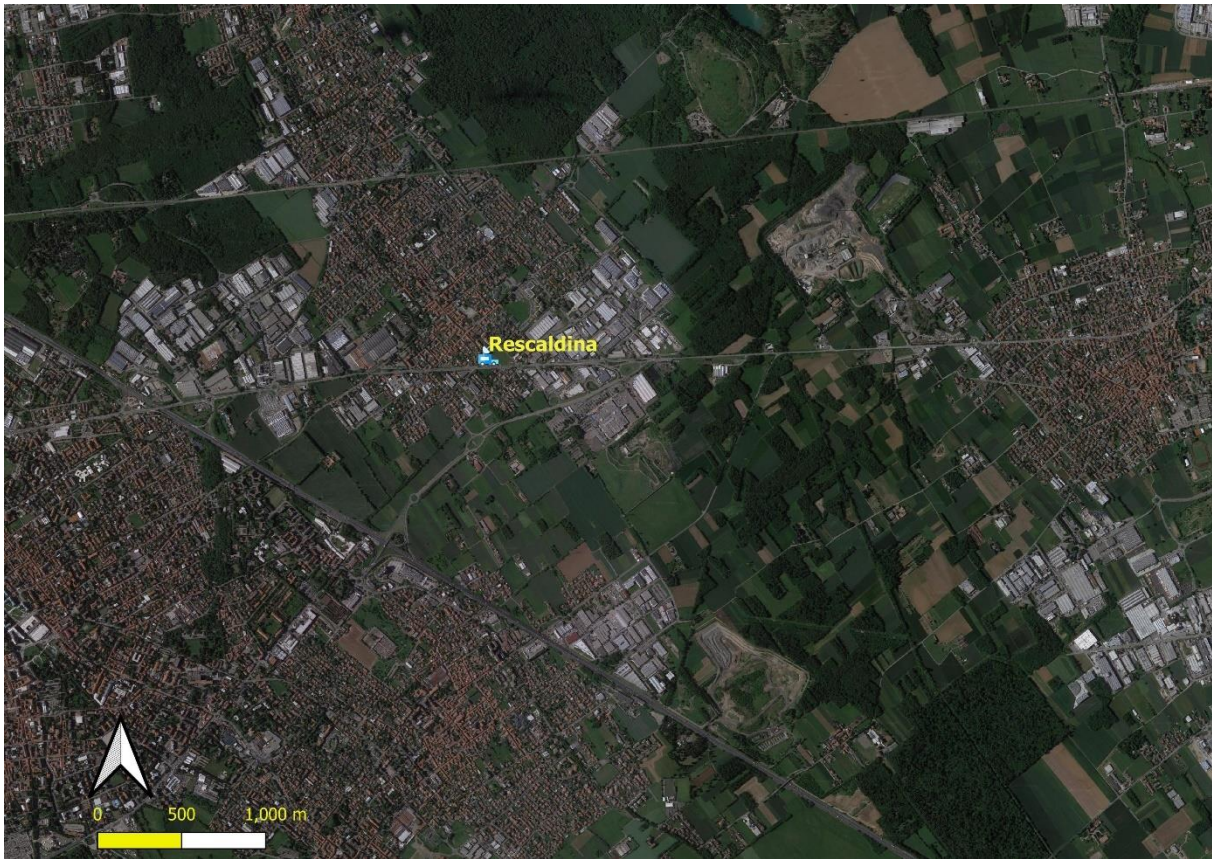


Figura 2. Inquadramento satellitare dell'area intorno al punto di campionamento effettuato a Rescaldina.



Figura 3. Immagine della stazione mobile di rilevamento a Rescaldina.

Emissioni sul territorio

Per la stima delle principali sorgenti emissive sul territorio comunale di Rescaldina è stato utilizzato l'inventario regionale delle emissioni INEMAR (INventario EMISSIONI ARia), nella sua versione più recente "Emissioni in Lombardia nel 2017".

L'inventario INEMAR, seguendo le impostazioni derivanti dalle esperienze nazionali e internazionali, è realizzato in base alle informazioni bibliografiche e tramite la partecipazione ai gruppi di coordinamento nazionali e internazionali. Le stime delle emissioni in atmosfera sono tipicamente soggette a grandi incertezze, dovute a numerose cause distribuite lungo tutta la procedura di stima. In particolare, un inventario regionale, per sua natura, non può considerare tutte le specificità locali e può soffrire di una incompleta qualità delle informazioni statistiche disponibili, inoltre, il soggetto delle emissioni è in continuo "movimento" cioè in trasformazione.

L'inventario INEMAR fornisce dunque una "fotografia" delle emissioni e va considerato come un "database anagrafico" delle sorgenti presenti sul territorio con relativa stima delle quantità emesse. Tuttavia, non può essere utilizzato come un puro e unico indicatore della qualità dell'aria di una specifica zona, in quanto non può tenere conto dell'interazione che le sostanze emesse possono avere con l'atmosfera, la meteorologia o l'orografia del territorio. In particolare, il vento, la pioggia, etc. trasportano, disperdono o depositano gli inquinanti emessi alla fonte in tutto il territorio circostante, così che la qualità dell'aria dipende non solo dalle sorgenti locali ma dall'insieme degli inquinanti emessi in tutto il bacino territoriale e dalle loro interazioni.

Nell'ambito di tale inventario la suddivisione delle sorgenti avviene per attività emissive. La classificazione utilizzata fa riferimento ai macrosettori definiti secondo la metodologia CORINAIR (CORE INventory of AIR emissions) dell'Agenzia Europea per l'Ambiente:

- Produzione energia e trasformazione combustibili
- Combustione non industriale
- Combustione nell'industria
- Processi produttivi
- Estrazione e distribuzione combustibili
- Uso di solventi
- Trasporto su strada
- Altre sorgenti mobili e macchinari
- Trattamento e smaltimento rifiuti
- Agricoltura
- Altre sorgenti e assorbimenti

Maggiori informazioni e una descrizione più dettagliata in merito all'inventario regionale sono disponibili sul sito web <http://www.inemar.eu/xwiki/bin/view/Inemar/WebHome>.

Nella Figura 4 i dati di INEMAR sono stati utilizzati per definire i contributi percentuali dei singoli macrosettori alle emissioni in atmosfera di PM10, PM2.5, EC, OC, BC, IPA (CLTRP), B(a)P, Cr, Cd, Ni, Zn, As, Pb, SO₂, NH₃, NO_x, COV, PreC_OZ e CO₂ per il comune di Rescaldina, per i comuni limitrofi (Cerro Maggiore, Legnano, Marinade, Gorla Minore, Cislago, Gerenzano, Uboldo), definiti "Bacino di area locale" e per la regione Lombardia.

Dalla figura emerge che per la maggior parte degli inquinanti considerati, le emissioni nel comune Rescaldina, così come nei comuni limitrofi, derivano dai macrosettori *Combustione non Industriale*, *Combustione Industriale* e *Trasporto su Strada*.

Nella Figura 5 si è riportato, nel dettaglio, la stima delle emissioni INEMAR degli inquinanti atmosferici per tipologia di Combustibili e per ogni macrosettore. Come atteso, si evidenzia l'uniformità delle

emissioni tra Rescaldina e quelle del territorio circostante; in particolare, risultano elevate le emissioni derivanti dalla combustione della Legna e similari nell'area del Bacino considerato e, per alcuni inquinanti, come ad esempio il B(a)P, si raggiunge un contributo pari a circa l'80%.

Si sottolinea che tali contributi sono relativi alle sole componenti primarie, ovvero immesse direttamente in atmosfera, mentre non è quantificato il contributo delle componenti secondarie che traggono origine da reazioni chimiche in atmosfera.

È fondamentale sottolineare che le stime attribuite dall'inventario INEMAR non sono sufficienti per fornire indicazioni complete sulla qualità dell'aria: le sostanze prodotte dalle varie sorgenti non rimangono trattenute all'interno dei confini comunali ma subiscono fenomeni di trasporto e dispersione a opera dei vari agenti atmosferici.

Emissioni percentuali di inquinante per Macrosettore nei diversi ambiti territoriali considerati.

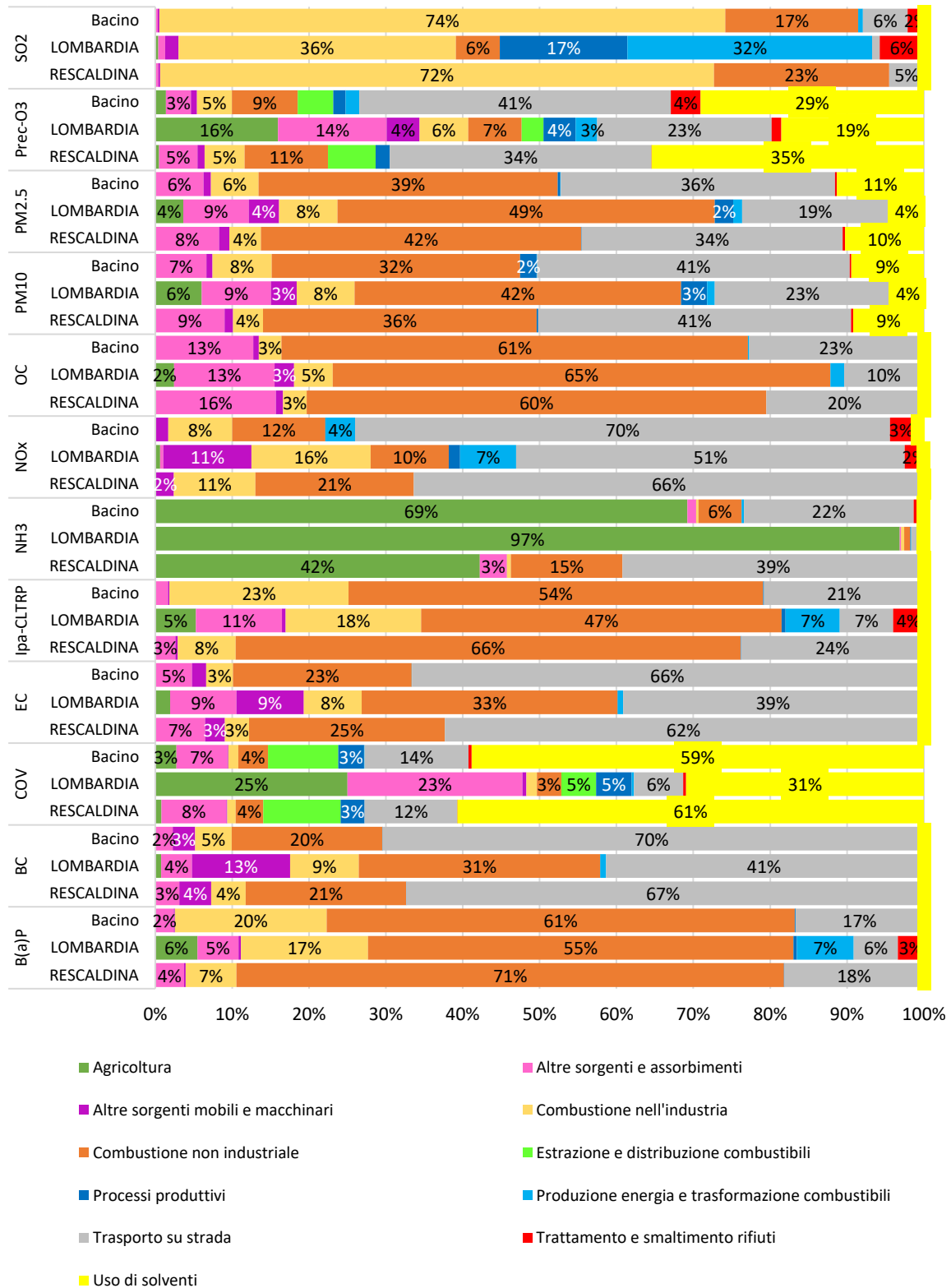


Figura 4. Contributi percentuali dei vari macrosettori alle emissioni in atmosfera di PM10, PM2.5, EC, OC, BC, IPA (CLTRP), B(a)P, Cr, Cd, Ni, Zn, As, Pb, SO2, NH3, NOx, COV, Prec_OZ e CO2 per il Comune di Rescaldina

Emissioni percentuali di inquinante per Combustibile nei diversi ambiti territoriali

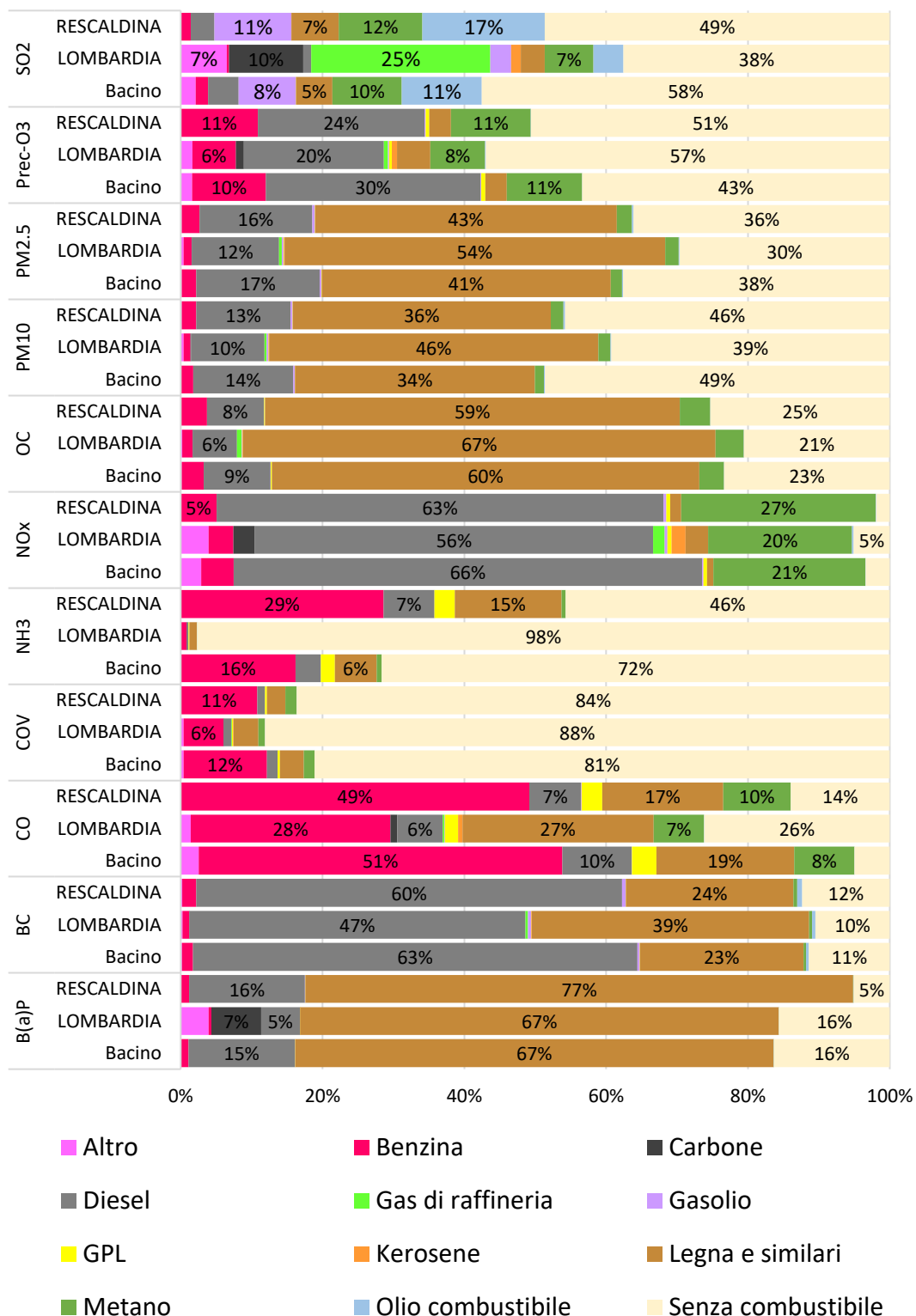


Figura 5. Contributi percentuali delle varie tipologie di Combustibili alle emissioni in atmosfera di PM10, PM2.5, EC, OC, BC, IPA (CLTRP), B(a)P, Cr, Cd, Ni, Zn, As, Pb, SO2, NH3, NOx, COV, PreC-OZ e CO2 per Rescaldina, il bacino dei Camuni limitrofi considerati e l'intera Regione Lombardia

Situazione meteorologica nel periodo di misura

I livelli di concentrazione degli inquinanti atmosferici in un sito dipendono, come è evidente, dalla quantità e dalle modalità di emissione degli inquinanti stessi nell'area, mentre le condizioni meteorologiche influiscono sia sulle condizioni di dispersione e di accumulo degli inquinanti, sia sulla formazione di alcune sostanze nell'atmosfera stessa. È pertanto importante che i livelli di concentrazione osservati siano valutati alla luce delle condizioni meteorologiche verificatesi nel periodo del monitoraggio.

Le condizioni meteorologiche per i due periodi della campagna di monitoraggio in esame sono state valutate mediante i parametri forniti dalla stazione meteorologica di Saronno, ad eccezione dei parametri di radiazione Globale e Netta forniti dalla stazione di Arconate (MI). L'orografia semplice del territorio in esame (pianura) e la breve distanza tra le postazioni individuate sono tali da rendere le misure effettuate nelle stazioni indicate rappresentative ai fini della caratterizzazione meteorologica generale della zona. Dalla Figura 6 alla **Errore. L'origine riferimento non è stata trovata.** sono riportati gli andamenti dei principali parametri meteorologici per i periodi estivo e invernale delle campagne di misure.

Periodo "Estivo": dal 5 maggio al 7 giugno 2021³ Le condizioni meteorologiche di questo primo periodo di misure sono state caratterizzate generalmente da condizioni di stabilità e poca variabilità con rovesci e temporali sparsi nella settimana tra il 13 e il 14 maggio e più diffuse negli altri giorni fino a fine mese. La prima settimana del mese di giugno è stata complessivamente variabile con scarse precipitazioni, al più sui rilievi, e sottoforma di rovesci o piovoschi. Le temperature complessivamente leggermente sotto la norma nelle massime per il mese di maggio, più contenute le minime. La prima settimana di giugno ha mostrato temperature complessivamente nella media, con una leggera anomalia positiva nelle massime nella seconda parte della settimana. La ventilazione è stata generalmente debole con qualche giorno più vivace alla fine del mese di maggio. Durante il periodo estivo della campagna possiamo concludere che le condizioni climatiche, nel loro complesso, hanno contribuito poco ad un parziale rimescolamento dell'atmosfera ed alla dispersione degli inquinanti. Il livello di insolazione registrato si attesta su valori medi tale da attivare solo parzialmente fenomeni i fotochimici tracciati dalle concentrazioni dell'ozono.

Periodo "Invernale": dal 15 ottobre al 23 novembre 2021³ Le condizioni meteorologiche del secondo periodo di monitoraggio (periodo "Invernale") hanno mostrato una condizione complessivamente di stabilità con precipitazioni sostanzialmente assenti su tutta la regione nelle prime due settimane di campagna, con temperature massime nella media e minime leggermente inferiori. Per quasi l'intero mese di novembre, le condizioni sono state complessivamente stabili, con precipitazioni scarse e solo qualche giorno con fenomeni di rovesci importanti. Le temperature quasi sempre di poco superiori alle medie, con le minime tendenzialmente in calo come atteso nel periodo.

Durante il periodo invernale della campagna possiamo concludere che le condizioni climatiche, nel loro complesso, non hanno contribuito in modo decisivo al rimescolamento dell'atmosfera ed alla dispersione degli inquinanti.

³ Fonte: Estratto da Bollettini Agrometeo: <https://www.arpalombardia.it/Pages/Meteorologia/Archivio-agrometeo.aspx>

Andamento Parametri Meteorologici dal 01 gennaio 2021 al 31 dicembre 2021

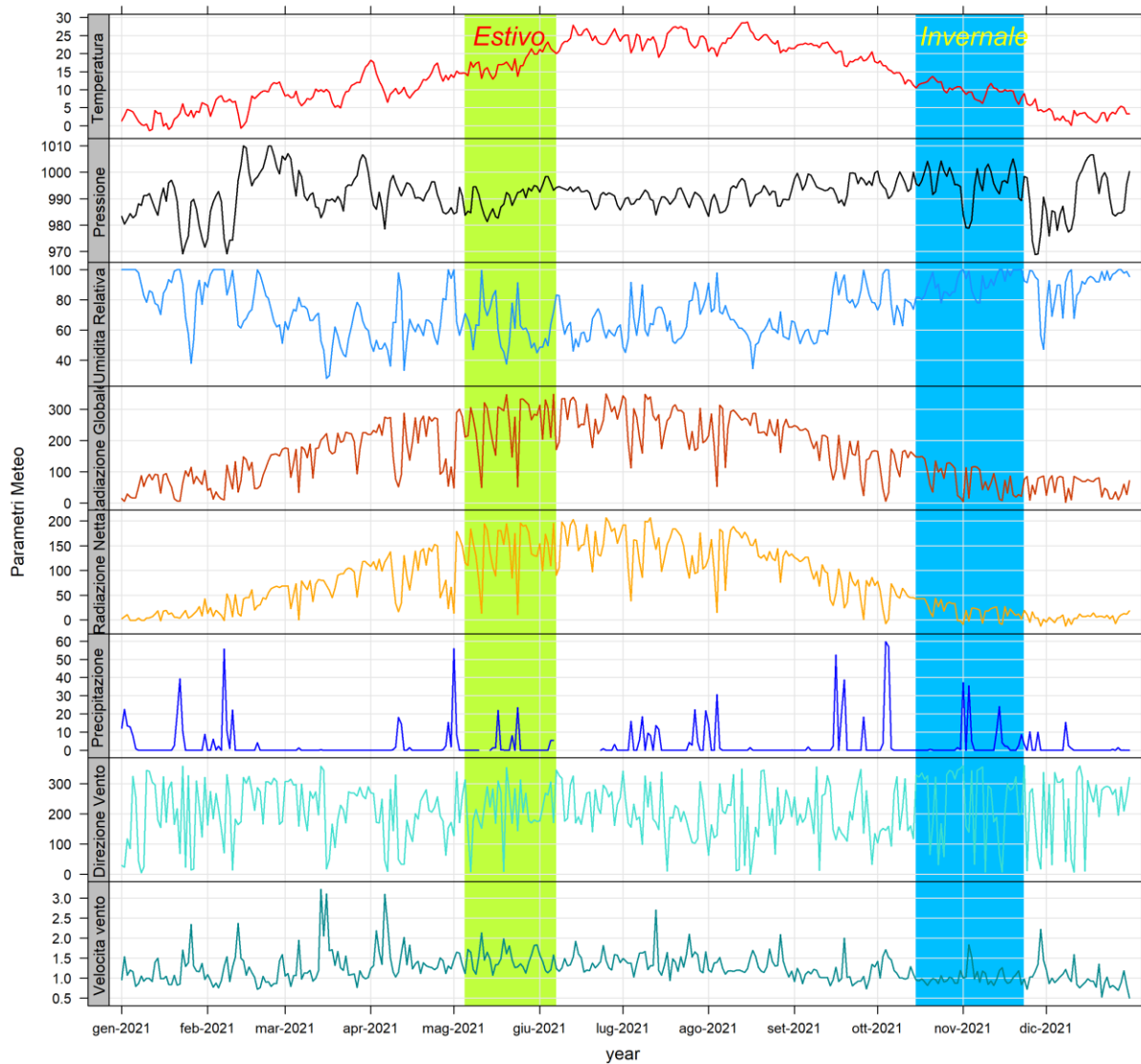


Figura 6. Andamento dei parametri meteorologici (Direzione del vento (wd), velocità del vento (ws), Umidità relativa (UR), temperatura, Pressione atmosferica, Radiazione Globale (RG) e radiazione netta (RN) e Pioggia.

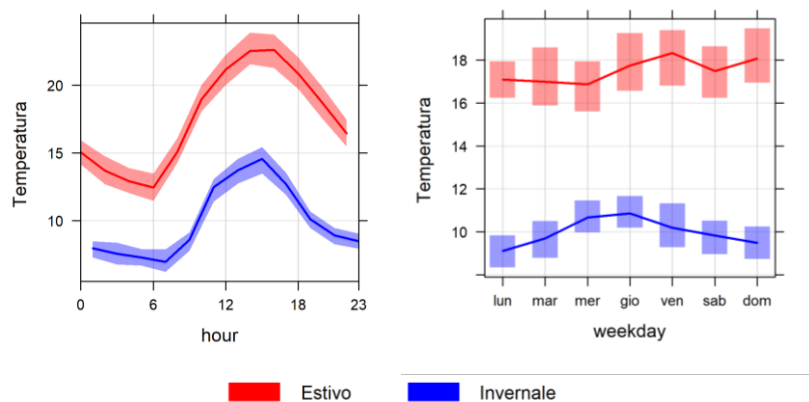


Figura 7. Temperatura: Giorno Tipo per i giorni della settimana, Mese tipo e Settimana tipo nei due periodi della campagna di Rescaldina. Le "fasce" colorate rappresentano il 95% dell'intervallo di confidenza della media per i due periodi

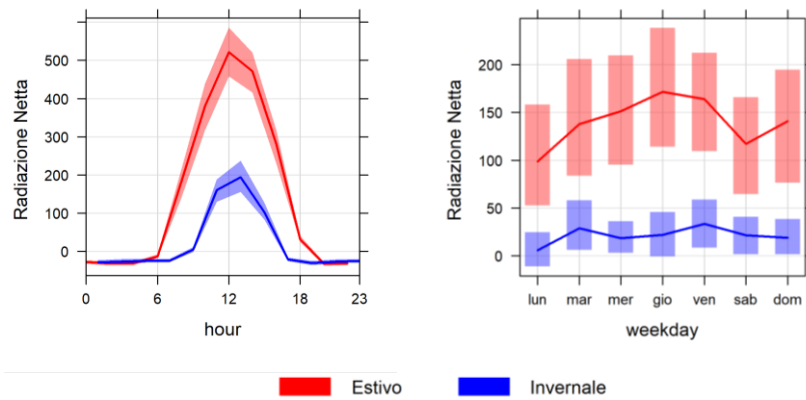


Figura 8. Radiazione Netta (RN): Giorno Tipo per i giorni della settimana, Mese tipo e Settimana tipo nei due periodi della campagna di Rescaldina. Le "fasce" colorate rappresentano il 95% dell'intervallo di confidenza della media per i due periodi.

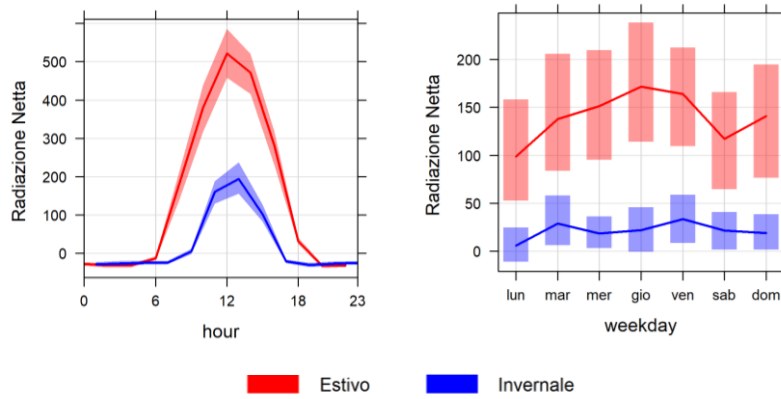


Figura 9. Radiazione Globale (RG): Giorno Tipo per i giorni della settimana, Mese tipo e Settimana tipo nei due periodi della campagna di Rescaldina. Le "fasce" colorate rappresentano il 95% dell'intervallo di confidenza della media per i due periodi

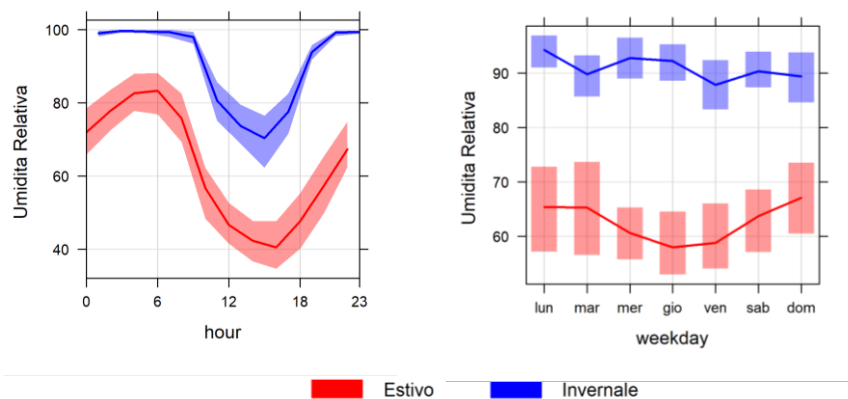


Figura 10. Umidità Relativa (UR%): Giorno Tipo per i giorni della settimana, Mese tipo e Settimana tipo nei due periodi della campagna di Rescaldina. Le "fasce" colorate rappresentano il 95% dell'intervallo di confidenza della media per i due periodi.

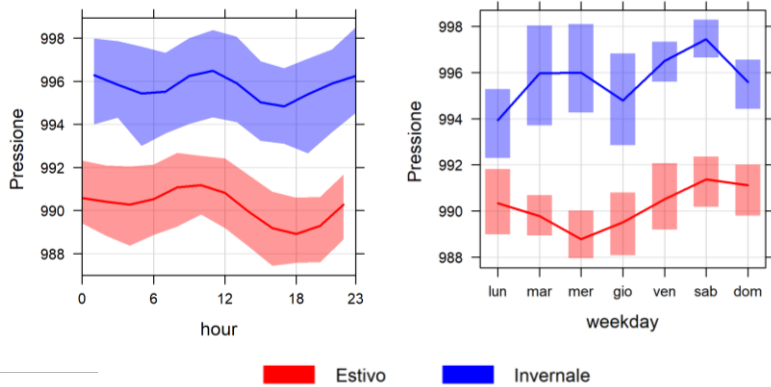


Figura 11. Pressione Atmosferica: Giorno Tipo per i giorni della settimana, Mese tipo e Settimana tipo nei due periodi della campagna di Rescaldina. Le "fasce" colorate rappresentano il 95% dell'intervallo di confidenza della media per i due periodi.

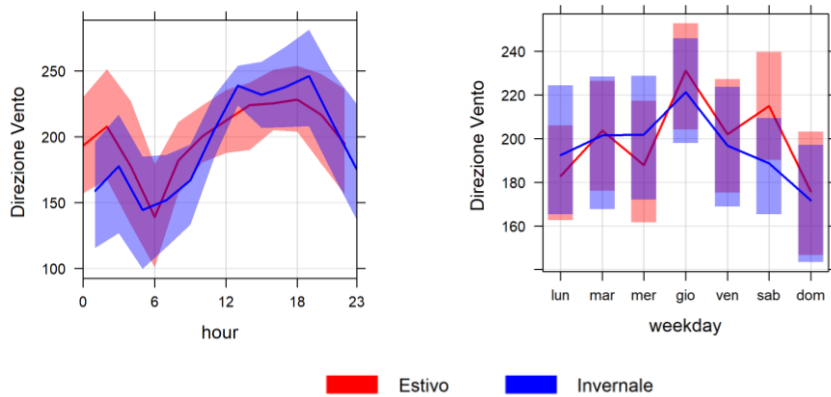


Figura 12. Direzione del vento (wd) Giorno tipo, Giorno Tipo per i giorni della settimana, Mese tipo e Settimana tipo nei due periodi della campagna di Rescaldina. Le "fasce" colorate rappresentano il 95% dell'intervallo di confidenza della media per i due periodi.

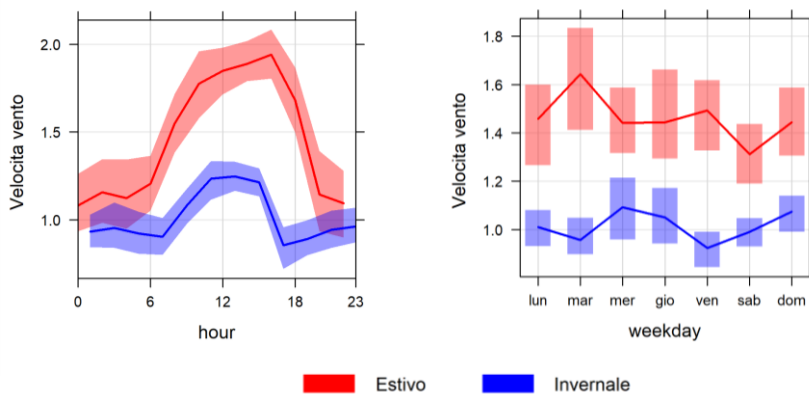


Figura 13. Velocità del vento (ws): Giorno Tipo per i giorni della settimana, Mese tipo e Settimana tipo dei valori nei due periodi della campagna di Rescaldina. Le "fasce" colorate rappresentano il 95% dell'intervallo di confidenza della media per i due periodi.

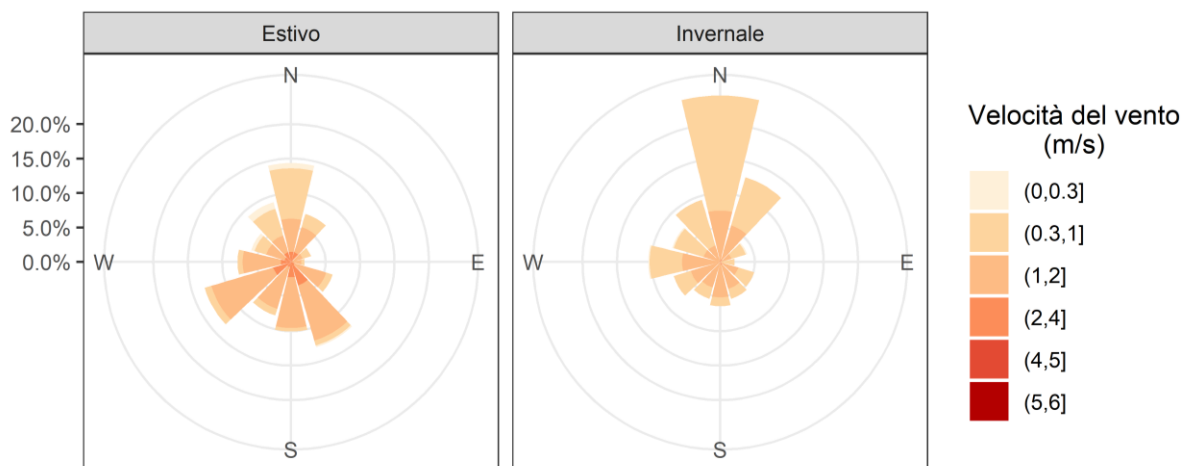


Figura 14. Rose dei venti nei due periodi della campagna di Rescaldina.

PBL - Altezza dello strato Limite (m)

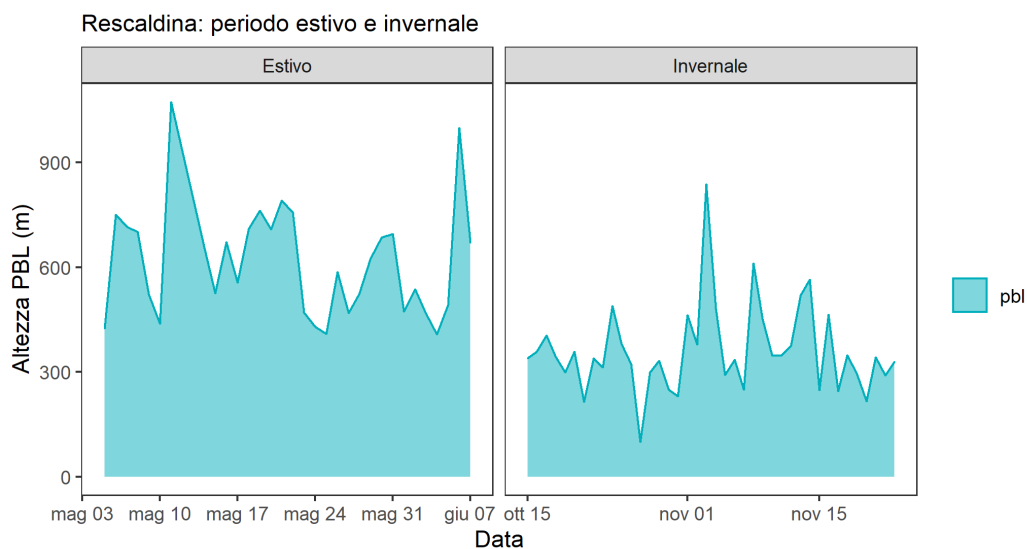


Figura 15. Altezza del PBL (m) stimata con la misura dell'anemometro sonico di Arconate, nel periodo estivo e invernale associato alla campagna di Rescaldina.

Analisi dei dati

Il monossido di carbonio (CO)

La normativa prevede, per il monossido di carbonio, un *Valore Limite* per la protezione della salute umana di 10 mg/m^3 , sulla concentrazione massima giornaliera della media mobile sui 8 ore⁴ e, come si può vedere dai grafici della Figura 16 e della Figura 17, tale soglia non è mai stata raggiunta. In particolare, a Rescaldina nel primo periodo (Estivo), caratterizzato da 34 giorni di misura, la massima media mobile giornaliera è stata pari a 0.7 mg/m^3 mentre nel secondo periodo (Invernale) con 40 giorni di misure, è stato registrato un valore massimo di 1.6 mg/m^3 , entrambi ben al di sotto del Valore Limite di legge. L'andamento a Rescaldina è comunque confrontabile con le misure regionali (Figura 17) in cui l'andamento delle MM8h di CO per Rescaldina, è nuovamente confrontato con quello di tutta la RRQA: i valori misurati nel sito in esame non presentano alcuna criticità e, anche nelle altre stazioni della regione, il limite imposto dalla normativa è stato rispettato. In un confronto "locale" (Figura 16) i dati misurati a Rescaldina sono sostanzialmente in linea con quelli misurati nelle stazioni di MI-Marche, Cantù-Meucci, Meda, Arconate e Monza-Machiavelli.

Occorre sottolineare che, i valori ambientali di CO, anche in prossimità delle sorgenti di emissione, sono andati diminuendo da quando è stata introdotta la marmitta catalitica, fino a raggiungere spesso livelli vicini al limite della sensibilità strumentale degli analizzatori; pertanto, le concentrazioni, come si evidenzia anche dalla Figura 18, sono ormai ovunque ben al di sotto del limite di legge e di fatto non costituiscono più un rilevante problema di inquinamento atmosferico.

⁴ Come indicato da normativa, ad ogni ora del giorno è associato un valore di CO calcolato mediando le concentrazioni misurate nelle 8 ore precedenti (media mobile: MM8h)

CO - Concentrazioni massime giornaliere su MM8h

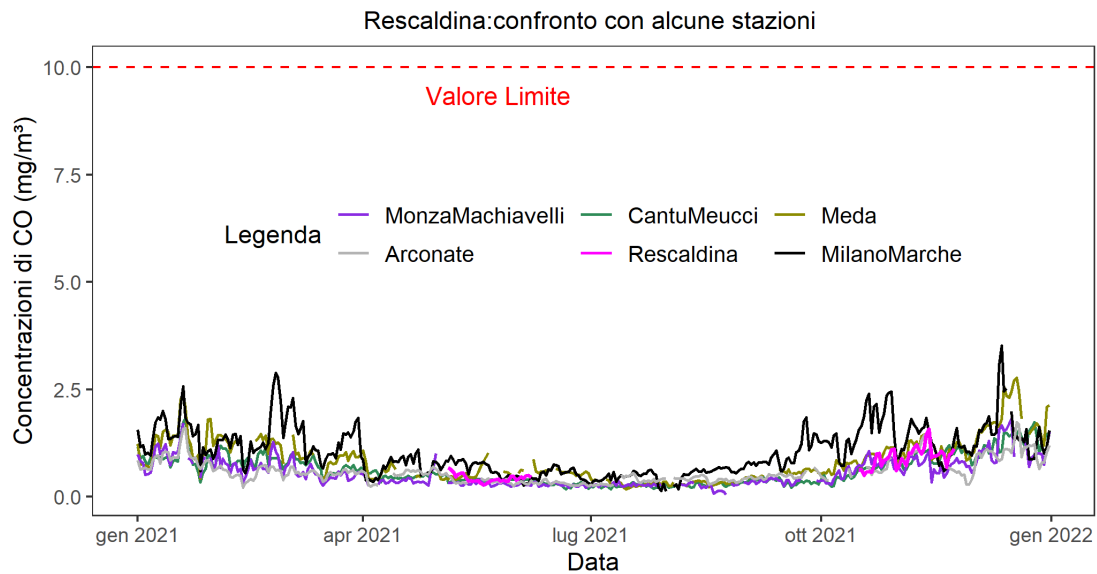


Figura 16. Concentrazioni massime giornaliere su 8 ore (MM8h) di CO: confronto con alcune stazioni della RRQA di ARPA Lombardia.

CO-Concentrazioni massime giornaliere su Media Mobile8h(maxMM8h) RRQA

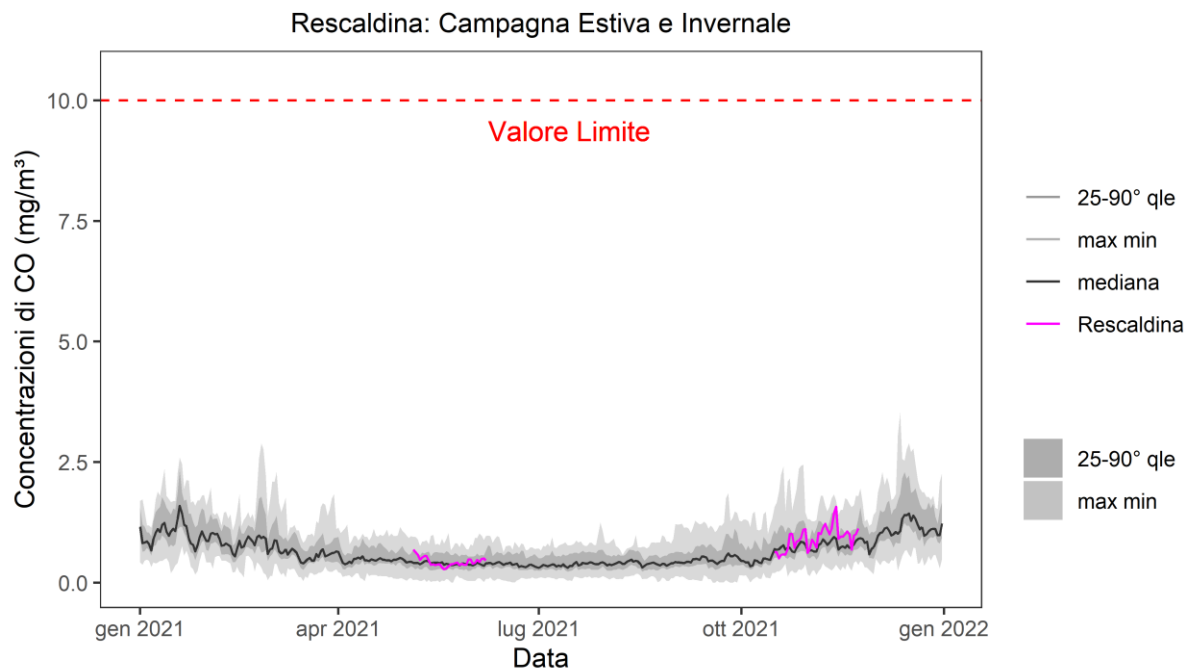


Figura 17. Andamento delle massime concentrazioni giornaliere su 8 ore (MM8h) di CO dal 1° gennaio 2021 al 31 dicembre 2021: confronto con le stazioni della RRQA di ARPA Lombardia. La linea fucsia individua le concentrazioni di CO ricavate come MM8h misurate a Rescaldina; linee grigie indicate come "max-min" rappresentano la variabilità delle concentrazioni di CO registrate su tutta la RRQA, prendendo come estremi il massimo e minimo valore mensile registrato tra le stazioni della regione Lombardia. L'area grigia indicata come "25°-90° q.le" rappresenta l'insieme dei valori compresi fra il 25° e il 90° percentile della distribuzione dei valori di concentrazione, considerando tutte le stazioni della regione Lombardia; la linea nera "mediana" è la mediana di tutte le concentrazioni giornaliere, registrate dalle stazioni della RRQA di ARPA Lombardia.

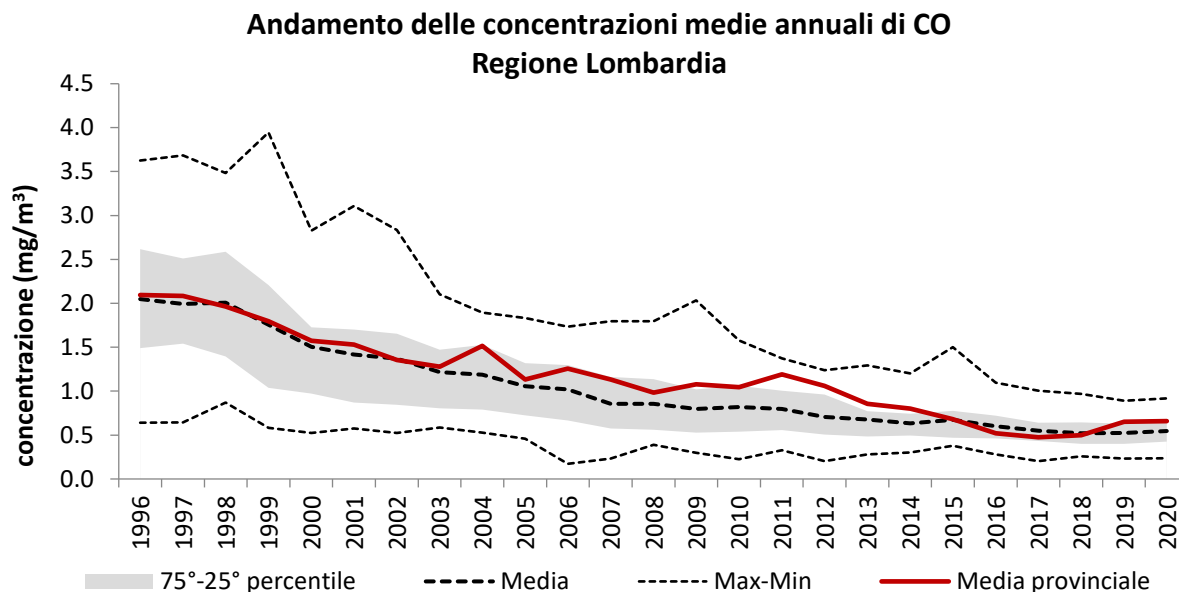


Figura 18. Andamento delle concentrazioni medie annuali di CO. La linea rossa "Media provinciale" è riferita ai valori della Provincia di Monza e della Brianza.

In

Figura 19 sono riportate le curve per il giorno tipo e la settimana tipo delle concentrazioni medie orarie del CO. Le concentrazioni dei giorni feriali risultano leggermente superiori rispetto a quelle dei festivi. Così come per altri inquinanti, l'andamento del CO è collegato ai flussi di traffico, essendo emesso principalmente dai motori a benzina.

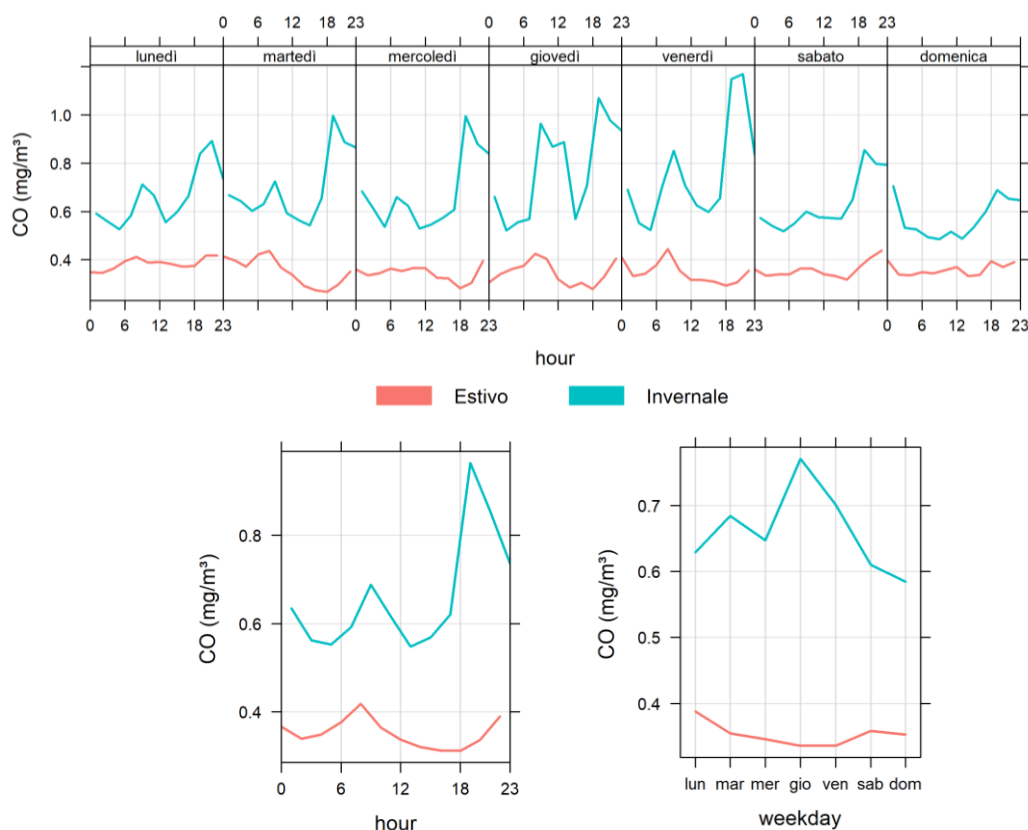


Figura 19. Concentrazioni medie orarie di CO: Giorno Tipo (hour) per i giorni della settimana e Settimana tipo (weekday) nei due periodi della campagna di Rescaldina.

L'ozono Troposferico (O₃)

Per l'ozono la stagione critica è quella estiva in quanto la radiazione solare e l'alta temperatura ne favoriscono la formazione attraverso reazioni fotochimiche che coinvolgono gli ossidi di azoto (NOX) e i composti organici volatili (COV). Analogamente, i valori più elevati delle concentrazioni medie orarie si hanno nei giorni con intensa insolazione e in assenza di copertura nuvolosa.

Questo è ben visibile nella Figura 20 dove sono riportati, per ciascun giorno dal 1° gennaio 2021 al 31 dicembre 21, i valori massimi delle concentrazioni medie orarie su media mobile 8h (MM8h) per le centraline fisse di Cantù-via Meucci, Saronno Santuario, Milano-Pascal e Monza -via Machiavelli e, sovrapposto, l'andamento per il sito "temporaneo" di Rescaldina nelle due campagne. Il confronto delle misure nei cinque siti è risultato molto coerente, con valori decisamente più alti nei mesi più caldi, come atteso. La normativa prevede un valore obiettivo, una soglia di informazione e una di allarme sulle concentrazioni orarie di ozono (Tabella 2, pag. 10), pari rispettivamente a 120 µg/m³ (Valore Obiettivo calcolato su MM8h), 180 µg/m³ (Soglia di Informazione) e 240 µg/m³ (Soglia di Allarme): a Rescaldina durante il periodo estivo, il valore obiettivo è stato superato 10 volte, mentre la soglia di informazione e di allarme non sono state mai superate (Figura 21).

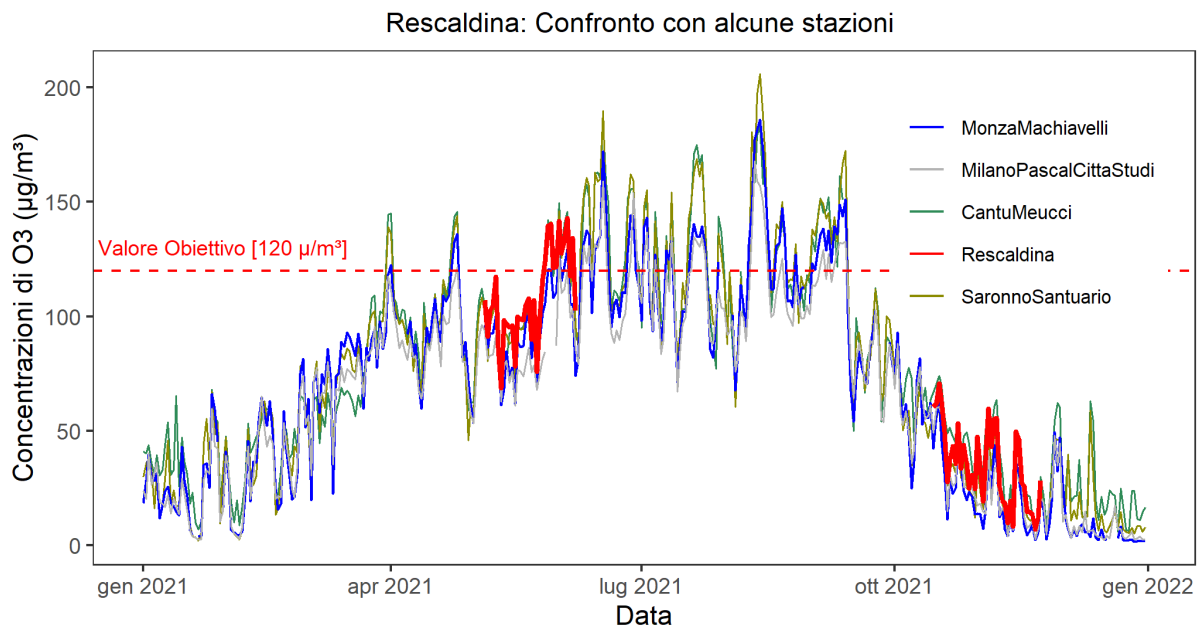
O₃ - Concentrazioni massime giornaliere su MM8h

Figura 20. Confronto tra il massimo valore giornaliero delle concentrazioni di O₃, misurato a Rescaldina e nelle stazioni fisse di Cantù-via Meucci, Saronno Santuario, Milano-Pascal e Monza -via Machiavelli della RRQA della Lombardia.

Le concentrazioni di O₃ tendono a calare in vicinanza di strade con traffico sostenuto. Analogamente, i valori diurni più elevati si verificano di norma nei giorni festivi, quando sono minori le emissioni di NO: infatti la presenza di minori quantità di NO riduce la reazione tra NO e O₃ che porta alla formazione di NO₂ e quindi alla distruzione di molecole di ozono (Figura 23). Quanto detto è visibile nel grafico di

Figura 24, dove sono stati tracciati gli andamenti del giorno tipo per i giorni della settimana e la settimana tipo, ottenuti dalle misure effettuate nel sito temporaneo di Rescaldina.

L'andamento dell'ozono risulta differente da quello degli inquinanti primari, infatti l'O₃ non ha sorgenti emissive dirette di rilievo e la sua formazione nella troposfera è correlata al ciclo diurno solare: la tendenza giornaliera è tipicamente "a campana" con un massimo poco dopo le ore di maggiore insolazione (generalmente tra le ore 14 e le 16) come si vede nel grafico di Figura 22. In cui sono riportati i valori delle concentrazioni medie orarie del primo periodo (Estivo) e i valori di Radiazione solare totale oraria (RG).

O3 - Concentrazioni massime giornaliere delle medie orarie

Rescaldina: Campagna Estiva e Invernale

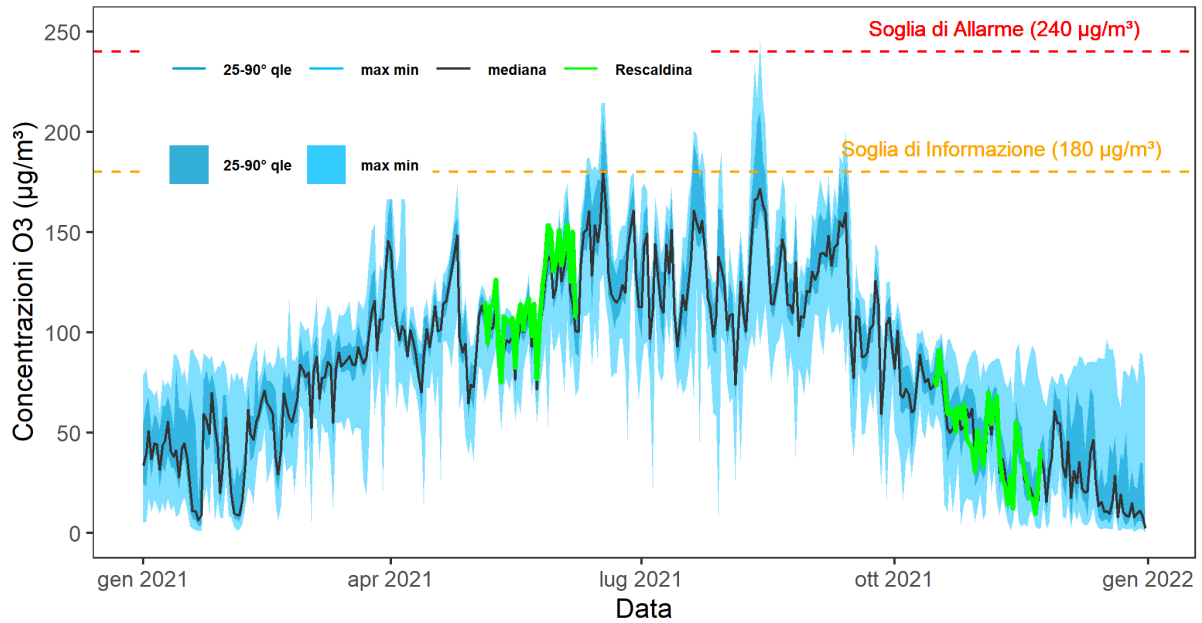


Figura 21. Confronto tra il massimo valore giornaliero delle concentrazioni di O₃, misurato a Rescaldina e nelle stazioni fisse della RRQA della Lombardia.

Rescaldina (periodo Estivo): confronto tra le concentrazioni di O₃ e la Radiazione globale

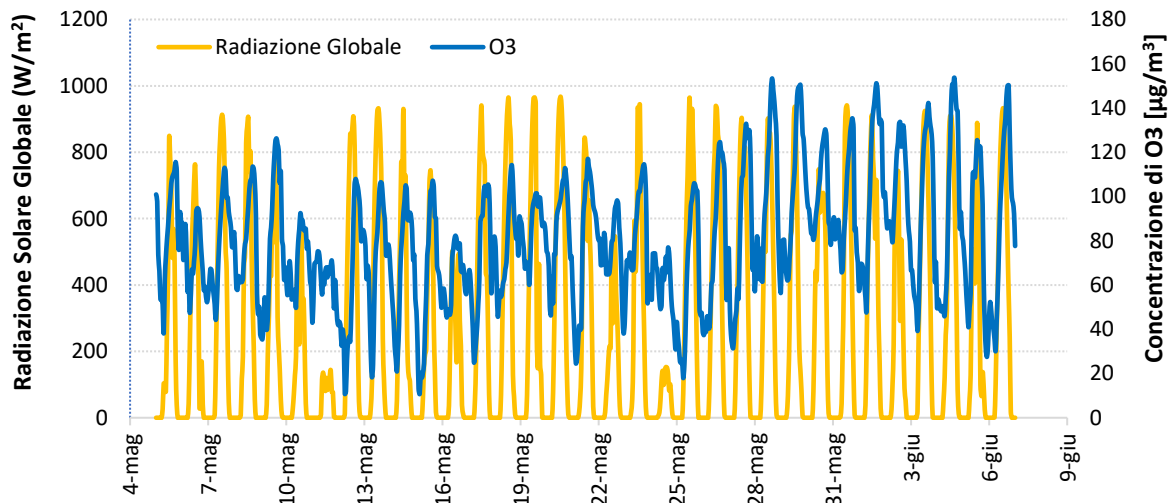


Figura 22. Confronto concentrazioni di O₃ e Radiazione Solare Globale a Rescaldina nel periodo Estivo.

Rescaldina (periodo Estivo): confronto tra le concentrazioni medie orarie di O₃ e quelle di NO₂

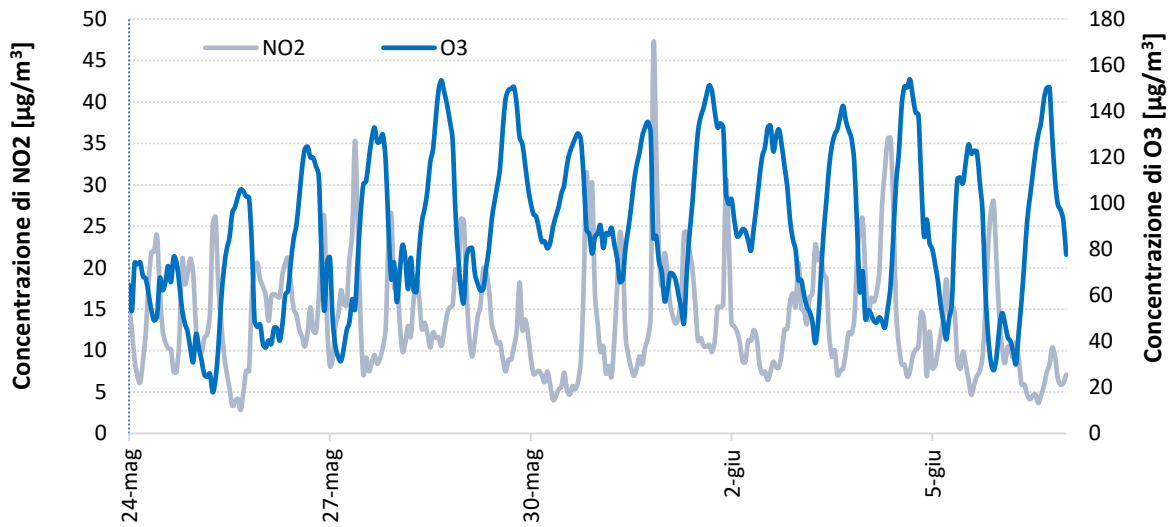


Figura 23. Confronto delle concentrazioni medie orarie di O₃ e NO₂. Rescaldina alcuni giorni durante il periodo Estivo.

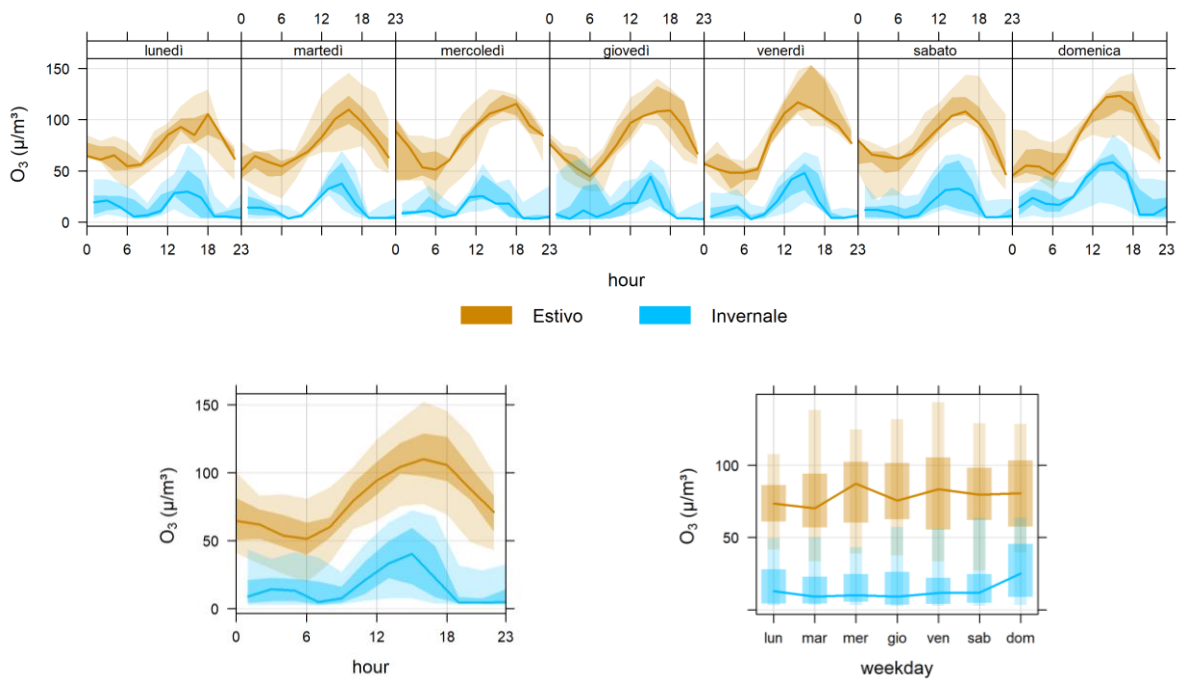


Figura 24. Concentrazioni medie orarie di O₃: Giorno Tipo(hour) per i giorni della settimana, Mese tipo (month) e Settimana tipo (weekday) nei due periodi della campagna di Rescaldina. Le "fasce" colorate rappresentano il 95% dell'intervallo di confidenza della media per i due periodi.

Il biossido di azoto (NO₂)

In Figura 25 sono riportati, i valori massimi delle concentrazioni medie orarie di NO₂ misurate nel sito “temporaneo” di Rescaldina confrontate con quelle rilevate nelle centraline fisse di Milano-Pascal (UB) e Meda (UT), Monza-Machiavelli (UB) e Cantù (SB) Saronno-Santuario (UB). In entrambi i periodi si osserva il carattere di “stazione da Urban Background” di Rescaldina, con concentrazioni quasi sempre inferiori, nel periodo estivo, a quelle registrate nelle stazioni di MI-Pascal o Monza Machiavelli, e del tutto simili, se non di poco superiori, nel periodo invernale. L'accordo tra le misure effettuate nelle altre postazioni prese a confronto, vale sia come andamento che in termini assoluti.

In Figura 26 sono riportate le massime concentrazioni giornaliere delle medie orarie, registrate a Rescaldina, confrontate con quelle registrate dalle stazioni della RRQA della Lombardia: le misure effettuate in questi due periodi mostrano, nuovamente, andamenti coerenti con gli andamenti registrati sul resto del territorio regionale, con valori che si attestano quasi sempre vicino al 90° percentile dei valori regionali nel solo periodo invernale.

Come si può osservare nei grafici delle ultime due figure menzionate, le concentrazioni del periodo invernale sono risultate maggiori rispetto quelle del periodo estivo, sia a causa delle differenti condizioni meteorologiche, sia a causa delle sorgenti aggiuntive presenti durante l'inverno, come la combustione non industriale (che rappresenta il 21% degli NO_x totali emessi) caratterizzata per lo più dal riscaldamento degli edifici (impianti di riscaldamento funzionanti per tutto il secondo periodo della campagna) e dal trasporto su strada (che rappresenta il 66 % degli NO_x totali emessi). In **Errore. L'origine riferimento non è stata trovata.** sono riportati i valori medi rilevati nella campagna di Rescaldina (per i due periodi considerati) nonché la distribuzione dei valori delle concentrazioni (attraverso i box plot) di alcune stazioni prese a confronto (Saronno, Cantù, Milano-Pascal e Monza-Machiavelli). In termini numerici il valore medio delle concentrazioni massime giornaliere nei due periodi è stato di 27±10 µg/m³ nel periodo estivo e di 64±14 µg/m³ in quello invernale, con un valore massimo orario giornaliero di 102 µg/m³ rilevato nel periodo invernale.

Nella Figura 28 sono riportate le curve per il giorno tipo per i giorni della settimana, il mese tipo e settimana tipo dell'NO₂ per entrambi i periodi considerati. Le concentrazioni orarie dei giorni feriali hanno mostrato un andamento caratteristico: i valori aumentano a partire dalle prime ore del mattino, raggiungendo valori massimi tra le 6 e le 11 nel periodo invernale, andamento analogo è riscontrato tra le 5 e le 10 nel periodo estivo, per poi decrescere e risalire in serata. Nei giorni festivi e prefestivi del periodo invernale sono presenti picchi meno marcati, o quasi assenti, nelle prime ore del mattino nelle stesse ore dei giorni feriali; nel periodo estivo, nei giorni festivi e prefestivi il picco delle ore del mattino è quasi assente, l'andamento è poi decrescente per cominciare poi a risalire intorno alle 18, fino ai valori massimi tra le 19 e le 23, con picchi non ben definiti. Tale andamento, riscontrabile per gli ossidi di azoto in generale, rispecchia il ciclo giornaliero delle attività umane e in particolare del traffico veicolare, di cui gli NO_x rappresentano un buon tracciante. La posizione dei picchini due periodi, indice di una differente mobilità, non è comunque marcatamente difforme, in quanto la postazione scelta per il mezzo mobile risulta comunque sempre interessata da volumi di traffico abbastanza costanti nei due periodi esaminati, data la vicinanza ad arterie stradali importanti

NO₂ - Concentrazioni massime giornaliere delle medie orarie

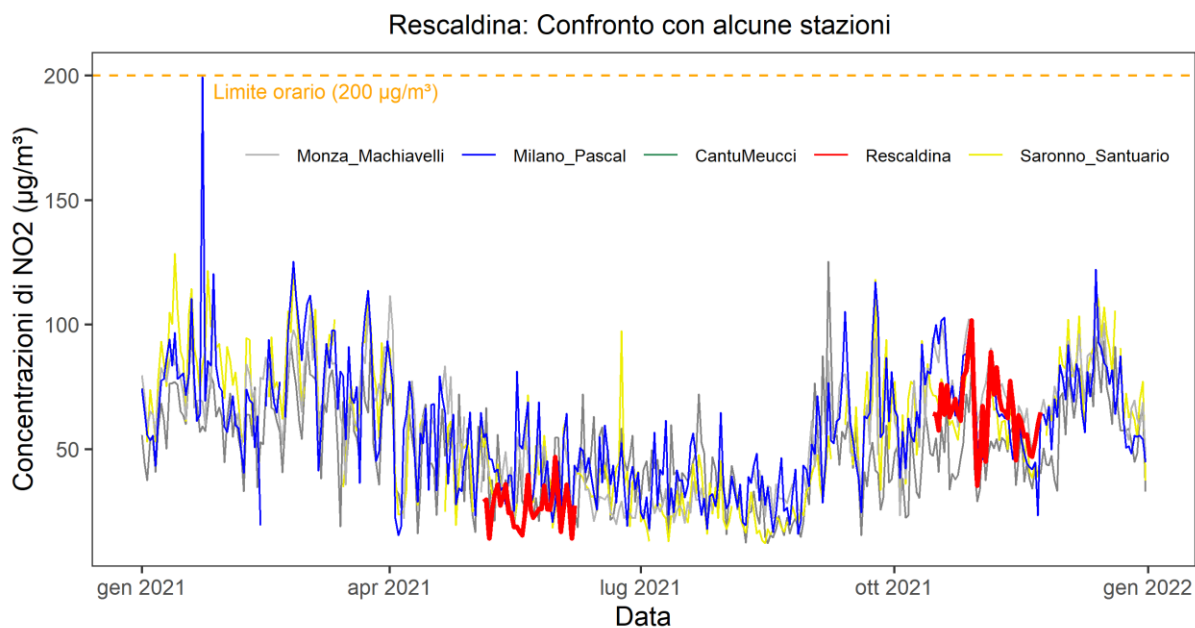


Figura 25. Confronto tra le massime concentrazioni orarie di NO₂ misurate a Rescaldina nel periodo estivo e Invernale e alcune stazioni fisse della RRQA (Monza Machiavelli, Milano Pascal, Cantù e Saronno Santuario) tra il 1° gennaio e il 31 dicembre 2021.

NO₂ - Concentrazioni massime giornaliere delle medie orarie

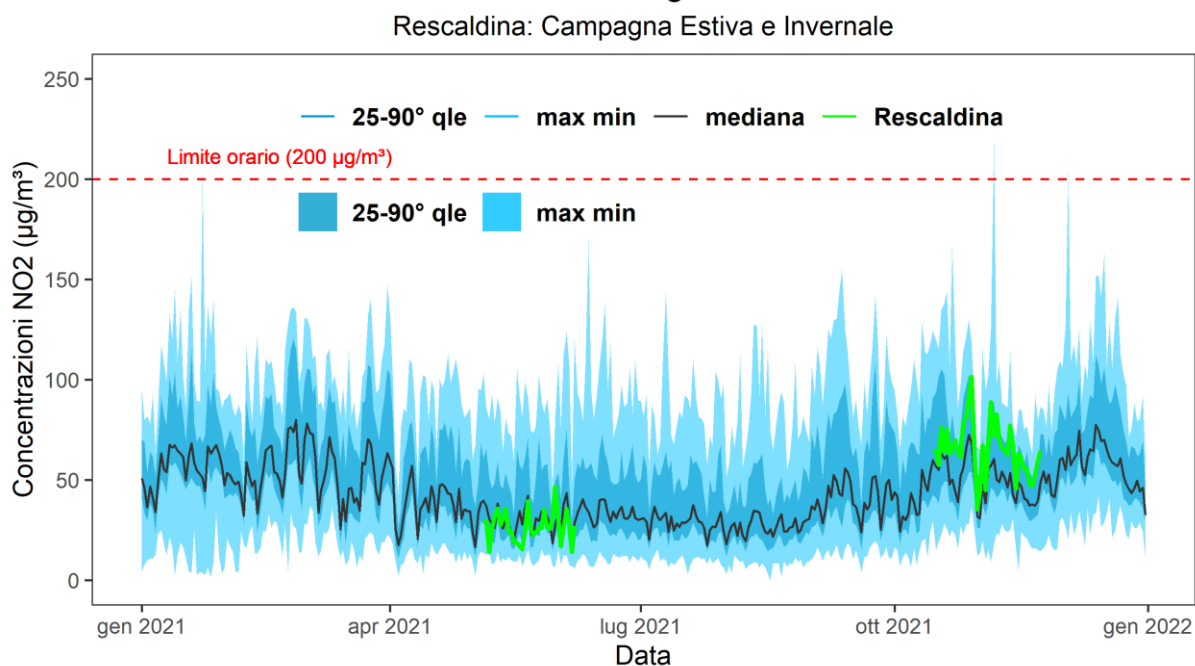


Figura 26. Confronto tra le massime concentrazioni orarie di NO₂ misurate a Rescaldina e quelle relative a tutte le stazioni fisse della RRQA della Lombardia.

Concentrazioni massime giornaliere di NO₂ nei due periodi: Estivo e Invernale

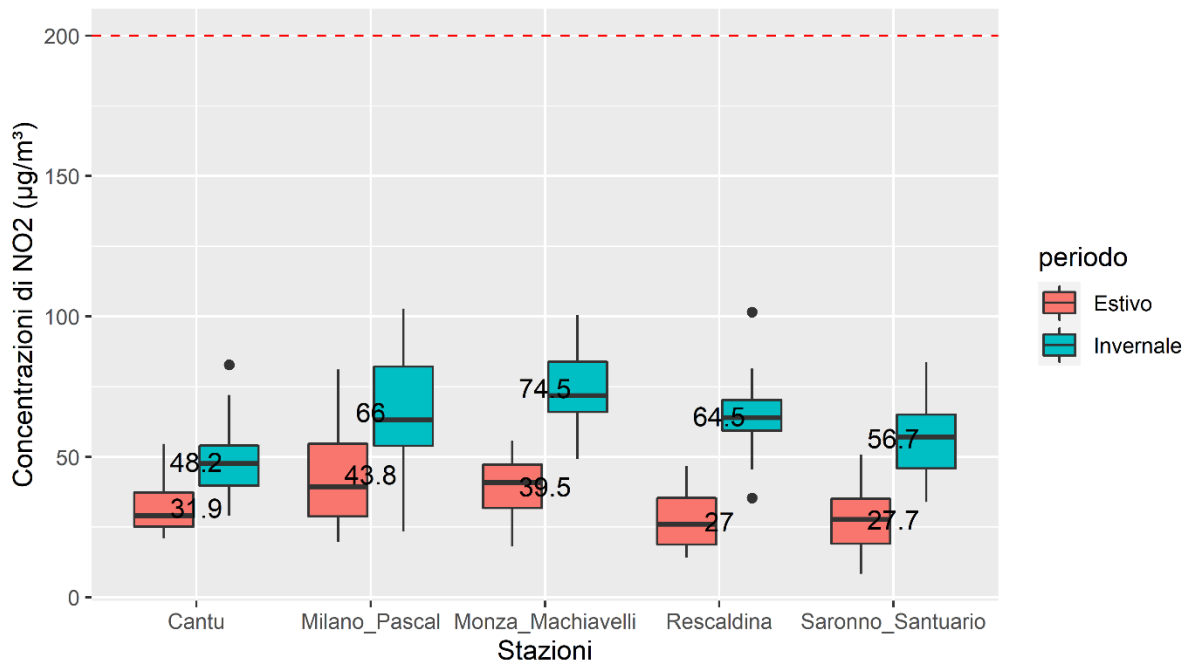


Figura 27 Variazione delle concentrazioni massime giornaliere di NO₂, e media del periodo Estivo e Invernale, misurate a Rescaldina, Cantù Saronno -Santuario, Milano-Pascal e Monza-Machiavelli.

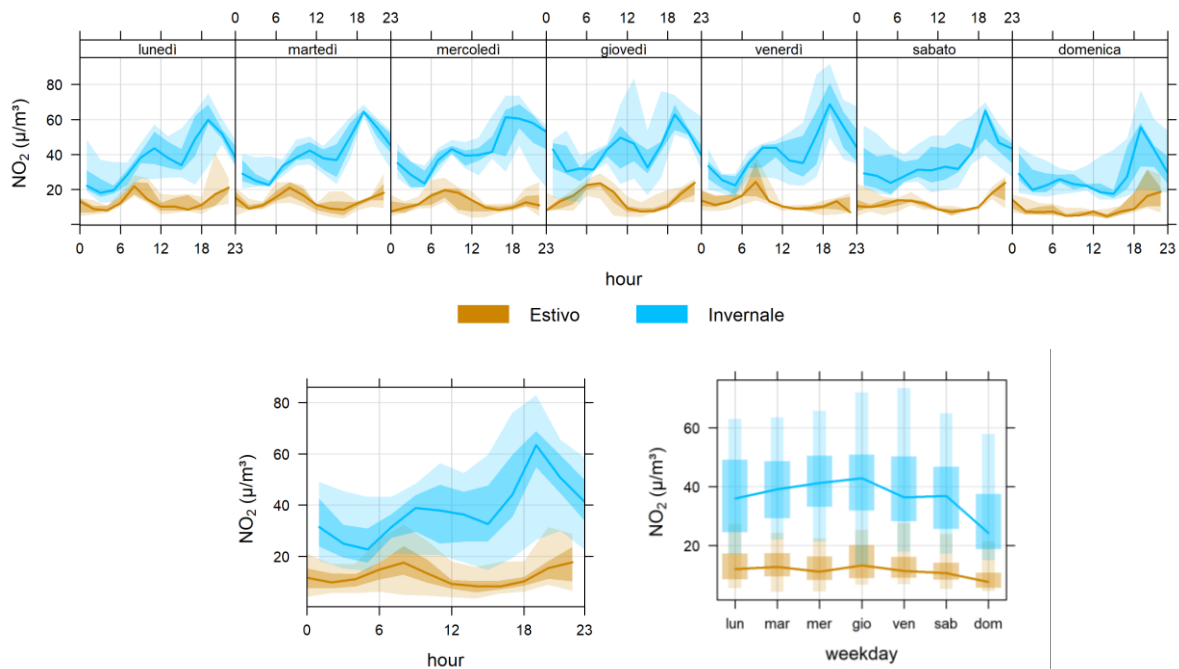


Figura 28. Concentrazioni medie orarie di NO₂: Giorno Tipo(hour) per i giorni della settimana, Mese tipo (month) e Settimana tipo (weekday) nei due periodi della campagna di Rescaldina. Le "fasce" colorate rappresentano il 95% dell'intervallo di confidenza della media per i due periodi.

Le concentrazioni di massa del PM10

Nella Figura 29 sono riportati gli andamenti delle concentrazioni medie giornaliere di PM10 determinati a Rescaldina con quelli ottenuti presso le centraline fisse di background di MI-Pascal, Cantù, Monza-Machiavelli e Saronno-Santuario. In entrambi i periodi di monitoraggio si può osservare un sostanziale accordo sia nell'andamento sia nelle concentrazioni misurate nelle quattro postazioni, evidenza delle proprietà diffusive delle polveri sottili in atmosfera e della loro distribuzione piuttosto omogenea sul territorio. Il confronto tra i dati di Rescaldina e quelli registrati in tutte le centraline fisse della RRQA della regione Lombardia (Figura 280) rafforzano tale considerazione. In particolare, le medie giornaliere relative a Rescaldina si collocano, quasi sempre, nell'intorno del valore mediano in entrambi i periodi considerati.

In Figura 291 sono riportati i boxplot dei valori delle concentrazioni di PM10 misurate nei due periodi (Estivo e Invernale) e confrontati con i valori registrati negli stessi periodi nelle centraline di Cantù, MI-Pascal, Monza-Machiavelli e Saronno-Santuario; inoltre, per dare evidenza della variazione di tali valori rispetto al limite di legge, è riportato anche il Valore Limite Giornaliero pari a $50 \mu\text{g}/\text{m}^3$ e il valore della media sul periodo.

Infine, la Figura 302 riporta il grafico della settimana tipo delle concentrazioni medie giornaliere di PM10 registrati a Rescaldina.

PM10 - Concentrazioni medie giornaliere

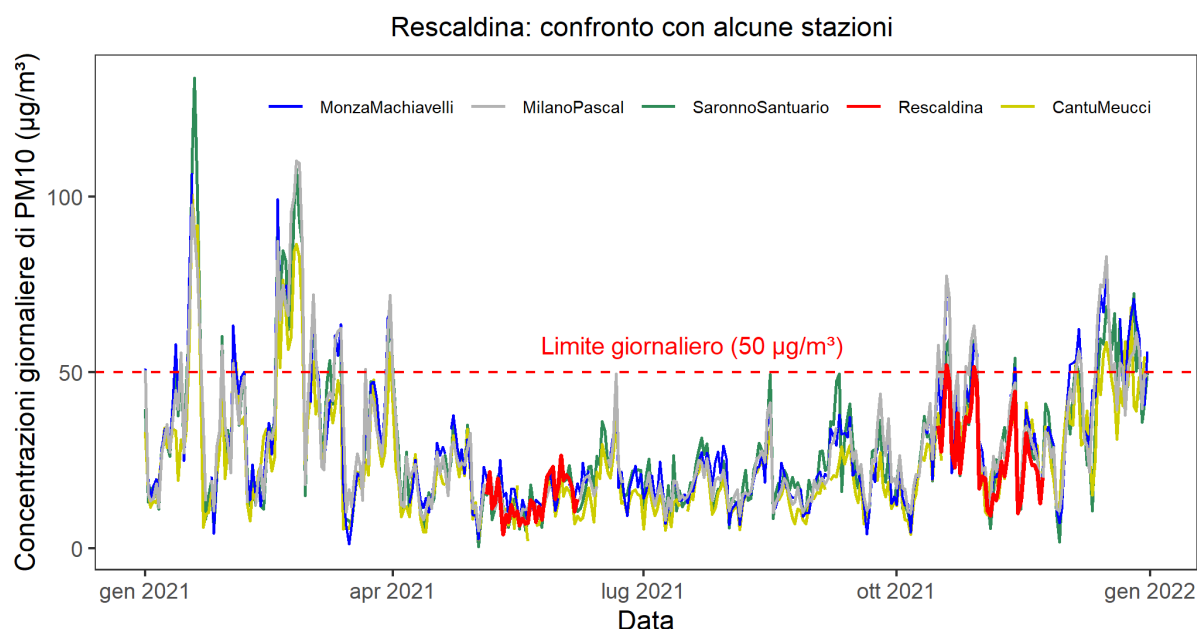


Figura 29: Andamento delle concentrazioni medie giornaliere di PM10 dal 1° gennaio 2021 al 31 gennaio 2021. La linea rossa individua le concentrazioni di PM10 misurate a Rescaldina. Le altre linee di differente colore indicano le concentrazioni di PM10 misurate nelle stazioni di Milano-Pascal, Monza-Machiavelli, Monza-Parco e Saronno-Santuario. La linea rossa tratteggiata individua il limite di $50 \mu\text{g}/\text{m}^3$ sulle concentrazioni medie giornaliere.

PM10 - Concentrazioni medie giornaliere

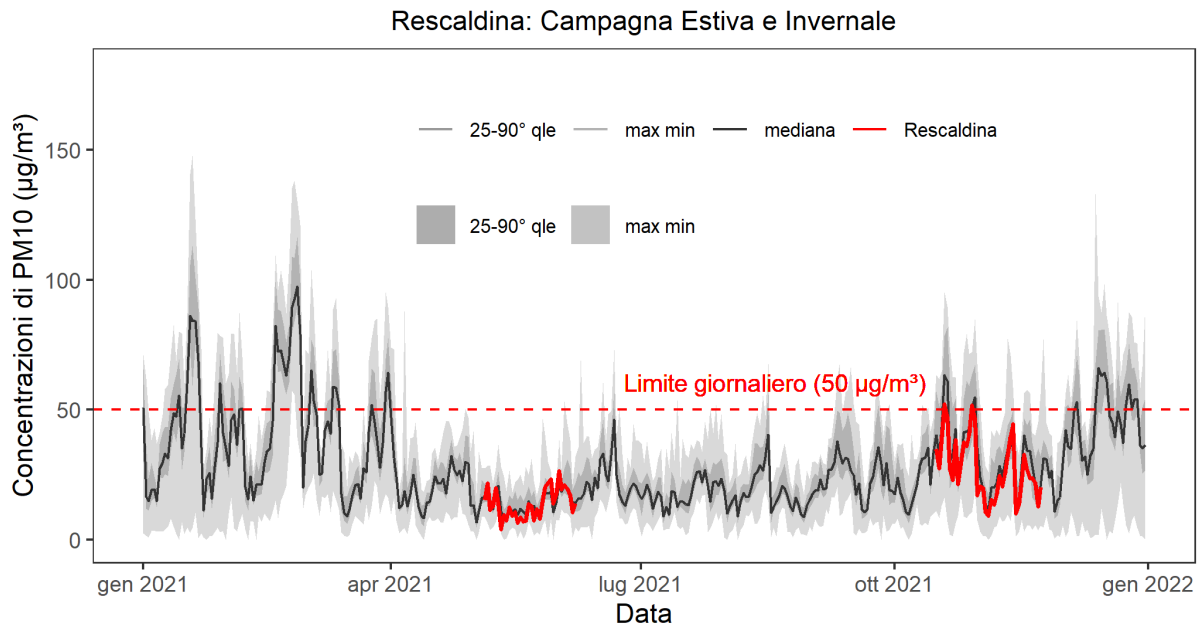


Figura 280: Andamento delle concentrazioni medie giornaliere di PM10 dal 1° gennaio 2021 al 31 gennaio 2021. La linea rossa individua le concentrazioni di PM10 misurate a Rescaldina. L'area grigia "max-min" rappresenta la variabilità giornaliera delle concentrazioni di PM10 registrate su tutta la rete di rilevamento, prendendo come estremi il massimo e minimo valore della regione Lombardia, mentre l'area "25-90° q.le" rappresenta la variabilità dei valori giornalieri delle concentrazioni di PM10 tra il 25° e 90° percentile.

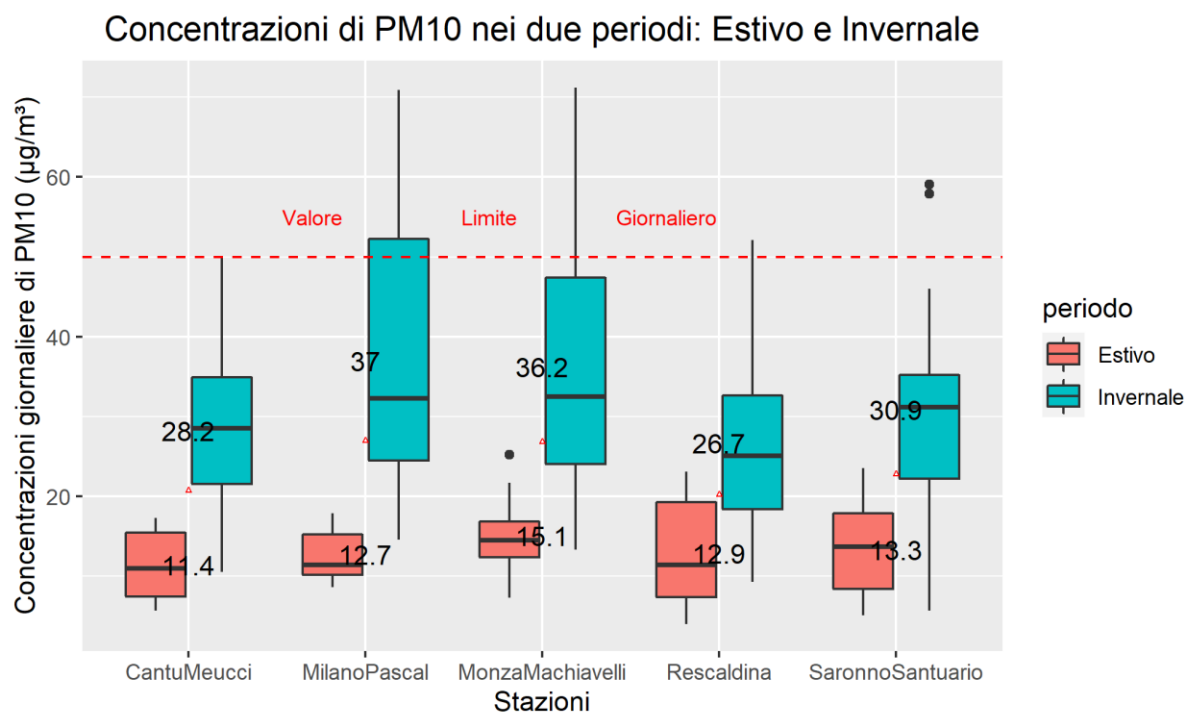
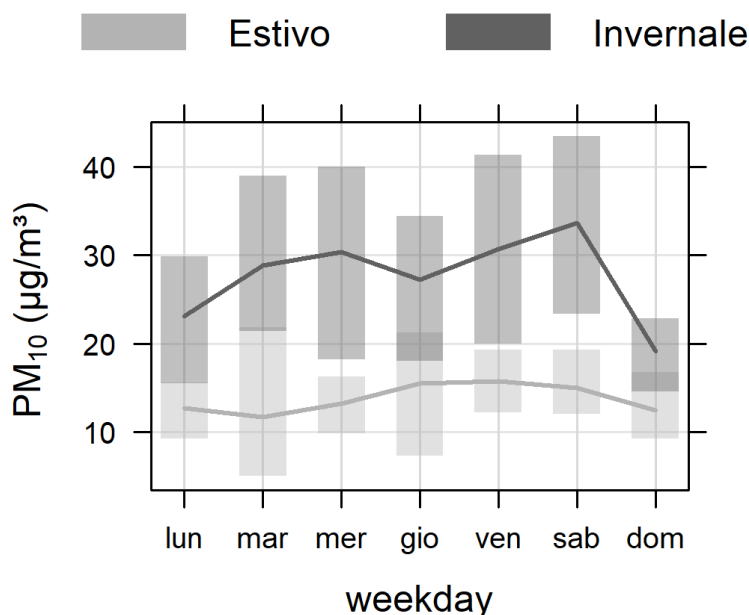


Figura 291. Variazione delle concentrazioni giornaliere di PM10, media del periodo Estivo e Invernale, misurate a Rescaldina, Cantù-Meucci, Milano-Pascal Monza Machiavelli e Saronno-Santuario.



a

Figura 302. Settimana Tipo (weekday) dei valori di PM₁₀ registrati a Rescaldina nei due periodi Estivo e Invernale. Le "fasce" colorate rappresentano il 95% dell'intervallo di confidenza della media per i due periodi.

Le concentrazioni di massa del PM_{2.5}

Parallelamente alle misure del PM₁₀ e analogamente a quanto descritto nel paragrafo precedente, si riporta in Figura 313 l'andamento delle concentrazioni medie giornaliere di PM_{2.5} misurate a Rescaldina e confrontate con la variabilità regionale su tutto l'anno delle centraline fisse della RRQA di ARPA Lombardia. Anche l'andamento delle concentrazioni di PM_{2.5} di Rescaldina, così come quelle del PM₁₀, sono confrontabili con quanto misurato nelle altre stazioni della RRQA. In termini assoluti, nei due periodi le concentrazioni si attestano sotto i valori mediani della distribuzione dei valori della RRQA, coerentemente alle caratteristiche del sito e dell'area circostante e coerentemente con i valori di PM₁₀ misurati, con assenza di valori di picco. La Figura 324 riporta gli andamenti di PM_{2.5} delle stazioni più prossime a Rescaldina.

In **Errore. L'origine riferimento non è stata trovata.**5 sono riportati i boxplot dei valori delle concentrazioni di PM_{2.5} misurate nei due periodi (Estivo e Invernale) e confrontati con i valori registrati negli stessi periodi nelle centraline di Merate, MI-Pascal, Monza-Machiavelli e Saronno-Santuario; il valore medio per ogni serie è indicato sul grafico. I dati non mostrano una sostanziale differenza tra i siti, anche da un punto di vista statistico.

Nella **Errore. L'origine riferimento non è stata trovata.**6, invece, è riportata la settimana tipo dei valori giornalieri delle concentrazioni di PM_{2.5} registrati a Rescaldina nei due periodi della campagna.

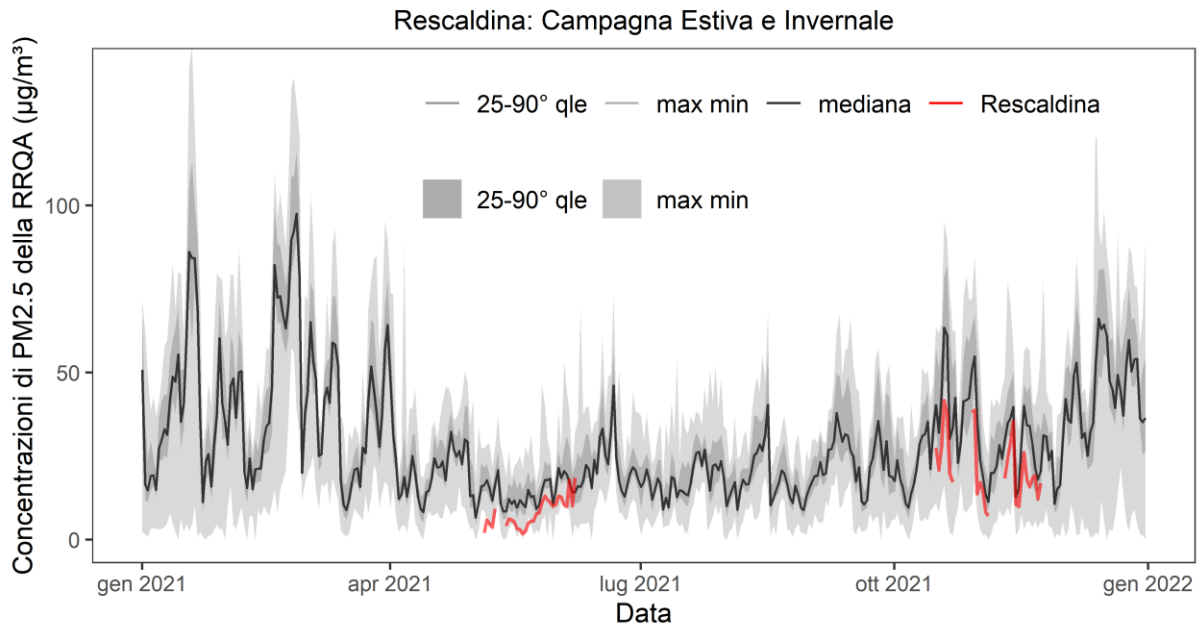
PM25 - Concentrazioni medie giornaliere ($\mu\text{g}/\text{m}^3$)

Figura 313: Andamento delle concentrazioni medie giornaliere di PM2.5 dal 1° gennaio 2021 al 31 dicembre 2021. La linea rossa individua le concentrazioni di PM2.5 misurate a Rescaldina. L'area grigia "max-min RRQA" rappresenta, per ogni giorno, la variabilità delle concentrazioni di PM2.5 registrate su tutta la rete di rilevamento, prendendo come estremi il massimo e minimo valore della regione Lombardia, mentre l'area grigia "25-90°q.le" rappresenta la variabilità dei valori giornalieri delle concentrazioni di PM2.5 tra il 25° e 90° percentile.

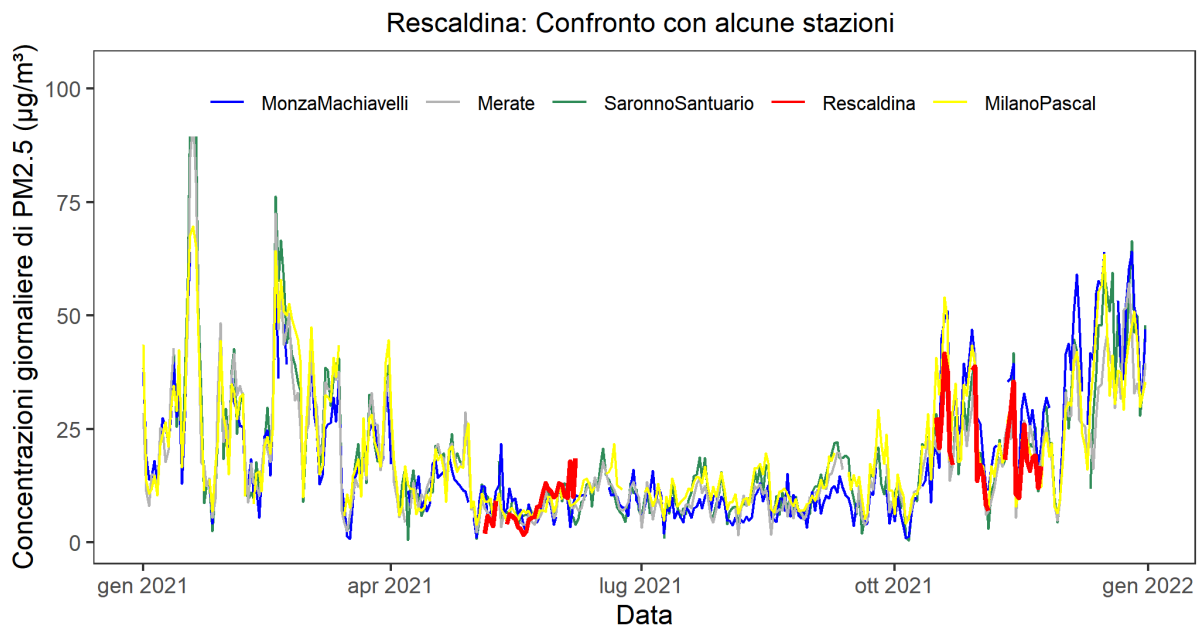
PM2.5 - Concentrazioni medie giornaliere ($\mu\text{g}/\text{m}^3$)

Figura 324: Andamento delle concentrazioni medie giornaliere di PM2.5 dal 1° gennaio 2021 al 31 gennaio 2021. La linea rossa individua le concentrazioni di PM2.5 misurate a Rescaldina, mentre le altre linee individuano le concentrazioni di PM2.5 misurate a Merate, Milano-Pascal, Monza-Machiavelli e Saronno-Santuario.

Rescaldina: concentrazioni di PM25 nei due periodi: Estivo e Invernale

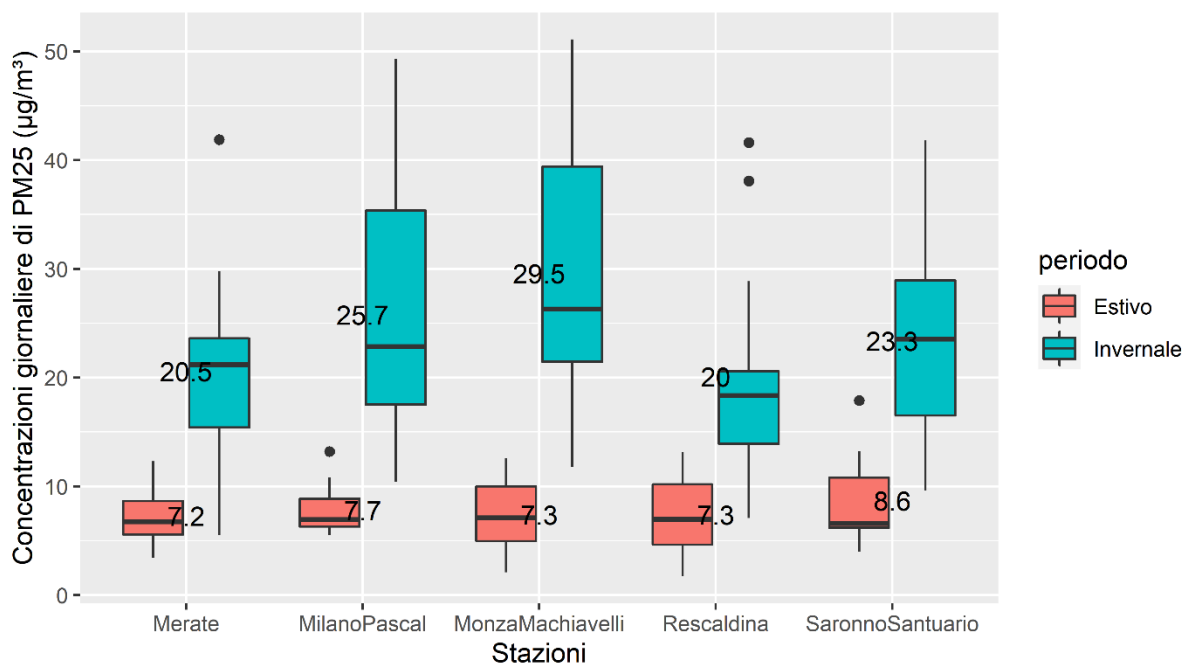


Figura 335. Variazione delle concentrazioni giornaliere di PM2,5, media del periodo Estivo e Invernale, misurate a Rescaldina, Merate, Milano-Pascal Monza Machiavelli e Saronno-Santuario.

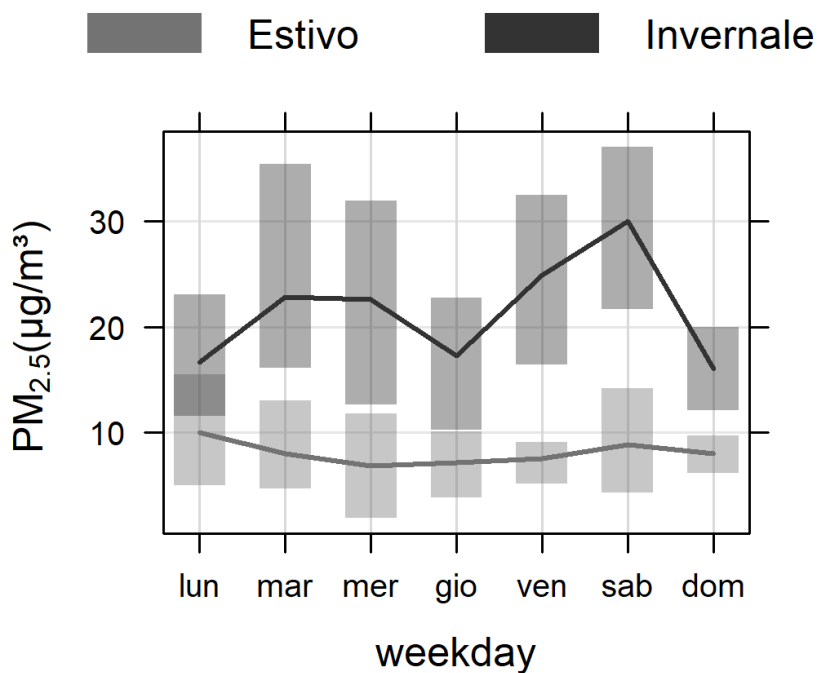


Figura 346. Settimana Tipo (weekday) e mese tipo (month) dei valori di PM2.5 registrati a Rescaldina nei due periodi Estivo e Invernale. Le "fasce" colorate rappresentano il 95% dell'intervallo di confidenza della media per i due periodi.

In Figura 37 si riportano i grafici di correlazione lineare tra PM10 e PM2.5 per Rescaldina (azzurro) e la postazione di MI-Pascal (rosso): il coefficiente angolare di 0.8 riscontrato a Rescaldina, in analogia con quello di MI-Pascal, permette di trarre alcune conclusioni che meglio identificano il sito dal punto di vista delle polveri. Un alto valore del coefficiente angolare, ovvero del rapporto PM2.5/PM10 è, in genere, caratteristico di siti di fondo, nei quali la combustione di biomassa può essere una sorgente importante, aumentando la concentrazione delle particelle più fini.

PM2.5 vs PM10: Confronto tra Lissone e alcune stazioni della RRQA

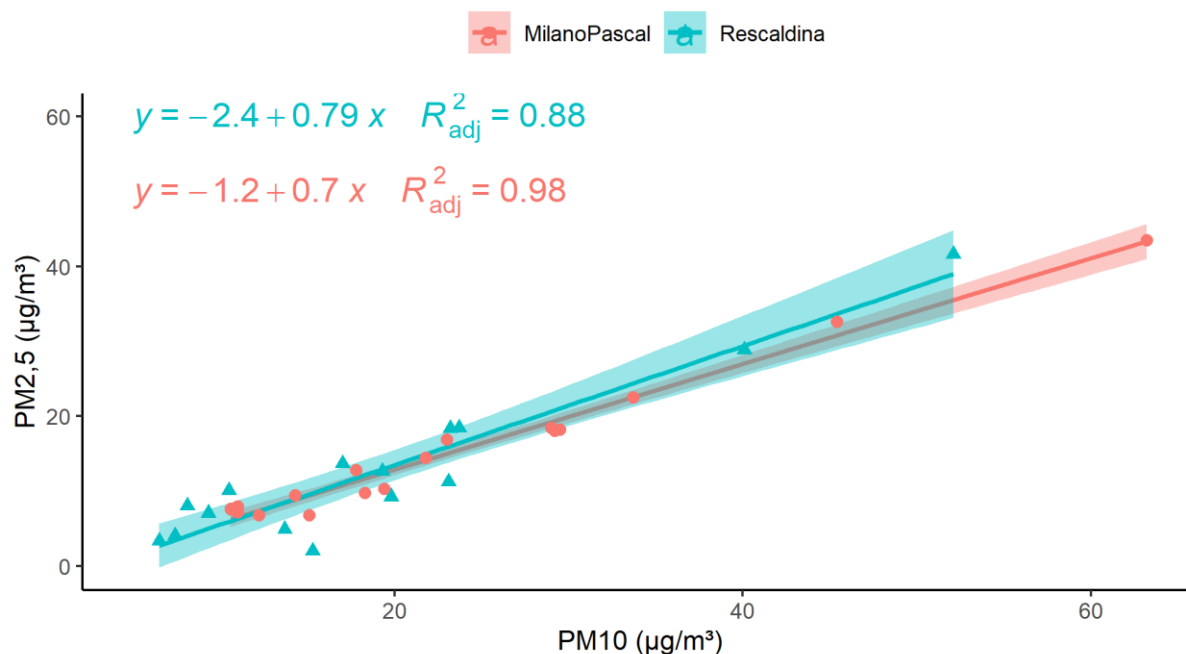


Figura 37: Grafici a dispersione tra le concentrazioni giornaliere di PM2.5 e PM10 misurate dalle stazioni di Rescaldina e Milano-, elaborati con le coppie di dati presenti durante i periodi (Estivo e Invernale) della campagna di Rescaldina.

Il Benzene

In Figura 3838 è riportato il confronto tra le concentrazioni medie giornaliere di benzene misurate nel sito di Rescaldina, e quelle rilevate in tutta la RRQA dal 1° gennaio 2021 al 31 dicembre 2021. Le concentrazioni di Benzene a Rescaldina mostrano un comportamento coerente sia in termini di andamenti che in termini di valori assoluti con le misure effettuate nelle stazioni della RRQA; in particolare, le concentrazioni si attestano tra la mediana e il 90° percentile dei valori registrati su tutta la rete, con un solo episodio locale, nel periodo invernale, in cui la concentrazione giornaliera ha superato il massimo della RRQA ($6.9 \mu\text{g}/\text{m}^3$). Tuttavia, il valore medio nei due periodi di monitoraggio è stato $0.3 \pm 0.1 \mu\text{g}/\text{m}^3$ nel periodo estivo e $0.9 \pm 0.6 \mu\text{g}/\text{m}^3$ in quello invernale.

Nella Figura 3939 sono riportate le curve per il giorno-tipo e la settimana-tipo delle concentrazioni di benzene per entrambi i periodi considerati. Le concentrazioni orarie dei giorni feriali non hanno mostrato un andamento caratteristico: i valori aumentano lievemente a partire dalle prime ore del mattino e raggiungono valori massimi tra le 18 e le 20, in particolare nel periodo invernale; nel periodo estivo i picchi delle concentrazioni sono molto bassi. Nei giorni feriali le concentrazioni hanno un andamento in aumento nel giorno di giovedì per poi diminuire fino a sabato. Questa tipicità potrebbe essere dovuta a qualche attività insistente nell'intorno del punto di misura.

Tale osservazione è supportata anche dalla Figura 0, nella quale si riportano i Polar Plot⁵ delle concentrazioni medie orarie di benzene invernali, evidenziando una leggera direzione di provenienza prevalente delle concentrazioni (rispetto alla posizione del laboratorio mobile) maggiori da nord, e comunque tutto intorno il punto di misura.

Benzene - Concentrazioni medie giornaliere della RRQA Rescaldina: Campagna Estiva e Invernale

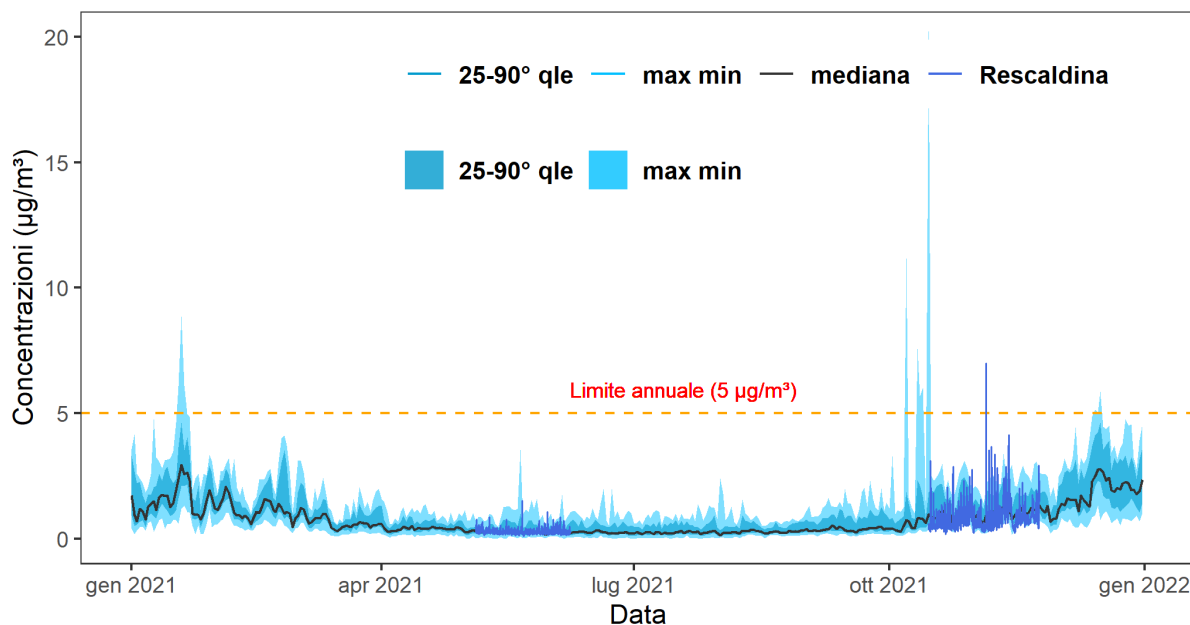


Figura 3835. Andamento delle concentrazioni medie giornaliere di Benzene dal 1° gennaio 2021 al 31 dicembre 2021. La linea blu-scura individua le concentrazioni di Benzene misurate a Rescaldina. L'area azzurra "max-min" rappresenta, per ogni giorno, la variabilità delle concentrazioni di Benzene registrate su tutta la rete di rilevamento (RRQA), prendendo come estremi il massimo e minimo valore della regione Lombardia, mentre l'area "25-90°q.le" rappresenta la variabilità dei valori giornalieri delle concentrazioni di Benzene tra il 25° e 90° percentile.

⁵ Questo tipo di grafico permette di rappresentare, per un determinato punto recettore, la variazione della concentrazione di un inquinante in funzione della direzione e velocità del vento. In particolare, questi diagrammi polari bivariati sono costruiti in modo che, la velocità del vento e la sua direzione suddivisi in bins, e il valore della concentrazione media è calcolata per ogni bin. (HASTIE, T. J. and R. TIBSHIRANI (1990), CARSLAW, D. C. et al. (2013)).

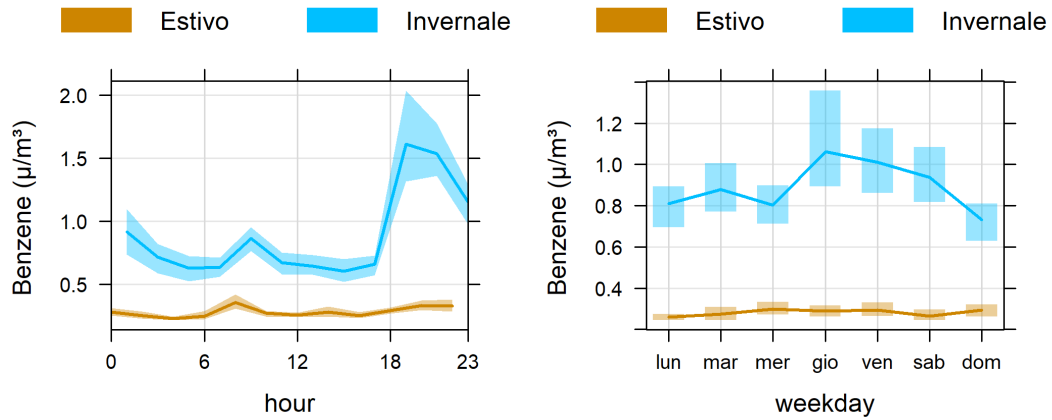


Figura 3936. Concentrazioni medie orarie di Benzene: Giorno Tipo (hour) e Settimana tipo (weekday) nei due periodi della campagna di Rescaldina. Le "fasce" colorate rappresentano il 95% dell'intervallo di confidenza della media per i due periodi.

Concentrazioni medie orarie di Benzene- Polar Plot

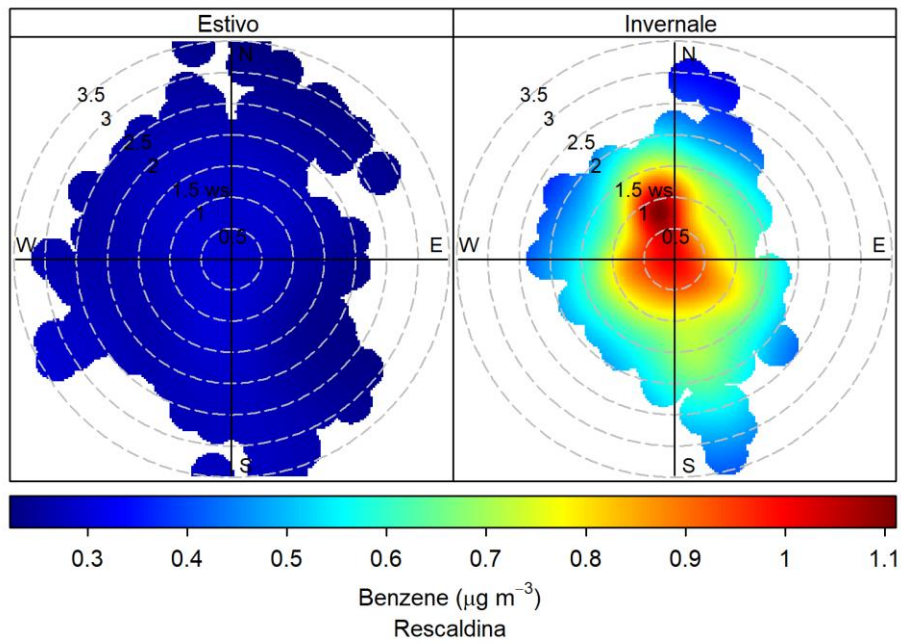


Figura 370. Polar Plot delle concentrazioni medie orarie di benzene registrate a Rescaldina e nei periodi Estivo e Invernale.

Stima dei superamenti dei limiti normativi durante l'anno: le Proiezioni

Il Decreto Legislativo n. 155 del 13/08/2010, al fine di salvaguardare la salute umana e l'ambiente, stabilisce limiti di concentrazione, a lungo e breve termine, ai quali attenersi, che non devono essere superati durante l'arco dell'anno solare. Dalla Tabella 2 si evince che alcuni limiti sono espressi come concentrazione media annuale dei dati rilevati, mentre per altri il limite è espresso sia come media annuale sia come numero di giorni di superamento del limite giornaliero (es. PM10).

Poiché, secondo la normativa vigente, le campagne temporanee devono avere la durata di almeno 8 settimane distribuite durante l'anno, di seguito sono proposti i risultati dell'applicazione di un metodo statistico utilizzato per proiettare il comportamento dei parametri considerati nelle precedenti sezioni e misurati nei due periodi di monitoraggio a Rescaldina per l'intero anno 2021, al fine di valutare la conformità di questi alla normativa Nazionale per quanto riguarda le stime annuali delle medie o dei numeri di superamenti.

Principio del metodo applicato

Il metodo si basa sulla correlazione tra la media delle concentrazioni rilevate durante il monitoraggio (comprendenti entrambi i periodi: estivo e invernale), sull'asse delle ascisse, e quella rilevata nell'intero anno solare per tutte le postazioni fisse, sull'asse delle ordinate. Il numero delle stazioni della RRQA utilizzate dipende dal parametro misurato e dal rendimento della misura, ovvero il sito deve avere almeno il 75% di dati validi. Si individua tale relazione con una regressione lineare e verificando la sussistenza di un accettabile coefficiente di determinazione, R^2 . Il coefficiente angolare e il valore dell'intercetta sono utilizzati per stimare la concentrazione media annuale nel sito di cui si dispone solamente di un periodo limitato di misurazioni.

Biossido di azoto (NO_2)

Rapportando per gli 84 siti della RRQA della regione Lombardia il valore della concentrazione media annuale di NO_2 , riferito all'anno di riferimento preso a confronto, alla concentrazione media calcolata durante la campagna di misura, è stata costruita la retta di interpolazione pesata sulle concentrazioni annuali di Figura 1. Il coefficiente di correlazione R^2 indica se la correlazione trovata è casuale o effettiva. Poiché la probabilità che le 84 coppie di dati possano produrre casualmente un valore di R^2 maggiore o uguale al valore ottenuto di 0.96 è praticamente nulla, allora la correlazione lineare trovata può essere ritenuta altamente significativa. Ciò ha permesso di stimare la concentrazione media annuale di NO_2 per Rescaldina: il risultato è pari a $28 \mu\text{g}/\text{m}^3$, con associato una deviazione standard di $\sigma = 1.6 \mu\text{g}/\text{m}^3$ che fornisce una probabilità di oltre il 90% che il limite annuale dei $40 \mu\text{g}/\text{m}^3$ non venga superato. Per confronto, le centraline fisse di MI-Marche (UT) e MI-Pascal (UB) hanno registrato rispettivamente una concentrazione annua pari $44 \mu\text{g}/\text{m}^3$ e $34 \mu\text{g}/\text{m}^3$, la prima delle due superando il limite annuale. Degli 84 rilevazioni, solo 6 siti urbani da traffico della RRQA hanno superato il valore limite di $40 \mu\text{g}/\text{m}^3$ come media sul periodo qui preso di riferimento (01/01/2021 ÷ 31/12/2021).

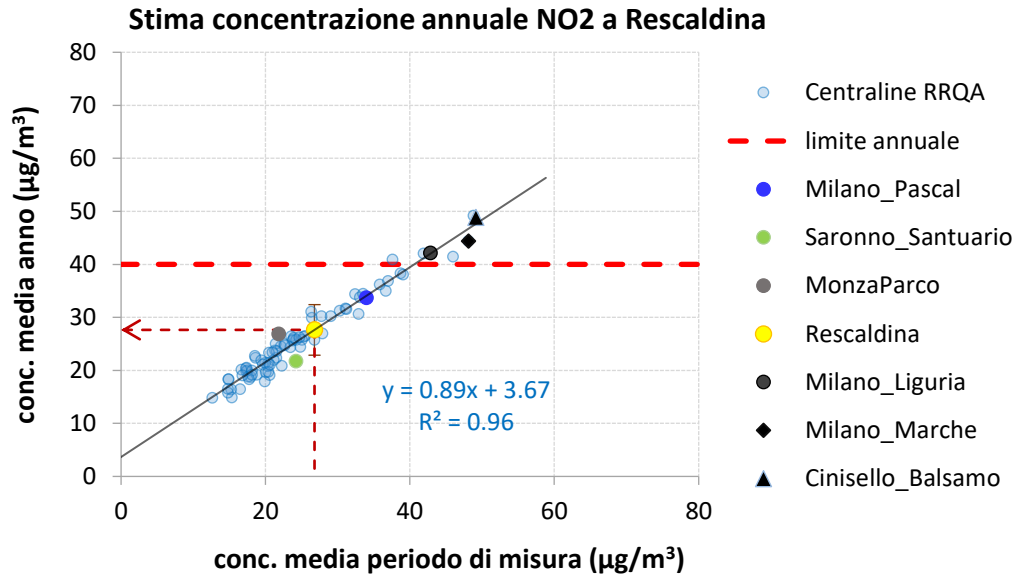


Figura 381. Stima della concentrazione media annuale di NO₂ a Rescaldina.

PM10

Poiché la normativa prevede per il PM10 due valori limite, ovvero 40 $\mu\text{g}/\text{m}^3$ sulla media annuale e 50 $\mu\text{g}/\text{m}^3$ sulla media giornaliera da non superare più di 35 volte all'anno, si rende necessario stimare, basandosi sulle misure temporanee effettuate, se nel sito di Rescaldina questi limiti siano stati rispettati.

Con lo stesso ragionamento già esposto, la correlazione lineare trovata è risultata significativa e ha permesso di stimare la concentrazione media annuale del PM10 a Rescaldina (Figura 42): il risultato è pari a 26 $\mu\text{g}/\text{m}^3$, con associato un errore standard di $\sigma=1.2 \mu\text{g}/\text{m}^3$ che garantisce una probabilità di oltre il 95.6% che il limite annuale dei 40 $\mu\text{g}/\text{m}^3$ non sia superato.

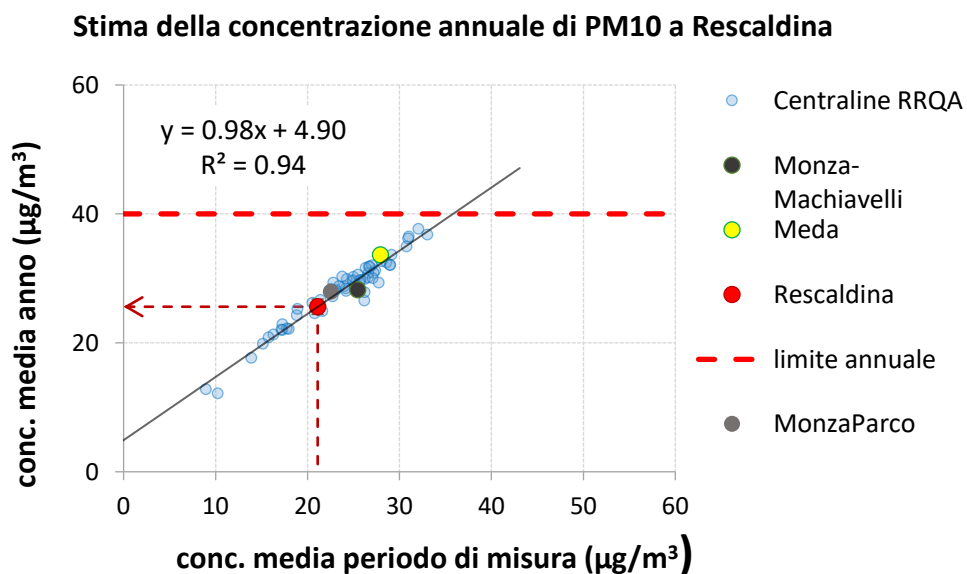


Figura 42. Stima della concentrazione annuale di PM10 per il sito di Rescaldina.

Analogamente, il numero di superamenti del valore limite giornaliero (Figura 43) è stato stimato pari a 35 ± 7 , quindi il superamento dei giorni concessi, con una probabilità del 98.5 %.

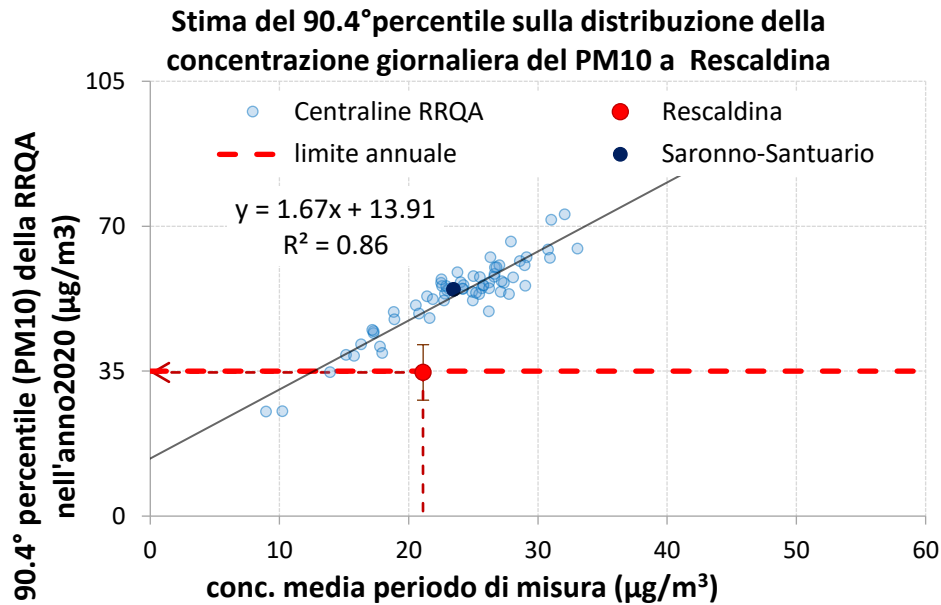


Figura 43. Stima del numero di superamenti annuali del valore limite di $50 \mu\text{g}/\text{m}^3$ sul PM10 per il sito temporaneo di Rescaldina.

PM2.5

La legge prevede un valore limite sulla concentrazione media annuale del PM2.5 di $25 \mu\text{g}/\text{m}^3$; pertanto, è stata stimata la media annuale a Rescaldina per poter valutare il rispetto della norma. La correlazione lineare trovata è risultata significativa (Figura 44) e ha permesso di stimare che la concentrazione media annuale del PM2.5 a Rescaldina è pari a $17 \pm 1.4 \mu\text{g}/\text{m}^3$ che garantisce una probabilità superiore al 90% che il limite annuale di $25 \mu\text{g}/\text{m}^3$ non venga superato. In Lombardia, solo due siti della RRQA hanno superato tale soglia.

Stima della concentrazione annuale di PM2.5 a Rescaldina

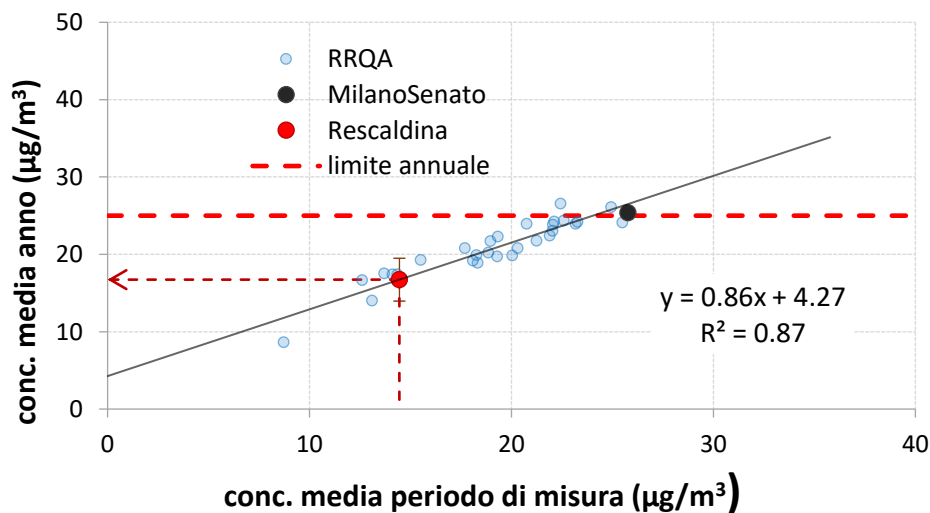


Figura 44. Stima della concentrazione annuale di PM2.5 per il sito di Rescaldina.

Benzene (C₆H₆)

Per il Benzene la normativa prevede un limite sulla media annuale pari a 5 µg/m³. Questo limite non è superato in nessuna delle centraline della rete regionale. Il valore massimo della media annuale è registrato a MI-Pascal con 1.5 µg/m³, sull'anno di riferimento scelto. Analogamente a quanto fatto per gli altri inquinanti, la stima della concentrazione media annuale di benzene (Figura 45) per il sito temporaneo di Rescaldina è stata di 0.7 µg/m³, con associato una deviazione standard di 3σ=0.1 µg/m³, che fornisce una probabilità di circa il 99% che il limite annuale dei 5 µg/m³ non sia stato superato.

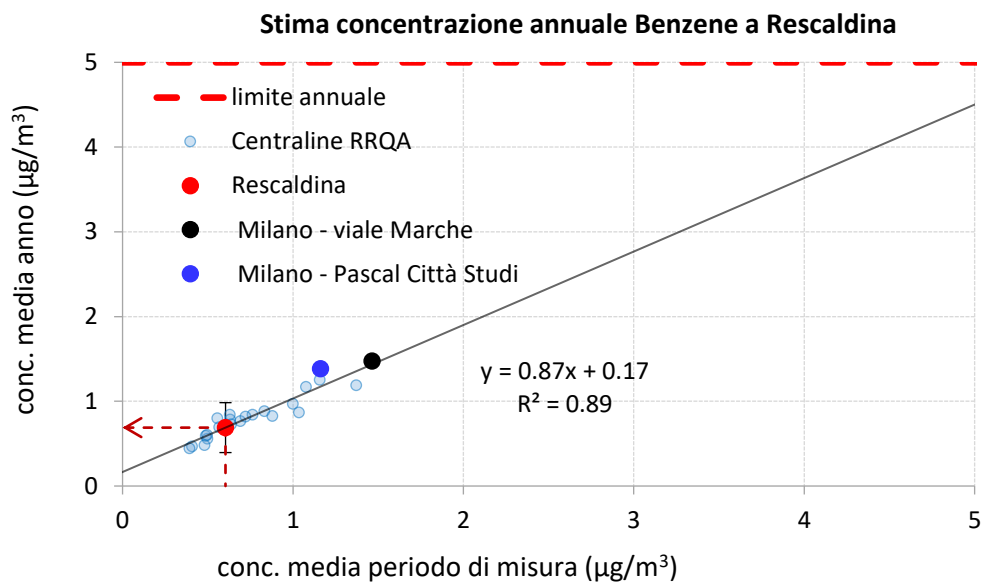


Figura 39. Stima della concentrazione media annuale di benzene a Rescaldina.

Misure di Black Carbon (BC)

La misura di BC è stata effettuata, con frequenza oraria, mediante un analizzatore MAAP (Multi Angle Absorption Photometer) basato sul principio dell'assorbimento ottico da parte dell'aerosol misurato a diverse lunghezze d'onda (la lunghezza d'onda utilizzata nelle misure qui riportate è 880 nm). Non essendo previsto dalla normativa un limite per il BC, le concentrazioni rilevate nella campagna in esame sono state oggetto di confronto con i valori determinati nella stazione di MI-Pascal, ove si misura in continuo il BC con principio di misura simile. Con le dovute correzioni, un confronto approssimato può essere effettuato anche con le concentrazioni rilevate a MI-Marche e MI-Senato dove sono utilizzati degli etalometri a sette lunghezze d'onda.

Nella Figura 46 sono riportati, per ciascun giorno dal 1° gennaio al 31 dicembre 2021, i valori delle medie orarie per le centraline fisse di MI-Pascal, MI-Senato e MI-Marche e per il sito "temporaneo" di Rescaldina nel periodo di misura invernale, comunque più significativo. Il confronto delle misure nei quattro siti è risultato molto coerente, con valori decisamente più alti nei mesi più freddi, come atteso. A Rescaldina, la media delle concentrazioni orarie di BC registrate nel periodo invernale, è risultata pari a $4.7 \mu\text{g}/\text{m}^3$.

Black Carbon (BC) - Concentrazioni medie orarie

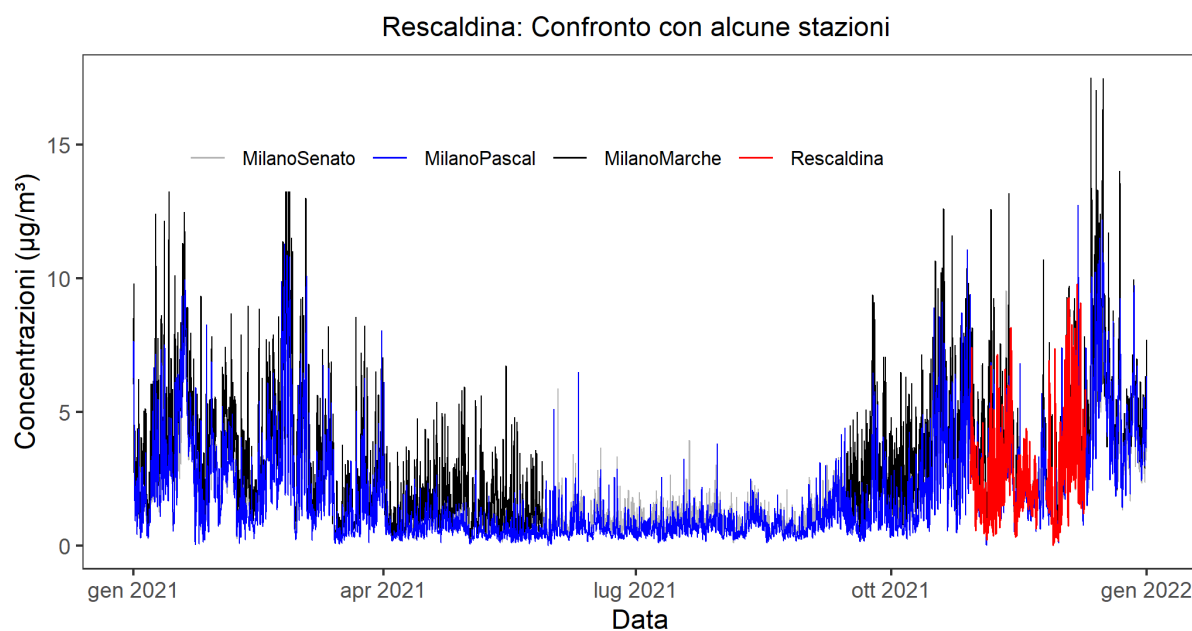


Figura 46. Confronto tra gli andamenti delle medie orarie del BC a Rescaldina, MI-Pascal, MI-Marche e MI-Senato.

Nella Figura 47 sono riportati la settimana tipo e il giorno tipo delle concentrazioni orarie di BC. Così come per il benzene, anche per il BC si evidenzia una maggiore concentrazione dovuta probabilmente a fenomeni locali, con un picco il venerdì.

Quanto emerso dall'osservazione dei giorni tipo ha suggerito di verificare la correlazione con parametri tipicamente legati al traffico, quali CO, Benzene e NO (Figura 48 (a), **Errore. L'origine riferimento non è stata trovata.**(b)). Si osserva un'ottima correlazione con valori di R^2 pari a 0.7 per il CO, 0.8 per il benzene e 0.5 per l'NO. Inoltre, nella Figura 48 (c), sono riportati gli andamenti delle medie giornaliere

per il PM10, PM2.5, BC, Benzene e NO nonché i valori di BC misurati nella stazione di Milano Pascal, confermando la forte relazione tra di essi.

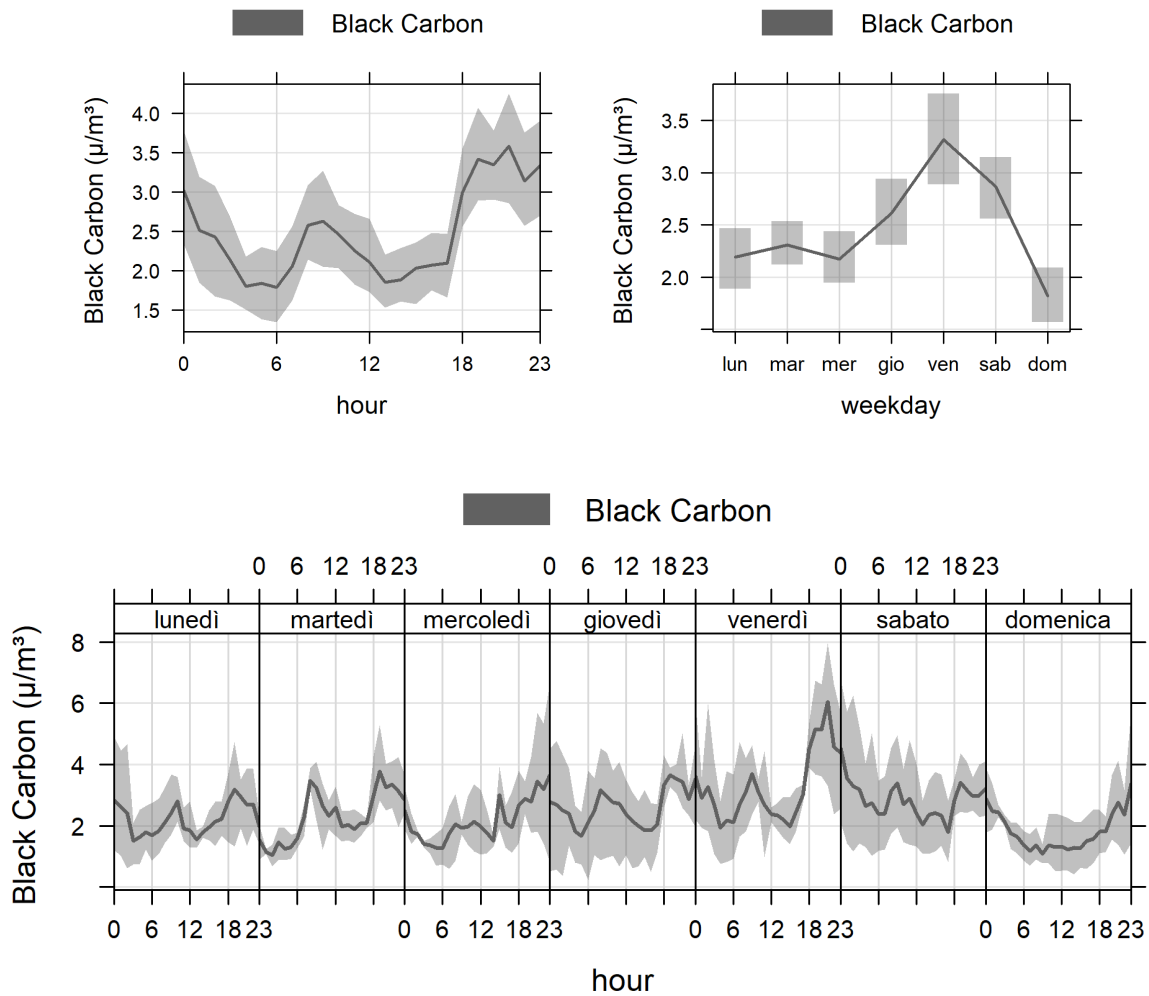


Figura 47. Concentrazioni medie orarie di BC: Giorno Tipo per i giorni della settimana (hour) e Settimana tipo (weekday) nei due periodi della campagna di Rescaldina. Le "fasce" colorate rappresentano il 95% dell'intervallo di confidenza della media per i due periodi.

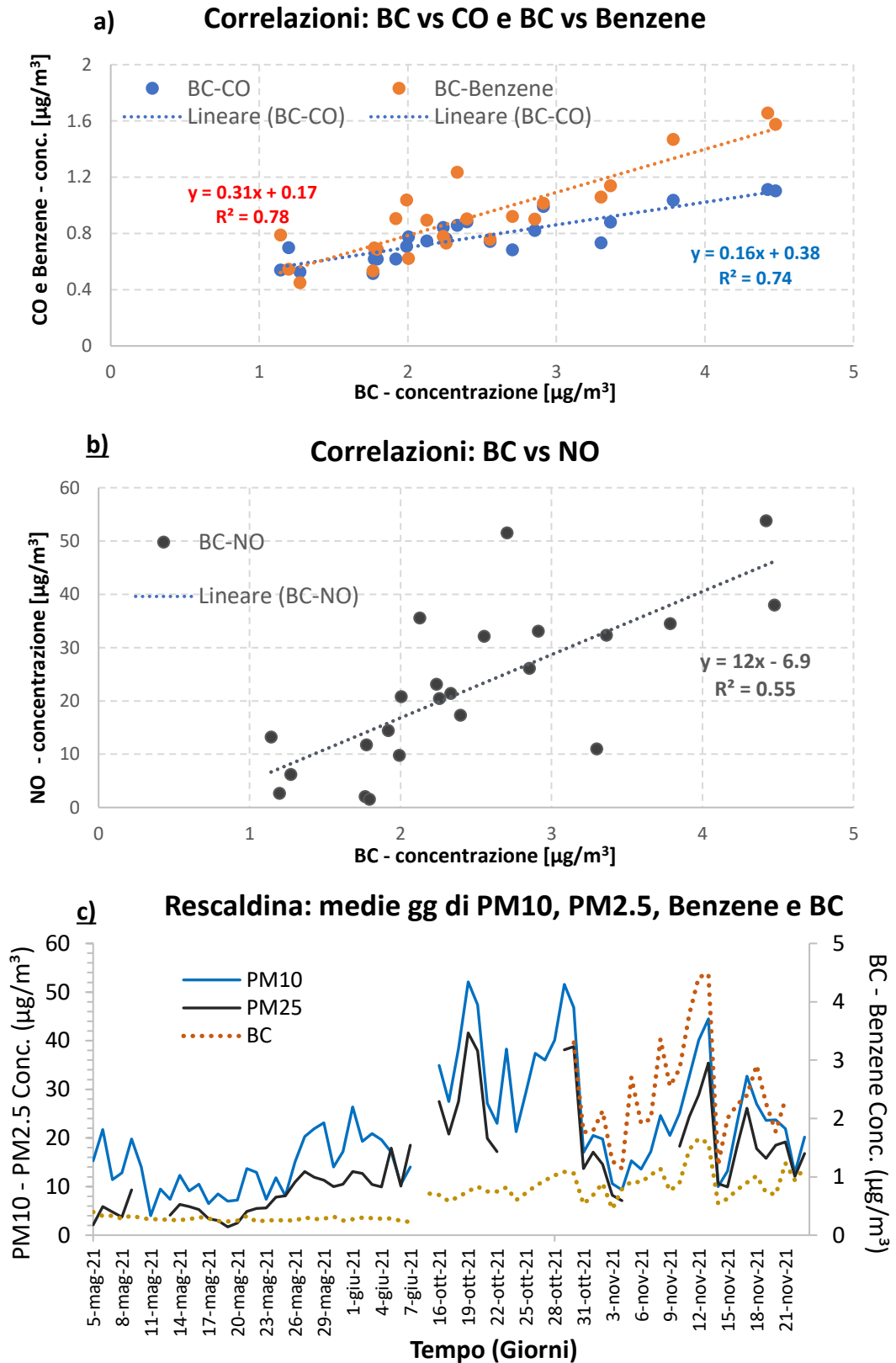


Figura 48. Correlazione tra le concentrazioni medie giornaliere di BC e Benzene e CO (a), BC e NO (b) a Rescaldina. Confronto tra BC e altri inquinanti (c).

Conclusioni

Su richiesta dell'Amministrazione Comunale, ARPA Lombardia ha svolto una campagna di rilevamento mediante il posizionamento di un laboratorio mobile, con l'obiettivo di monitorare la qualità dell'aria lungo l'asse della SP527 "Saronnese", in considerazione di recenti nuove aperture in Comuni limitrofi di strutture di notevole attrattività. Questo ha permesso di verificare se le misure a Rescaldina fossero confrontabili con quelle delle altre stazioni fisse della Rete di Monitoraggio o se, in relazione alle pressioni antropiche presenti sul territorio comunale e nelle aree circostanti, vi fosse una qualche specifica criticità. La campagna è stata effettuata in due periodi: dal 05 maggio al 07 giugno 2021 ("Estivo") e dal 15 ottobre al 23 novembre 2021 ("Invernale").

Per **Il monossido di carbonio (CO)**, le concentrazioni sono risultate molto basse e prossime al limite di rilevabilità strumentale, come accade ormai in tutte le postazioni della rete fissa.

Per **L'ozono Troposferico (O3)** durante il periodo estivo, le concentrazioni sono state complessivamente in linea con quelle registrate su tutta la RRQA. Le concentrazioni del periodo invernale, si sono posizionate mediamente nella fascia compresa tra la mediana e il valore minimo, come tipicamente accade per postazioni sottoposte ad emissioni di traffico. Durante le due campagne di misura non sono stati registrati superamenti delle soglie di informazione e di allarme. Le stime e le elaborazioni dei dati, indicano che non ci sono differenze statisticamente significative rispetto ai valori registrati nelle stazioni prese a confronto.

Per quanto riguarda **Il biossido di azoto (NO2)** la stima della media annuale ha fornito un valore inferiore al limite di legge e pari a $28 \pm 2 \mu\text{g}/\text{m}^3$. Tuttavia, l'elaborazione dei risultati porta ad assimilare il sito scelto a Rescaldina ad una stazione influenzata da combustioni e traffico veicolare. Infatti, le concentrazioni misurate, pur risultando complessivamente in linea, sia negli andamenti che nelle quantità assolute, con quelle registrate nelle altre centraline della rete della RRQA, nel periodo invernale si sono posizionate quasi sempre al di sopra del 90° percentile.

Per quanto riguarda **il PM10**, l'analisi dei dati raccolti ha evidenziato concentrazioni non significative per entrambe le campagne, con valori in linea rispetto a quelli registrati dalla RRQA lombarda. I dati, nei due periodi, risultano quasi sempre posizionati sui valori della mediana di tutti quelli registrati nella RRQA. Un'analisi complessiva dei dati di PM10 raccolti durante il monitoraggio mostra dunque una situazione che non presenta criticità specifiche relative a questo inquinante rispetto alla RRQA lombarda e i valori ottenuti risultano non differenti rispetto a quelli di stazioni urbane della RRQA. La stima della media annuale ha fornito un valore inferiore al limite di legge e pari a $26 \pm 1 \mu\text{g}/\text{m}^3$ mentre il numero di giorni di superamento del valore limite è stato stimato pari a 34 ± 7 .

Analogamente, per **Le concentrazioni** di massa del PM2.5 è stata stimata una concentrazione media annuale pari a $17 \pm 1 \mu\text{g}/\text{m}^3$ inferiore, dunque, al limite annuale di $25 \mu\text{g}/\text{m}^3$. Le valutazioni fatte per il PM10 possono essere estese in linea generale anche al PM2.5: le concentrazioni rilevate a Rescaldina sono rientrate nella variabilità regionale presentando le medesime criticità di tutta pianura padana lombarda.

Anche il **benzene** è stato stimato rispettare il limite annuale, come del resto accade da anni in tutta la regione. Infatti, la media del periodo estivo è stata pari a $0.3 \mu\text{g}/\text{m}^3$ e quella del periodo invernale a $0.9 \mu\text{g}/\text{m}^3$.

Per quanto riguarda il **Black carbon**, le misure sono state effettuate nella sola stagione invernale, che comunque è la più significativa per questo parametro, e l'analisi dei dati raccolti ha evidenziato un buon accordo con i parametri tipici da traffico. La concentrazione di BC è risultata ben coerente con quella della postazione di Milano Pascal.

In conclusione, la valutazione congiunta di tutti gli inquinanti monitorati non ha evidenziato specifiche criticità per l'area monitorata ma un comportamento tipico di un sito urbano interessato da pressioni emissive dovute ad attività antropiche, quali in particolare traffico veicolare e riscaldamento domestico. La situazione osservata dipende, in generale, dalle emissioni diffuse su tutta l'area circostante e mediata dalle condizioni meteorologiche e dalla fotochimica dell'atmosfera.

Allegato 1: Dati orari “periodo estivo”

Parm	NOX	NO	NO2	CO	O3	Benzene	Toluene	EBENZENE	O-xylene	MP-XYLENE
PtId	3	4	5	2	6	9	10	13	12	11
Unit	ug/m3 293K	ug/m3 293K	ug/m3 293K	ug/m3 293K	ug/m3 293K	ug/m3 293K	ug/m3 293K	ug/m3 293K	ug/m3 293K	ug/m3 293K
Field	Aver	Aver	Aver	Aver	Aver	Aver	Aver	Aver	Aver	Aver
04/05/2021 01:00										
04/05/2021 02:00										
04/05/2021 03:00										
04/05/2021 04:00										
04/05/2021 05:00										
04/05/2021 06:00										
04/05/2021 07:00										
04/05/2021 08:00										
04/05/2021 09:00										
04/05/2021 10:00										
04/05/2021 11:00	8.2	5.4	0.2	2.1	10.1	34.2	40.3	46.4	46.4	46.4
04/05/2021 12:00	11.4	1.9	9.0	1.2	93.1	30.3	36.0	41.2	41.2	41.3
04/05/2021 13:00	12.7	2.3	9.2	0.8	96.3	0.2	0.5	0.3	0.4	0.5
04/05/2021 14:00	13.3	2.8	9.1	0.7	101.5	0.2	0.6	0.6	0.5	0.8
04/05/2021 15:00	10.8	1.6	8.3	0.7	113.9	0.2	0.5	0.5	0.6	1.0
04/05/2021 16:00	9.9	1.3	7.9	0.7	118.3	0.3	0.9	0.6	0.9	1.3
04/05/2021 17:00	14.1	1.5	11.8	0.7	114.4	0.3	1.0	0.4	0.6	0.9
04/05/2021 18:00	19.7	2.1	16.5	0.7	106.9	0.6	1.2	0.4	0.5	0.8
04/05/2021 19:00	15.2	1.3	13.2	0.6	100.0	0.3	0.8	0.4	0.4	0.7
04/05/2021 20:00	12.4	0.9	11.0	0.6	100.8	0.4	0.8	0.4	0.4	0.7
04/05/2021 21:00	12.3	1.1	10.6	0.7	98.3	0.5	0.7	0.3	0.7	0.7
04/05/2021 22:00	12.0	0.8	10.8	0.7	98.0	0.6	1.0	0.3	0.6	0.5
04/05/2021 23:00	9.5	0.7	8.3	0.6	96.9	0.3	0.6	0.2	0.2	0.4
05/05/2021 00:00	8.1	0.7	6.9	0.6	100.9	0.3	0.5	0.2	0.4	0.3
05/05/2021 01:00	7.3	0.7	6.2	0.6	97.8	0.5	0.6	0.2	0.4	0.4
05/05/2021 02:00	7.9	0.7	6.8	0.6	73.7	0.3	0.6	0.2	0.4	0.5
05/05/2021 03:00	9.1	0.7	8.0	0.6	66.4	0.3	0.6	0.3	0.2	0.4
05/05/2021 04:00	11.7	0.8	10.5	0.6	53.5	0.3	0.7	0.4	0.3	0.4
05/05/2021 05:00	16.0	0.8	14.8	0.7	53.3	0.5	0.9	0.4	0.2	0.5
05/05/2021 06:00	19.7	1.3	17.7	0.7	51.3	0.8	0.9	0.4	0.3	0.5
05/05/2021 07:00	34.2	3.4	28.9	0.8	38.1	0.5	1.4	0.5	0.4	0.7
05/05/2021 08:00	33.8	3.6	28.3	0.7	62.2	0.6	1.8	0.5	0.6	1.1
05/05/2021 09:00	28.8	2.3	25.3	0.7	72.4	0.7	1.0	0.4	0.5	0.8
05/05/2021 10:00	24.1	2.4	20.4	0.7	80.3	0.3	1.1	0.6	0.7	1.1
05/05/2021 11:00	20.7	2.7	16.5	0.7	86.4	0.2	1.4	0.4	0.8	0.9
05/05/2021 12:00	17.5	2.3	13.9	0.6	93.9	0.3	1.2	0.5	0.7	0.8
05/05/2021 13:00	14.5	1.9	11.6	0.6	99.4	0.4	1.1	0.3	0.4	0.5
05/05/2021 14:00	11.6	1.3	9.6	0.6	105.9	0.4	1.5	0.4	0.3	0.5
05/05/2021 15:00	12.5	1.5	10.3	0.6	108.9	0.3	1.6	0.6	0.4	0.7
05/05/2021 16:00	12.8	1.6	10.4	0.5	110.1	0.3	1.0	0.4	0.6	0.9
05/05/2021 17:00	12.7	1.5	10.4	0.5	111.8	0.2	0.7	0.2	0.3	0.5
05/05/2021 18:00	13.1	1.3	11.2	0.5	115.6	0.4	0.7	0.3	0.4	0.5
05/05/2021 19:00	16.7	1.3	14.7	0.5	111.5	0.2	1.1	0.3	0.4	0.5
05/05/2021 20:00	23.6	0.9	22.2	0.6	85.4	0.5	1.0	0.2	0.4	0.5
05/05/2021 21:00	24.6	1.1	22.8	0.6	75.8	0.5	1.9	0.5	0.6	0.9
05/05/2021 22:00	12.2	0.9	10.9	0.5	92.5	0.3	0.7	0.3	0.3	0.5
05/05/2021 23:00	10.7	0.8	9.5	0.5	88.4	0.4	0.6	0.2	0.2	0.3
06/05/2021 00:00	9.7	0.7	8.6	0.5	88.1	0.4	0.7	0.3	0.4	0.4
06/05/2021 01:00	12.5	0.8	11.3	0.5	71.8	0.6	2.2	0.6	0.7	1.2
06/05/2021 02:00	10.2	0.7	9.1	0.5	76.9	0.5	1.2	0.4	0.5	0.7
06/05/2021 03:00	8.8	0.7	7.7	0.5	87.5	0.2	0.5	0.2	0.3	0.4
06/05/2021 04:00	12.7	0.8	11.5	0.5	75.2	0.2	0.9	0.2	0.4	0.4
06/05/2021 05:00	22.6	0.9	21.3	0.5	57.1	0.4	1.0	0.3	0.4	0.5
06/05/2021 06:00	22.0	1.4	19.9	0.5	63.4	0.2	1.1	0.4	0.4	0.5
06/05/2021 07:00	35.4	3.7	29.7	0.6	47.6	0.5	0.9	0.6	0.4	0.7

06/05/2021 08:00	31.1	4.9	23.5	0.6	55.7	0.3	1.9	0.6	0.7	0.9
06/05/2021 09:00	24.7	4.2	18.2	0.6	66.9	0.2	1.7	0.6	0.5	1.0
06/05/2021 10:00	25.1	4.2	18.6	0.7	65.1	0.3	2.1	0.6	0.7	1.0
06/05/2021 11:00	22.8	4.0	16.7	0.7	70.9	0.3	1.4	0.4	0.4	0.6
06/05/2021 12:00	23.9	4.3	17.4	0.9	77.8	0.3	2.1	0.5	0.7	0.9
06/05/2021 13:00	16.2	2.6	12.3	0.5	93.2	0.2	0.7	0.3	0.3	0.5
06/05/2021 14:00	17.2	2.4	13.5	0.5	94.7	0.3	0.6	0.3	0.4	0.4
06/05/2021 15:00	18.8	2.4	15.2	0.5	94.2	0.3	0.9	0.3	0.3	0.4
06/05/2021 16:00	20.7	1.5	18.4	0.5	90.8	0.3	1.2	0.4	0.5	0.7
06/05/2021 17:00	21.8	1.3	19.8	0.5	80.9	0.2	1.4	0.5	0.6	0.9
06/05/2021 18:00	24.3	1.7	21.8	0.6	73.0	0.3	2.2	0.9	1.0	2.0
06/05/2021 19:00	24.0	1.5	21.8	0.6	66.2	0.3	2.9	1.0	1.0	2.1
06/05/2021 20:00	23.6	1.2	21.8	0.6	57.7	0.3	1.9	0.7	0.7	1.2
06/05/2021 21:00	22.3	1.4	20.3	0.6	59.1	0.4	1.4	0.5	0.6	0.9
06/05/2021 22:00	18.8	1.2	17.0	0.6	54.8	0.6	2.3	0.6	0.7	1.1
06/05/2021 23:00	16.5	0.9	15.1	0.6	52.2	0.3	1.4	0.4	0.6	0.7
07/05/2021 00:00	11.8	0.8	10.6	0.5	55.8	0.3	1.0	0.4	0.5	0.5
07/05/2021 01:00	9.9	0.8	8.6	0.5	60.6	0.4	0.8	0.4	0.4	0.5
07/05/2021 02:00	8.3	0.8	7.1	0.5	67.2	0.3	0.7	0.3	0.2	0.3
07/05/2021 03:00	7.7	0.8	6.4	0.5	66.7	0.4	0.7	0.2	0.3	0.3
07/05/2021 04:00	8.9	0.9	7.4	0.5	60.8	0.3	0.6	0.3	0.4	0.3
07/05/2021 05:00	9.6	1.0	8.0	0.5	56.0	0.4	0.7	0.3	0.4	0.4
07/05/2021 06:00	12.0	1.3	10.0	0.5	51.3	0.3	0.9	0.3	0.3	0.4
07/05/2021 07:00	18.6	2.9	14.2	0.5	44.2	0.5	1.1	0.4	0.5	0.6
07/05/2021 08:00	17.8	3.1	13.0	0.6	51.9	0.7	1.2	0.7	0.7	1.1
07/05/2021 09:00	19.1	3.5	13.7	0.5	65.9	0.4	1.6	0.4	0.4	0.6
07/05/2021 10:00	15.0	2.6	11.0	0.5	77.3	0.3	1.6	0.9	1.0	2.2
07/05/2021 11:00	12.2	2.0	9.1	0.5	86.2	0.3	0.8	0.4	0.5	0.8
07/05/2021 12:00	10.0	1.7	7.4	0.5	94.5	0.3	0.9	0.5	0.4	0.5
07/05/2021 13:00	11.7	1.9	8.8	0.5	101.2	0.5	0.7	0.4	0.3	0.4
07/05/2021 14:00	11.3	1.7	8.6	0.5	108.2	0.5	0.8	0.4	0.5	0.6
07/05/2021 15:00	10.3	1.3	8.3	0.4	113.0	0.3	1.0	0.6	0.7	1.2
07/05/2021 16:00	11.3	1.3	9.3	0.4	111.4	0.2	0.6	0.3	0.3	0.4
07/05/2021 17:00	7.1	1.3	5.1	0.4	99.4	0.3	0.5	0.3	0.3	0.4
07/05/2021 18:00	6.3	1.2	4.4	0.3	99.6	0.2	0.4	0.2	0.4	0.3
07/05/2021 19:00	8.6	1.7	6.1	0.3	93.0	0.2	0.7	0.2	0.3	0.3
07/05/2021 20:00	6.5	1.0	4.9	0.3	89.8	0.3	0.7	0.3	0.6	0.3
07/05/2021 21:00	7.1	1.5	4.8	0.3	85.9	0.2	0.3	0.2	0.2	0.2
07/05/2021 22:00	8.7	1.1	7.0	0.4	77.2	0.3	0.4	0.2	0.2	0.3
07/05/2021 23:00	6.4	0.8	5.1	0.4	79.9	0.1	0.4	0.2	0.2	0.3
08/05/2021 00:00	5.6	1.0	4.1	0.4	83.7	0.2	0.4	0.2	0.1	0.2
08/05/2021 01:00	7.8	1.4	5.7	0.4	72.6	0.2	0.6	0.3	0.2	0.4
08/05/2021 02:00	8.4	0.9	6.9	0.4	58.5	0.3	2.0	0.5	0.6	0.8
08/05/2021 03:00	9.2	0.8	7.9	0.4	57.8	0.2	1.7	0.5	0.6	0.8
08/05/2021 04:00	10.7	0.8	9.4	0.4	64.0	0.2	1.7	0.5	0.5	0.8
08/05/2021 05:00	10.9	0.8	9.7	0.5	61.3	0.2	1.5	0.4	0.4	0.6
08/05/2021 06:00	12.4	1.1	10.7	0.5	62.0	0.2	1.4	0.4	0.3	0.6
08/05/2021 07:00	15.4	1.6	13.0	0.5	61.3	0.3	0.9	0.3	0.4	0.6
08/05/2021 08:00	16.9	2.2	13.6	0.5	62.9	0.3	0.9	0.4	0.4	0.5
08/05/2021 09:00	14.2	2.2	10.7	0.4	73.0	0.2	1.1	0.3	0.3	0.4
08/05/2021 10:00	14.4	2.9	10.0	0.4	78.6	0.2	0.9	0.3	0.2	0.4
08/05/2021 11:00	14.7	3.2	9.8	0.4	80.7	0.3	0.7	0.3	0.3	0.4
08/05/2021 12:00	11.4	2.1	8.1	0.4	88.6	0.2	0.7	0.2	0.3	0.5
08/05/2021 13:00	10.9	2.1	7.7	0.4	95.6	0.3	0.5	0.2	0.2	0.3
08/05/2021 14:00	9.5	1.5	7.2	0.4	103.6	0.3	0.6	0.3	0.3	0.3
08/05/2021 15:00	11.1	1.7	8.6	0.4	107.3	0.2	0.4	0.2	0.2	0.3
08/05/2021 16:00	11.9	1.7	9.3	0.4	108.0	0.5	0.5	0.3	0.5	0.3
08/05/2021 17:00	8.2	1.2	6.4	0.4	113.4	0.2	0.5	0.3	0.2	0.3
08/05/2021 18:00	11.1	1.8	8.4	0.4	112.4	0.3	0.6	0.3	0.2	0.3
08/05/2021 19:00	15.0	1.2	13.1	0.4	106.1	0.3	0.6	0.3	0.4	0.3
08/05/2021 20:00	20.8	1.4	18.7	0.5	91.6	0.5	1.0	0.2	0.4	0.4
08/05/2021 21:00	27.1	1.0	25.5	0.5	56.1	0.5	2.2	0.6	0.7	1.1
08/05/2021 22:00	25.3	1.0	23.8	0.6	46.9	0.5	2.6	0.6	0.7	1.3
08/05/2021 23:00	19.0	0.9	17.6	0.5	49.9	0.4	1.7	0.5	0.7	0.8
09/05/2021 00:00	19.1	0.9	17.7	0.5	37.6	0.4	2.2	0.6	0.8	1.1
09/05/2021 01:00	20.0	0.9	18.6	0.6	36.2	0.4	1.9	0.5	0.7	0.8
09/05/2021 02:00	18.2	0.9	16.9	0.5	35.5	0.4	2.2	0.5	0.6	1.0
09/05/2021 03:00	17.9	0.9	16.6	0.5	42.0	0.4	1.8	0.5	0.5	0.9
09/05/2021 04:00	14.2	1.0	12.7	0.5	54.3	0.3	1.6	0.4	0.4	0.6

09/05/2021 05:00	11.9	0.9	10.5	0.5	48.0	0.2	1.4	0.4	0.4	0.6
09/05/2021 06:00	13.8	1.1	12.2	0.5	39.7	0.3	2.8	0.5	0.5	0.8
09/05/2021 07:00	14.4	1.6	11.9	0.5	45.9	0.4	1.5	0.3	0.4	0.6
09/05/2021 08:00	13.3	1.9	10.4	0.5	61.8	0.3	1.1	0.3	0.4	0.4
09/05/2021 09:00	11.8	1.9	8.9	0.5	80.9	0.2	1.0	0.4	0.3	0.5
09/05/2021 10:00	13.3	1.9	10.3	0.5	85.9	0.2	0.9	0.2	0.3	0.4
09/05/2021 11:00	13.4	2.0	10.4	0.5	94.7	0.2	0.8	0.3	0.2	0.4
09/05/2021 12:00	10.2	1.5	7.9	0.4	108.5	0.2	0.7	0.2	0.3	0.3
09/05/2021 13:00	8.9	1.2	7.1	0.4	118.0	0.3	0.4	0.2	0.2	0.3
09/05/2021 14:00	7.7	1.1	5.9	0.4	125.1	0.3	0.6	0.3	0.2	0.3
09/05/2021 15:00	8.9	1.3	6.9	0.4	126.3	0.4	0.6	0.2	0.3	0.3
09/05/2021 16:00	12.4	1.4	10.3	0.4	123.5	0.3	0.5	0.2	0.2	0.3
09/05/2021 17:00	12.2	1.2	10.3	0.4	120.8	0.2	0.5	0.2	0.3	0.4
09/05/2021 18:00	20.9	1.6	18.5	0.4	106.1	0.3	0.6	0.2	0.2	0.3
09/05/2021 19:00	15.1	1.1	13.4	0.4	111.1	0.3	0.7	0.3	0.4	0.3
09/05/2021 20:00	34.1	1.6	31.7	0.5	80.9	0.7	1.2	0.4	0.3	0.4
09/05/2021 21:00	24.9	1.0	23.4	0.5	77.4	0.9	1.3	0.3	0.4	0.6
09/05/2021 22:00	20.3	0.9	18.8	0.5	62.5	0.3	1.7	0.5	0.6	0.8
09/05/2021 23:00	16.0	0.9	14.7	0.5	68.0	0.3	1.3	0.4	0.4	0.7
10/05/2021 00:00	16.4	0.9	15.0	0.6	62.6	0.4	1.4	0.4	0.4	0.6
10/05/2021 01:00	17.6	0.8	16.3	0.6	55.4	0.4	1.5	0.4	0.4	0.7
10/05/2021 02:00	16.0	0.9	14.7	0.5	58.1	0.3	1.7	0.4	0.5	0.7
10/05/2021 03:00	11.4	0.9	10.1	0.4	70.6	0.2	1.7	0.3	0.5	0.6
10/05/2021 04:00	12.0	0.9	10.6	0.5	65.5	0.2	1.2	0.3	0.4	0.5
10/05/2021 05:00	16.4	0.9	15.1	0.4	53.5	0.2	1.9	0.4	0.6	0.7
10/05/2021 06:00	21.0	1.5	18.7	0.5	54.7	0.2	1.6	0.4	0.4	0.6
10/05/2021 07:00	30.3	2.7	26.1	0.5	54.1	0.2	1.5	0.4	0.5	0.6
10/05/2021 08:00	35.6	4.2	29.3	0.5	57.8	0.3	1.2	0.5	0.4	0.7
10/05/2021 09:00	42.1	4.1	35.8	0.5	49.9	0.3	2.0	0.7	0.7	1.2
10/05/2021 10:00	36.0	5.7	27.3	0.5	68.7	0.3	2.0	0.5	0.5	0.9
10/05/2021 11:00	32.0	4.9	24.6	0.5	79.5	0.3	1.8	0.4	0.5	0.8
10/05/2021 12:00	23.2	2.9	18.8	0.5	85.2	0.3	1.2	0.3	0.4	0.5
10/05/2021 13:00	28.0	10.8	11.7	0.5	92.4	0.3	1.1	0.4	0.3	0.4
10/05/2021 14:00	20.0	3.2	15.2	0.4	89.4	0.4	1.1	0.4	0.3	0.5
10/05/2021 15:00	19.6	2.1	16.5	0.5	89.2	0.3	2.5	0.4	0.4	0.6
10/05/2021 16:00	21.5	2.5	17.6	0.5	85.0	0.3	1.9	0.5	0.6	0.8
10/05/2021 17:00	21.8	2.4	18.1	0.5	84.6	0.3	1.5	0.5	0.6	0.8
10/05/2021 18:00	19.1	1.5	16.8	0.5	85.4	0.3	1.7	0.4	0.6	0.7
10/05/2021 19:00	26.1	1.3	24.0	0.5	76.5	0.3	1.2	0.3	0.6	0.6
10/05/2021 20:00	19.2	1.2	17.3	0.5	79.6	0.3	1.1	0.4	0.4	0.5
10/05/2021 21:00	16.3	1.0	14.8	0.6	71.2	0.3	1.1	0.3	0.4	0.5
10/05/2021 22:00	19.7	0.9	18.2	0.6	61.8	0.3	1.2	0.4	0.3	0.5
10/05/2021 23:00	11.4	0.9	10.0	0.6	58.7	0.3	1.3	0.4	0.3	0.5
11/05/2021 00:00	19.3	1.0	17.8	0.6	43.1	0.3	1.7	0.4	0.4	0.6
11/05/2021 01:00	18.3	0.9	16.9	0.6	52.2	0.3	1.5	0.4	0.4	0.5
11/05/2021 02:00	9.9	0.8	8.6	0.5	69.4	0.3	1.1	0.3	0.4	0.5
11/05/2021 03:00	11.0	0.9	9.7	0.5	70.2	0.2	1.1	0.3	0.3	0.6
11/05/2021 04:00	11.3	0.9	9.9	0.5	70.7	0.2	1.4	0.3	0.4	0.5
11/05/2021 05:00	11.8	1.1	10.1	0.5	75.1	0.2	1.4	0.3	0.2	0.4
11/05/2021 06:00	13.3	1.0	11.7	0.5	74.9	0.5	0.8	0.3	0.2	0.4
11/05/2021 07:00	19.6	1.6	17.2	0.5	70.7	0.3	0.6	0.3	0.3	0.4
11/05/2021 08:00	28.0	2.6	24.0	0.6	62.4	0.4	1.3	0.5	0.4	0.7
11/05/2021 09:00	32.8	3.5	27.5	0.6	55.7	0.3	1.4	0.4	0.5	0.8
11/05/2021 10:00	28.2	3.4	23.0	0.6	62.5	0.3	1.4	0.7	0.7	1.4
11/05/2021 11:00	30.2	3.4	24.9	0.5	60.2	0.2	1.7	0.5	0.5	0.9
11/05/2021 12:00	254.0	159.6	15.5	0.4	66.1	0.2	1.0	0.4	0.6	0.8
11/05/2021 13:00	23.0	2.5	19.1	0.4	67.9	0.2	0.8	0.4	0.5	0.6
11/05/2021 14:00	25.1	3.0	20.5	0.4	63.4	15.0	29.1	19.9	20.2	40.2
11/05/2021 15:00	23.1	2.8	18.8	0.4	67.9	0.2	1.2	0.3	0.3	0.8
11/05/2021 16:00	24.4	2.8	20.2	0.4	65.1	0.2	1.6	0.3	0.4	0.9
11/05/2021 17:00	21.1	2.4	17.4	0.4	68.6	0.2	1.5	0.4	0.4	0.9
11/05/2021 18:00	16.3	1.7	13.7	0.4	70.9	0.2	1.8	0.5	0.5	1.3
11/05/2021 19:00	16.1	1.4	13.9	0.4	63.5	0.2	1.3	0.4	0.5	1.1
11/05/2021 20:00	17.4	1.4	15.2	0.4	49.4	0.2	1.1	0.3	0.3	0.7
11/05/2021 21:00	11.7	1.1	9.9	0.4	62.2	0.4	0.8	0.3	0.2	0.4
11/05/2021 22:00	10.2	1.1	8.4	0.4	53.2	0.3	0.6	0.2	0.2	0.3
11/05/2021 23:00	8.4	1.0	6.8	0.4	44.1	0.4	0.5	0.2	0.2	0.3
12/05/2021 00:00	8.9	1.0	7.4	0.4	41.8	0.4	0.8	0.2	0.2	0.3
12/05/2021 01:00	9.2	1.0	7.7	0.4	43.4	0.2	0.6	0.2	0.2	0.3

12/05/2021 02:00	11.0	1.0	9.5	0.4	41.4	0.2	0.6	0.2	0.3	0.4
12/05/2021 03:00	15.3	1.0	13.8	0.4	32.5	0.2	0.8	0.2	0.2	0.4
12/05/2021 04:00	12.8	0.9	11.4	0.4	39.9	0.2	0.9	0.2	0.3	0.5
12/05/2021 05:00	17.8	1.1	16.1	0.4	34.9	0.3	0.8	0.2	0.3	0.3
12/05/2021 06:00	43.8	10.7	27.4	0.4	10.8	0.2	1.6	0.3	0.3	0.6
12/05/2021 07:00	69.7	25.4	30.8	0.5	11.9	0.3	2.7	0.3	0.3	0.8
12/05/2021 08:00	34.2	9.6	19.5	0.5	26.4	0.4	3.6	0.4	0.5	1.1
12/05/2021 09:00	28.5	7.6	16.9	0.5	34.3	0.3	2.2	0.4	0.3	0.8
12/05/2021 10:00	39.8	11.9	21.6	0.5	36.5	0.3	2.2	0.3	0.4	0.8
12/05/2021 11:00	46.4	13.9	25.2	0.5	34.5	0.3	2.9	0.3	0.4	0.8
12/05/2021 12:00	33.3	8.6	20.1	0.4	49.7	0.3	2.0	0.3	0.3	0.7
12/05/2021 13:00	24.9	5.1	17.1	0.4	67.7	0.2	1.3	0.3	0.3	0.5
12/05/2021 14:00	15.0	2.7	10.9	0.3	89.6	0.2	2.6	0.4	0.5	1.0
12/05/2021 15:00	12.4	2.1	9.2	0.3	105.4	0.2	0.9	0.3	0.3	0.5
12/05/2021 16:00	10.9	1.8	8.2	0.3	107.9	0.2	1.2	0.3	0.3	0.6
12/05/2021 17:00	11.8	1.9	8.9	0.3	105.9	0.2	6.3	0.3	0.3	0.6
12/05/2021 18:00	11.1	1.7	8.5	0.3	104.1	0.4	2.5	0.2	0.2	0.4
12/05/2021 19:00	12.6	1.7	10.0	0.3	100.2	0.3	1.5	0.2	0.2	0.4
12/05/2021 20:00	12.5	1.6	10.0	0.3	94.5	0.2	1.1	0.2	0.3	0.4
12/05/2021 21:00	16.2	1.1	14.5	0.3	80.0	0.2	0.9	0.2	0.2	0.4
12/05/2021 22:00	10.0	1.0	8.5	0.3	84.8	0.3	1.1	0.2	0.2	0.5
12/05/2021 23:00	9.2	1.1	7.6	0.3	84.8	0.2	0.7	0.2	0.1	0.3
13/05/2021 00:00	9.4	1.0	7.9	0.3	82.7	0.3	0.8	0.2	0.2	0.2
13/05/2021 01:00	10.8	1.0	9.3	0.3	77.6	0.3	0.6	0.2	0.2	0.3
13/05/2021 02:00	16.3	1.0	14.7	0.3	62.9	0.2	0.8	0.2	0.1	0.3
13/05/2021 03:00	7.7	1.0	6.2	0.3	68.7	0.2	0.7	0.2	0.1	0.3
13/05/2021 04:00	8.4	1.0	6.9	0.3	65.0	0.2	0.8	0.2	0.2	0.3
13/05/2021 05:00	17.7	1.1	15.9	0.3	46.9	0.2	0.7	0.3	0.2	0.4
13/05/2021 06:00	31.8	3.6	26.3	0.4	27.9	0.2	1.0	0.3	0.3	0.5
13/05/2021 07:00	59.1	15.2	35.8	0.4	18.2	0.2	1.4	0.3	0.3	0.5
13/05/2021 08:00	52.4	14.2	30.6	0.4	23.9	0.3	1.9	0.3	0.3	0.8
13/05/2021 09:00	32.3	7.3	21.2	0.4	48.5	0.3	1.6	0.2	0.3	0.6
13/05/2021 10:00	18.5	3.8	12.6	0.4	69.7	0.3	1.3	0.2	0.2	0.5
13/05/2021 11:00	14.1	2.9	9.7	0.3	78.4	0.3	1.3	0.3	0.3	0.6
13/05/2021 12:00	15.3	3.0	10.6	0.3	83.8	0.3	1.6	0.4	0.5	0.9
13/05/2021 13:00	14.3	2.9	9.8	0.3	93.9	0.2	0.9	0.3	0.3	0.5
13/05/2021 14:00	13.3	2.6	9.3	0.3	103.6	0.2	0.8	0.2	0.3	0.5
13/05/2021 15:00	9.5	1.8	6.7	0.3	106.4	0.2	0.6	0.3	0.3	0.5
13/05/2021 16:00	9.8	1.9	6.8	0.2	106.0	0.2	1.2	0.3	0.4	0.9
13/05/2021 17:00	10.6	1.9	7.6	0.2	99.8	0.2	0.5	0.2	0.2	0.5
13/05/2021 18:00	12.0	1.9	9.1	0.2	93.1	0.2	1.0	0.2	0.2	0.5
13/05/2021 19:00	12.0	1.4	9.8	0.3	88.3	0.3	0.7	0.3	0.2	0.5
13/05/2021 20:00	20.2	1.6	17.7	0.3	73.3	0.5	1.3	0.2	0.2	0.5
13/05/2021 21:00	17.6	1.3	15.6	0.4	73.3	0.4	1.8	0.3	0.4	0.8
13/05/2021 22:00	13.4	1.2	11.6	0.3	78.3	0.3	1.1	0.2	0.2	0.5
13/05/2021 23:00	9.6	1.1	7.9	0.3	75.4	0.3	1.1	0.3	0.2	0.4
14/05/2021 00:00	9.0	1.0	7.5	0.4	66.9	0.2	0.8	0.2	0.2	0.3
14/05/2021 01:00	12.7	1.0	11.1	0.3	59.1	0.2	0.9	0.2	0.2	0.4
14/05/2021 02:00	12.7	1.0	11.1	0.3	51.3	0.2	0.9	0.2	0.3	0.4
14/05/2021 03:00	12.4	1.0	10.8	0.3	43.5	0.3	0.9	0.2	0.2	0.5
14/05/2021 04:00	14.0	1.1	12.4	0.3	32.3	0.2	2.0	0.3	0.3	0.8
14/05/2021 05:00	15.4	1.2	13.6	0.3	26.6	0.2	1.8	0.3	0.3	0.7
14/05/2021 06:00	20.4	2.6	16.4	0.4	20.9	0.3	2.2	0.4	0.5	0.9
14/05/2021 07:00	29.5	5.4	21.2	0.4	30.5	0.3	1.9	0.3	0.4	0.8
14/05/2021 08:00	37.3	8.4	24.5	0.4	41.9	0.3	1.6	0.3	0.3	0.6
14/05/2021 09:00	22.9	4.5	16.1	0.4	64.4	0.2	1.5	0.3	0.3	0.5
14/05/2021 10:00	18.8	3.7	13.1	0.4	76.2	0.2	1.2	0.3	0.3	0.6
14/05/2021 11:00	16.6	3.2	11.8	0.3	84.2	0.2	1.4	0.3	0.3	0.7
14/05/2021 12:00	13.4	2.5	9.6	0.3	92.7	0.2	1.0	0.2	0.2	0.3
14/05/2021 13:00	13.7	2.6	9.7	0.3	97.8	0.3	0.8	0.2	0.1	0.3
14/05/2021 14:00	12.2	2.2	8.9	0.3	105.0	0.2	0.8	0.3	0.3	0.6
14/05/2021 15:00	13.8	2.3	10.3	0.3	103.4	0.3	1.0	0.3	0.3	0.5
14/05/2021 16:00	14.8	2.2	11.4	0.3	89.5	0.3	4.2	0.3	0.4	0.8
14/05/2021 17:00	15.2	2.0	12.1	0.3	89.2	0.2	0.6	0.2	0.2	0.3
14/05/2021 18:00	13.7	1.6	11.4	0.3	92.7	0.4	0.9	0.2	0.2	0.4
14/05/2021 19:00	14.8	1.8	12.0	0.3	91.1	0.3	0.7	0.2	0.1	0.4
14/05/2021 20:00	15.6	1.5	13.3	0.3	85.2	0.4	1.7	0.3	0.4	0.6
14/05/2021 21:00	19.0	1.2	17.2	0.3	71.2	0.3	1.0	0.3	0.3	0.6
14/05/2021 22:00	17.9	1.4	15.8	0.4	73.6	0.3	1.2	0.3	0.3	0.5

14/05/2021 23:00	18.2	1.0	16.6	0.4	53.8	0.2	1.1	0.2	0.2	0.4
15/05/2021 00:00	15.7	1.0	14.1	0.4	48.3	0.2	1.2	0.2	0.3	0.5
15/05/2021 01:00	18.3	1.1	16.6	0.4	34.0	0.2	1.8	0.3	0.3	0.7
15/05/2021 02:00	24.7	1.4	22.5	0.4	13.2	0.3	2.2	0.4	0.4	0.9
15/05/2021 03:00	26.7	1.4	24.5	0.4	10.7	0.2	2.3	0.3	0.3	0.7
15/05/2021 04:00	17.9	1.2	16.1	0.3	20.1	0.2	1.7	0.3	0.3	0.6
15/05/2021 05:00	20.2	1.5	18.0	0.4	18.0	0.3	1.5	0.2	0.3	0.5
15/05/2021 06:00	17.4	2.2	14.0	0.3	20.4	0.4	1.6	0.3	0.3	0.6
15/05/2021 07:00	25.6	5.0	18.0	0.4	24.4	0.2	1.2	0.3	0.3	0.6
15/05/2021 08:00	17.5	3.0	12.8	0.4	41.9	0.2	0.9	0.4	0.4	1.0
15/05/2021 09:00	21.6	3.6	16.1	0.4	55.1	0.2	1.1	0.3	0.4	0.6
15/05/2021 10:00	18.4	3.0	13.8	0.3	73.5	0.2	0.9	0.2	0.2	0.4
15/05/2021 11:00	15.3	2.7	11.1	0.3	78.5	0.3	2.6	0.3	0.3	0.5
15/05/2021 12:00	11.9	2.1	8.7	0.3	91.8	0.2	1.9	0.3	0.2	0.4
15/05/2021 13:00	8.3	1.6	5.8	0.3	102.4	0.2	0.6	0.2	0.2	0.2
15/05/2021 14:00	7.7	1.5	5.4	0.3	103.0	0.2	0.6	0.2	0.1	0.2
15/05/2021 15:00	7.9	1.6	5.4	0.3	107.1	0.3	0.5	0.2	0.2	0.2
15/05/2021 16:00	11.7	2.4	8.1	0.3	104.4	0.3	0.6	0.2	0.1	0.3
15/05/2021 17:00	12.8	1.5	10.6	0.3	90.7	0.3	0.6	0.2	0.2	0.3
15/05/2021 18:00	13.1	1.6	10.6	0.3	90.0	0.3	0.4	0.2	0.2	0.3
15/05/2021 19:00	20.4	1.8	17.6	0.4	68.5	0.3	0.6	0.2	0.2	0.3
15/05/2021 20:00	16.3	1.5	14.0	0.4	66.4	0.5	0.9	0.3	0.3	0.6
15/05/2021 21:00	11.3	1.2	9.5	0.4	64.3	0.3	0.8	0.2	0.1	0.3
15/05/2021 22:00	9.5	1.1	7.8	0.3	58.3	0.2	0.6	0.2	0.1	0.3
15/05/2021 23:00	9.5	1.1	7.8	0.4	49.8	0.6	0.6	0.2	0.2	0.3
16/05/2021 00:00	8.1	1.1	6.5	0.3	53.2	0.8	0.6	0.2	0.2	0.3
16/05/2021 01:00	6.7	1.1	5.1	0.3	58.4	0.2	0.6	0.2	0.2	0.3
16/05/2021 02:00	7.2	1.0	5.6	0.3	55.2	0.2	0.6	0.2	0.2	0.3
16/05/2021 03:00	6.5	1.1	4.8	0.3	49.1	0.2	0.5	0.2	0.2	0.3
16/05/2021 04:00	7.0	1.1	5.3	0.3	45.3	0.4	0.6	0.2	0.2	0.3
16/05/2021 05:00	6.7	1.1	5.0	0.3	48.9	0.4	0.5	0.2	0.2	0.3
16/05/2021 06:00	7.2	1.2	5.3	0.3	46.6	0.3	0.6	0.2	0.2	0.3
16/05/2021 07:00	8.9	1.9	6.0	0.3	46.6	0.3	0.9	0.2	0.2	0.3
16/05/2021 08:00	7.7	1.8	4.9	0.3	50.9	0.3	0.8	0.2	0.2	0.2
16/05/2021 09:00	6.8	1.6	4.4	0.3	72.4	0.2	0.3	0.2	0.1	0.2
16/05/2021 10:00	10.5	2.0	7.5	0.3	76.3	0.3	0.5	0.2	0.2	0.3
16/05/2021 11:00	10.4	1.9	7.4	0.3	80.6	0.4	0.5	0.2	0.1	0.2
16/05/2021 12:00	11.1	1.8	8.3	0.3	82.3	0.2	0.4	0.2	0.1	0.2
16/05/2021 13:00	11.3	1.7	8.7	0.3	80.8	0.2	0.6	0.2	0.1	0.2
16/05/2021 14:00	12.4	1.7	9.8	0.3	76.7	0.2	0.6	0.2	0.1	0.2
16/05/2021 15:00	15.2	2.3	11.6	0.3	76.3	0.3	0.6	0.2	0.2	0.3
16/05/2021 16:00	14.1	2.2	10.7	0.3	78.6	0.5	0.6	0.2	0.2	0.4
16/05/2021 17:00	23.6	3.1	18.9	0.4	66.4	0.2	0.4	0.2	0.3	0.3
16/05/2021 18:00	20.8	1.8	18.0	0.4	65.8	0.3	0.9	0.2	0.2	0.4
16/05/2021 19:00	14.7	1.3	12.7	0.4	69.0	0.3	1.1	0.3	0.2	0.4
16/05/2021 20:00	12.3	1.3	10.4	0.4	63.9	0.3	0.9	0.2	0.1	0.3
16/05/2021 21:00	13.0	1.2	11.2	0.4	57.3	0.2	1.1	0.2	0.3	0.4
16/05/2021 22:00	12.0	1.1	10.3	0.4	55.9	0.5	0.9	0.2	0.2	0.3
16/05/2021 23:00	9.0	1.1	7.4	0.4	61.3	0.3	0.7	0.2	0.2	0.3
17/05/2021 00:00	6.0	1.1	4.4	0.3	64.8	0.3	0.4	0.1	0.2	0.3
17/05/2021 01:00	6.7	1.1	5.0	0.3	66.6	0.3	0.6	0.2	0.1	0.3
17/05/2021 02:00	7.2	1.1	5.6	0.3	61.1	0.2	0.7	0.2	0.1	0.3
17/05/2021 03:00	8.4	1.1	6.8	0.4	50.6	0.2	0.9	0.2	0.2	0.3
17/05/2021 04:00	9.7	1.1	8.1	0.4	40.4	0.3	1.0	0.2	0.2	0.4
17/05/2021 05:00	21.1	1.5	18.8	0.4	25.3	0.2	1.2	0.2	0.3	0.5
17/05/2021 06:00	19.9	2.5	16.1	0.4	28.5	0.3	1.4	0.2	0.4	0.5
17/05/2021 07:00	22.2	4.5	15.4	0.4	34.8	0.3	1.3	0.2	0.3	0.4
17/05/2021 08:00	24.1	5.3	15.9	0.4	41.6	0.4	1.8	0.3	0.4	0.8
17/05/2021 09:00	25.3	5.6	16.8	0.4	51.3	0.4	1.2	0.2	0.3	0.5
17/05/2021 10:00	19.7	4.3	13.1	0.3	62.5	0.4	1.0	0.2	0.2	0.4
17/05/2021 11:00	6.0	1.5	3.7	0.3	88.7	0.2	0.7	0.2	0.1	0.3
17/05/2021 12:00	8.5	1.9	5.6	0.2	90.8	0.3	0.5	0.2	0.1	0.2
17/05/2021 13:00	15.1	2.9	10.7	0.3	91.3	0.3	0.7	0.2	0.2	0.3
17/05/2021 14:00	9.2	2.0	6.1	0.2	101.4	0.2	1.5	0.3	0.4	1.0
17/05/2021 15:00	6.9	1.6	4.5	0.2	104.7	0.2	0.5	0.2	0.1	0.2
17/05/2021 16:00	11.3	1.8	8.5	0.2	101.9	0.2	1.1	0.3	0.4	0.7
17/05/2021 17:00	11.4	1.7	8.8	0.2	100.4	0.3	0.8	0.2	0.3	0.7
17/05/2021 18:00	7.5	1.4	5.3	0.2	105.4	0.3	0.6	0.2	0.1	0.3
17/05/2021 19:00	8.2	1.3	6.2	0.2	103.3	0.2	0.5	0.2	0.2	0.2

17/05/2021 20:00	12.5	1.3	10.5	0.3	86.0	0.4	0.6	0.2	0.2	0.3
17/05/2021 21:00	19.2	1.2	17.4	0.3	56.6	0.4	0.9	0.2	0.3	0.5
17/05/2021 22:00	12.2	1.3	10.2	0.3	70.4	0.3	0.8	0.2	0.2	0.5
17/05/2021 23:00	5.9	1.1	4.2	0.2	80.1	0.3	0.4	0.2	0.1	0.3
18/05/2021 00:00	5.1	1.1	3.5	0.2	81.9	0.1	0.3	0.2	0.1	0.2
18/05/2021 01:00	6.1	1.1	4.4	0.2	77.2	0.3	0.4	0.2	0.1	0.2
18/05/2021 02:00	10.0	1.2	8.2	0.2	60.1	0.2	0.6	0.2	0.2	0.3
18/05/2021 03:00	12.7	1.1	11.0	0.3	45.8	0.2	3.2	0.4	0.4	0.9
18/05/2021 04:00	10.1	1.1	8.4	0.3	51.4	0.2	2.7	0.3	0.4	0.9
18/05/2021 05:00	11.6	1.5	9.4	0.3	57.5	0.2	1.2	0.2	0.3	0.5
18/05/2021 06:00	16.6	1.7	14.0	0.3	54.6	0.4	1.0	0.2	0.2	0.3
18/05/2021 07:00	20.0	3.4	14.8	0.3	57.2	0.2	0.7	0.2	0.3	0.3
18/05/2021 08:00	17.4	3.9	11.4	0.3	61.0	0.3	1.1	0.3	0.3	0.7
18/05/2021 09:00	20.6	4.6	13.6	0.3	62.6	0.2	0.5	0.2	0.2	0.4
18/05/2021 10:00	21.1	4.6	14.0	0.3	67.2	0.3	0.5	0.2	0.2	0.3
18/05/2021 11:00	25.8	5.8	16.9	0.5	70.2	0.2	0.9	0.2	0.2	0.3
18/05/2021 12:00	17.7	3.6	12.2	0.3	81.1	0.3	1.4	0.2	0.4	0.5
18/05/2021 13:00	12.0	2.6	8.1	0.2	93.7	0.2	0.8	0.2	0.3	0.3
18/05/2021 14:00	11.1	2.4	7.5	0.2	103.5	0.2	0.7	0.2	0.2	0.4
18/05/2021 15:00	8.4	1.8	5.8	0.2	111.3	0.2	0.8	0.3	0.3	0.6
18/05/2021 16:00	8.7	1.7	6.1	0.2	114.1	0.2	0.8	0.2	0.2	0.3
18/05/2021 17:00	14.4	1.7	11.9	0.2	106.2	0.4	1.5	0.3	0.2	0.5
18/05/2021 18:00	15.2	1.6	12.7	0.2	92.7	0.2	1.0	0.2	0.3	0.5
18/05/2021 19:00	12.9	1.5	10.6	0.3	85.6	0.2	0.9	0.2	0.2	0.3
18/05/2021 20:00	11.5	1.4	9.4	0.3	80.9	0.3	0.7	0.2	0.2	0.4
18/05/2021 21:00	20.8	3.1	16.1	0.3	82.6	0.2	0.5	0.2	0.2	0.2
18/05/2021 22:00	17.5	1.2	15.7	0.3	73.3	0.2	0.6	0.2	0.2	0.4
18/05/2021 23:00	6.4	1.1	4.7	0.3	90.8	0.2	0.4	0.1	0.1	0.2
19/05/2021 00:00	6.1	1.1	4.4	0.2	89.1	0.2	0.3	0.2	0.1	0.2
19/05/2021 01:00	5.9	1.1	4.2	0.2	87.5	0.2	0.3	0.2	0.1	0.2
19/05/2021 02:00	8.0	1.1	6.3	0.3	80.8	0.5	0.4	0.2	0.1	0.2
19/05/2021 03:00	9.5	1.1	7.8	0.3	76.1	0.2	0.5	0.2	0.1	0.2
19/05/2021 04:00	13.7	1.1	12.1	0.3	67.5	0.2	0.6	0.2	0.1	0.2
19/05/2021 05:00	11.6	1.2	9.7	0.3	70.4	0.1	0.6	0.2	0.1	0.2
19/05/2021 06:00	11.7	1.7	9.1	0.3	69.4	0.2	0.4	0.2	0.1	0.2
19/05/2021 07:00	16.7	2.6	12.6	0.3	68.4	0.2	0.4	0.2	0.1	0.3
19/05/2021 08:00	22.2	4.4	15.4	0.3	60.0	0.3	2.0	0.3	0.4	0.8
19/05/2021 09:00	16.7	3.5	11.3	0.3	70.8	0.2	1.2	0.3	0.3	0.5
19/05/2021 10:00	9.5	2.2	6.0	0.3	85.2	0.4	0.6	0.2	0.2	0.4
19/05/2021 11:00	6.1	1.6	3.6	0.2	94.1	0.2	0.6	0.2	0.2	0.2
19/05/2021 12:00	5.1	1.5	2.8	0.2	97.2	0.1	0.4	0.2	0.1	0.2
19/05/2021 13:00	6.1	1.7	3.5	0.2	99.0	0.2	0.3	0.2	0.1	0.2
19/05/2021 14:00	6.2	1.7	3.5	0.2	101.4	0.3	0.4	0.2	0.1	0.2
19/05/2021 15:00	5.4	1.4	3.3	0.2	101.3	0.2	0.2	0.2	0.1	0.2
19/05/2021 16:00	9.1	1.7	6.5	0.2	95.5	0.2	0.6	0.2	0.2	0.3
19/05/2021 17:00	10.2	2.1	7.0	0.2	99.4	0.2	1.0	0.2	0.2	0.4
19/05/2021 18:00	10.5	2.0	7.5	0.2	99.4	0.3	0.5	0.2	0.2	0.5
19/05/2021 19:00	11.5	1.7	8.9	0.2	93.0	0.3	0.6	0.2	0.2	0.3
19/05/2021 20:00	13.2	1.7	10.6	0.2	86.8	0.2	0.5	0.2	0.2	0.4
19/05/2021 21:00	7.1	1.2	5.3	0.2	88.2	0.2	0.4	0.2	0.1	0.2
19/05/2021 22:00	5.3	1.1	3.6	0.2	87.6	0.2	0.3	0.2	0.1	0.2
19/05/2021 23:00	6.8	1.5	4.5	0.2	84.0	0.4	0.5	0.1	0.1	0.2
20/05/2021 00:00	9.5	1.1	7.8	0.2	75.5	0.2	0.4	0.1	0.1	0.2
20/05/2021 01:00	9.1	1.1	7.4	0.3	74.2	0.2	0.6	0.2	0.2	0.3
20/05/2021 02:00	9.9	1.1	8.2	0.3	68.6	0.2	0.8	0.2	0.2	0.3
20/05/2021 03:00	19.9	1.2	18.2	0.3	50.1	0.2	1.0	0.2	0.2	0.5
20/05/2021 04:00	22.4	1.2	20.5	0.3	46.5	0.2	1.4	0.2	0.3	0.5
20/05/2021 05:00	17.3	1.8	14.5	0.3	63.9	0.3	1.3	0.3	0.3	0.5
20/05/2021 06:00	26.6	2.7	22.5	0.3	51.7	0.3	1.5	0.2	0.3	0.5
20/05/2021 07:00	16.0	2.6	12.0	0.3	74.0	0.4	0.8	0.2	0.2	0.4
20/05/2021 08:00	18.1	3.3	13.1	0.3	73.8	0.5	1.2	0.2	0.2	0.5
20/05/2021 09:00	6.3	1.7	3.7	0.3	88.5	0.2	0.6	0.2	0.2	0.3
20/05/2021 10:00	5.9	1.8	3.2	0.2	92.9	0.3	0.3	0.2	0.2	0.3
20/05/2021 11:00	6.5	1.8	3.7	0.2	94.8	0.1	0.4	0.2	0.1	0.2
20/05/2021 12:00	6.6	2.0	3.5	0.2	96.8	0.2	0.5	0.2	0.2	0.2
20/05/2021 13:00	6.7	1.9	3.8	0.2	99.0	0.3	0.3	0.2	0.2	0.2
20/05/2021 14:00	6.3	1.7	3.7	0.2	103.4	0.2	0.4	0.2	0.1	0.2
20/05/2021 15:00	7.1	1.7	4.5	0.2	107.1	0.1	0.6	0.2	0.1	0.2
20/05/2021 16:00	9.9	2.0	6.8	0.2	108.1	0.2	0.7	0.2	0.1	0.3

20/05/2021 17:00	9.3	1.8	6.5	0.2	112.8	0.2	0.6	0.2	0.2	0.3
20/05/2021 18:00	13.9	2.4	10.3	0.2	109.3	0.2	0.7	0.2	0.3	0.3
20/05/2021 19:00	15.9	1.7	13.3	0.2	102.7	0.3	1.1	0.2	0.3	0.5
20/05/2021 20:00	22.8	1.9	19.8	0.2	93.0	0.3	1.5	0.2	0.3	0.5
20/05/2021 21:00	25.8	1.2	24.0	0.3	81.1	0.3	1.9	0.3	0.3	0.6
20/05/2021 22:00	25.8	1.3	23.8	0.3	72.0	0.3	2.3	0.3	0.3	0.7
20/05/2021 23:00	20.7	1.2	18.8	0.3	72.8	0.3	3.1	0.3	0.5	1.0
21/05/2021 00:00	15.4	1.2	13.6	0.3	58.3	0.2	1.2	0.2	0.3	0.5
21/05/2021 01:00	17.0	1.2	15.1	0.3	46.2	0.3	2.4	0.2	0.3	0.6
21/05/2021 02:00	19.0	1.2	17.2	0.3	33.7	0.2	2.2	0.3	0.4	0.8
21/05/2021 03:00	19.9	1.2	18.0	0.3	24.7	0.3	2.8	0.4	0.5	1.0
21/05/2021 04:00	18.9	1.3	17.0	0.3	26.2	0.3	2.8	0.4	0.5	1.0
21/05/2021 05:00	19.4	1.3	17.5	0.3	33.5	0.2	1.9	0.3	0.3	0.6
21/05/2021 06:00	19.7	1.6	17.3	0.3	41.5	0.2	1.6	0.3	0.3	0.6
21/05/2021 07:00	40.9	4.1	34.6	0.4	39.6	0.2	1.7	0.3	0.3	0.6
21/05/2021 08:00	47.7	5.3	39.6	0.4	40.6	0.5	3.8	0.4	0.5	1.3
21/05/2021 09:00	29.0	4.0	22.8	0.3	75.1	0.3	2.0	0.3	0.4	0.8
21/05/2021 10:00	18.5	3.1	13.7	0.3	92.8	0.3	1.1	0.2	0.3	0.6
21/05/2021 11:00	17.9	3.1	13.1	0.3	98.0	0.2	1.1	0.3	0.2	0.5
21/05/2021 12:00	14.7	2.7	10.5	0.3	106.1	0.2	1.0	0.2	0.3	0.5
21/05/2021 13:00	15.7	2.3	12.2	0.3	108.4	0.3	0.7	0.2	0.2	0.3
21/05/2021 14:00	12.8	1.9	9.9	0.3	116.9	0.4	0.7	0.2	0.2	0.3
21/05/2021 15:00	11.0	1.9	8.1	0.3	113.4	0.3	1.7	0.3	0.3	0.6
21/05/2021 16:00	10.0	1.9	7.1	0.3	111.1	0.2	1.7	0.3	0.5	0.7
21/05/2021 17:00	10.8	2.0	7.7	0.3	107.1	1.5	18.1	1.5	2.4	7.6
21/05/2021 18:00	11.9	1.9	9.0	0.3	102.5	0.4	0.8	0.2	0.2	0.4
21/05/2021 19:00	13.3	1.9	10.4	0.3	96.1	0.4	1.0	0.2	0.2	0.4
21/05/2021 20:00	11.2	1.7	8.6	0.3	93.9	0.2	1.3	0.2	0.3	0.4
21/05/2021 21:00	9.0	1.3	7.0	0.3	92.3	0.3	1.1	0.3	0.2	0.4
21/05/2021 22:00	8.8	1.3	6.8	0.3	88.6	0.2	1.3	0.2	0.3	0.4
21/05/2021 23:00	12.2	1.3	10.2	0.3	83.1	0.2	0.6	0.2	0.2	0.2
22/05/2021 00:00	12.5	1.3	10.5	0.3	80.2	0.2	0.3	0.2	0.2	0.2
22/05/2021 01:00	10.0	1.4	7.9	0.3	80.9	0.3	0.3	0.2	0.1	0.2
22/05/2021 02:00	11.9	1.4	9.8	0.3	69.0	0.2	0.6	0.2	0.1	0.2
22/05/2021 03:00	6.7	1.1	5.0	0.3	69.0	0.2	1.0	0.2	0.2	0.3
22/05/2021 04:00	5.9	1.1	4.2	0.3	72.3	0.2	0.6	0.2	0.2	0.3
22/05/2021 05:00	4.8	1.2	3.0	0.3	83.4	0.1	0.3	0.2	0.1	0.3
22/05/2021 06:00	8.6	1.3	6.5	0.3	79.9	0.1	0.4	0.2	0.1	0.2
22/05/2021 07:00	16.4	1.8	13.6	0.3	65.0	0.1	0.5	0.2	0.1	0.3
22/05/2021 08:00	12.8	1.6	10.5	0.4	66.8	0.2	0.9	0.2	0.2	0.4
22/05/2021 09:00	14.4	2.1	11.1	0.4	64.8	0.2	1.2	0.2	0.2	0.4
22/05/2021 10:00	16.0	2.6	12.0	0.4	65.6	0.2	1.2	0.3	0.3	0.7
22/05/2021 11:00	17.0	2.9	12.6	0.3	71.5	0.2	1.0	0.3	0.2	0.6
22/05/2021 12:00	13.1	2.3	9.6	0.3	79.4	0.3	0.7	0.2	0.2	0.4
22/05/2021 13:00	15.1	2.1	12.0	0.3	80.3	0.3	0.7	0.2	0.2	0.3
22/05/2021 14:00	14.9	2.5	11.1	0.4	87.9	0.2	0.7	0.2	0.2	0.3
22/05/2021 15:00	12.0	2.2	8.7	0.3	94.6	0.2	0.6	0.2	0.2	0.3
22/05/2021 16:00	11.1	1.9	8.3	0.3	96.2	0.3	0.5	0.2	0.1	0.3
22/05/2021 17:00	10.7	1.8	7.9	0.3	98.2	0.3	0.6	0.2	0.2	0.3
22/05/2021 18:00	12.8	1.8	10.0	0.3	96.7	0.4	0.6	0.2	0.2	0.3
22/05/2021 19:00	21.0	2.1	17.8	0.3	86.0	0.3	0.5	0.1	0.1	0.3
22/05/2021 20:00	20.0	1.9	17.1	0.4	78.9	0.2	1.0	0.3	0.3	0.5
22/05/2021 21:00	22.8	1.4	20.7	0.4	64.7	0.3	1.4	0.3	0.3	0.6
22/05/2021 22:00	27.8	1.3	25.8	0.4	46.6	0.4	1.7	0.3	0.3	0.6
22/05/2021 23:00	27.1	1.6	24.6	0.5	38.0	0.4	2.6	0.3	0.4	0.9
23/05/2021 00:00	17.0	1.3	15.0	0.4	42.4	0.3	2.0	0.3	0.3	0.7
23/05/2021 01:00	11.1	1.2	9.2	0.4	57.3	0.3	1.2	0.2	0.3	0.5
23/05/2021 02:00	7.5	1.2	5.7	0.3	70.9	0.2	0.5	0.2	0.2	0.3
23/05/2021 03:00	8.3	1.2	6.4	0.3	68.7	0.3	0.4	0.2	0.1	0.2
23/05/2021 04:00	7.8	1.2	6.0	0.3	71.7	0.2	0.5	0.2	0.1	0.3
23/05/2021 05:00	6.0	1.2	4.2	0.3	74.6	0.3	0.5	0.2	0.1	0.2
23/05/2021 06:00	7.6	1.2	5.7	0.3	68.0	0.2	0.5	0.2	0.2	0.2
23/05/2021 07:00	8.1	1.7	5.5	0.3	66.6	0.3	0.5	0.2	0.1	0.3
23/05/2021 08:00	7.5	1.7	5.0	0.3	67.3	0.2	0.5	0.1	0.1	0.3
23/05/2021 09:00	7.8	1.8	5.0	0.3	78.8	0.2	1.1	0.2	0.1	0.2
23/05/2021 10:00	7.1	1.6	4.7	0.3	85.5	0.2	0.7	0.2	0.2	0.3
23/05/2021 11:00	7.7	1.7	5.1	0.3	90.5	0.2	0.4	0.2	0.1	0.3
23/05/2021 12:00	7.8	1.7	5.1	0.3	97.8	0.4	0.3	0.1	0.2	0.3
23/05/2021 13:00	5.1	1.4	2.9	0.3	102.3	0.3	0.5	0.1	0.1	0.1

23/05/2021 14:00	5.4	1.5	3.0	0.3	102.1	0.2	0.4	0.1	0.1	0.2
23/05/2021 15:00	6.0	1.5	3.8	0.3	106.8	0.2	0.4	0.1	0.2	0.2
23/05/2021 16:00	10.9	2.3	7.3	0.2	109.9	0.2	0.5	0.2	0.2	0.2
23/05/2021 17:00	8.9	1.7	6.3	0.2	113.6	0.2	0.4	0.2	0.1	0.2
23/05/2021 18:00	9.3	1.7	6.8	0.2	114.4	0.3	0.7	0.2	0.2	0.3
23/05/2021 19:00	12.8	1.7	10.2	0.2	109.2	0.2	0.5	0.2	0.2	0.3
23/05/2021 20:00	18.4	1.4	16.2	0.3	92.1	0.2	0.6	0.2	0.2	0.3
23/05/2021 21:00	24.3	1.2	22.4	0.4	52.4	0.4	1.7	0.3	0.4	0.7
23/05/2021 22:00	23.3	1.5	21.0	0.4	58.6	0.4	2.0	0.3	0.4	0.8
23/05/2021 23:00	20.7	1.4	18.7	0.4	62.6	0.4	1.5	0.3	0.3	0.6
24/05/2021 00:00	17.1	1.2	15.4	0.3	64.4	0.2	1.1	0.3	0.2	0.4
24/05/2021 01:00	14.4	1.2	12.5	0.3	53.3	0.2	1.4	0.3	0.3	0.6
24/05/2021 02:00	10.7	1.2	8.8	0.3	74.1	0.2	0.7	0.2	0.2	0.3
24/05/2021 03:00	8.8	1.2	7.0	0.3	73.5	0.2	0.6	0.2	0.2	0.3
24/05/2021 04:00	8.0	1.2	6.2	0.3	74.2	0.2	0.5	0.1	0.2	0.2
24/05/2021 05:00	10.9	1.3	8.8	0.3	68.3	0.2	0.6	0.2	0.1	0.3
24/05/2021 06:00	15.4	2.1	12.3	0.3	67.2	0.1	0.7	0.2	0.1	0.3
24/05/2021 07:00	21.8	2.4	18.2	0.3	60.5	0.3	0.5	0.2	0.2	0.3
24/05/2021 08:00	26.1	2.8	21.8	0.4	53.5	0.2	0.9	0.2	0.2	0.4
24/05/2021 09:00	25.8	2.5	22.0	0.4	49.1	0.2	1.1	0.3	0.3	0.6
24/05/2021 10:00	29.4	3.6	23.9	0.4	50.8	0.2	1.2	0.3	0.3	0.7
24/05/2021 11:00	21.6	2.6	17.5	0.4	67.4	0.2	1.0	0.4	0.4	1.1
24/05/2021 12:00	16.3	2.5	12.5	0.4	62.2	0.2	0.9	0.3	0.3	0.6
24/05/2021 13:00	14.8	2.5	11.0	0.4	65.5	0.3	1.0	0.3	0.3	0.6
24/05/2021 14:00	13.0	1.8	10.3	0.4	72.7	0.4	0.7	0.2	0.2	0.3
24/05/2021 15:00	12.6	1.6	10.1	0.4	65.8	0.4	0.8	0.2	0.2	0.4
24/05/2021 16:00	11.3	2.5	7.4	0.4	76.7	0.2	0.6	0.3	0.3	0.4
24/05/2021 17:00	10.3	1.9	7.4	0.4	74.2	0.4	0.4	0.3	0.3	0.6
24/05/2021 18:00	13.8	1.7	11.2	0.4	65.1	0.3	0.8	0.3	0.2	0.5
24/05/2021 19:00	25.0	2.6	21.0	0.4	53.9	0.3	0.7	0.2	0.2	0.5
24/05/2021 20:00	20.6	1.7	18.0	0.4	47.7	0.2	1.5	0.3	0.3	0.9
24/05/2021 21:00	21.3	1.3	19.3	0.4	44.1	0.3	2.2	0.4	0.4	1.0
24/05/2021 22:00	23.2	1.4	21.1	0.4	36.6	0.3	2.5	0.4	0.4	0.9
24/05/2021 23:00	21.6	1.5	19.2	0.4	31.0	0.3	8.8	0.5	0.6	1.5
25/05/2021 00:00	14.7	1.3	12.8	0.4	43.2	0.2	4.1	0.3	0.4	0.9
25/05/2021 01:00	12.6	1.3	10.6	0.4	37.1	0.2	2.9	0.4	0.4	0.9
25/05/2021 02:00	11.7	1.3	9.8	0.4	31.7	0.2	1.7	0.3	0.3	0.6
25/05/2021 03:00	13.7	1.4	11.6	0.4	25.5	0.2	4.1	0.3	0.4	1.0
25/05/2021 04:00	14.2	1.4	12.0	0.4	24.7	0.2	2.4	0.3	0.4	0.9
25/05/2021 05:00	18.2	2.4	14.6	0.4	25.9	0.2	3.1	0.3	0.3	0.7
25/05/2021 06:00	41.7	10.7	25.2	0.5	17.9	0.3	4.1	0.3	0.4	0.8
25/05/2021 07:00	40.6	9.5	26.1	0.5	23.7	0.4	3.1	0.3	0.4	1.0
25/05/2021 08:00	27.5	6.3	17.9	0.4	37.2	0.3	1.9	0.3	0.4	0.7
25/05/2021 09:00	20.5	4.6	13.5	0.4	57.6	0.3	1.2	0.3	0.3	0.6
25/05/2021 10:00	15.0	3.5	9.7	0.4	71.4	0.2	1.1	0.2	0.3	0.5
25/05/2021 11:00	11.2	2.5	7.3	0.3	79.9	0.2	0.8	0.2	0.2	0.3
25/05/2021 12:00	8.6	2.0	5.5	0.3	85.1	0.2	0.6	0.2	0.2	0.2
25/05/2021 13:00	6.1	1.8	3.4	0.2	95.7	0.2	0.5	0.2	0.1	0.2
25/05/2021 14:00	6.4	1.7	3.8	0.3	98.4	0.2	0.3	0.2	0.1	0.2
25/05/2021 15:00	6.8	1.7	4.2	0.3	102.8	0.2	0.5	0.2	0.2	0.2
25/05/2021 16:00	5.2	1.6	2.8	0.2	105.9	0.3	0.3	0.2	0.1	0.2
25/05/2021 17:00	7.8	1.8	5.0	0.2	105.1	0.2	0.5	0.2	0.1	0.2
25/05/2021 18:00	11.2	2.4	7.6	0.2	102.8	0.2	1.5	0.2	0.2	0.4
25/05/2021 19:00	10.6	2.0	7.5	0.2	102.4	0.2	1.1	0.2	0.2	0.3
25/05/2021 20:00	19.2	1.8	16.5	0.3	82.2	0.3	0.8	0.2	0.2	0.4
25/05/2021 21:00	22.4	1.6	19.8	0.3	48.9	0.4	2.9	0.4	0.6	1.2
25/05/2021 22:00	22.9	1.5	20.6	0.3	46.3	0.4	21.2	0.4	0.4	1.2
25/05/2021 23:00	20.6	1.3	18.6	0.3	47.3	0.3	3.8	0.3	0.5	1.0
26/05/2021 00:00	19.7	1.3	17.7	0.4	38.9	0.3	2.2	0.3	0.4	0.8
26/05/2021 01:00	18.7	1.3	16.6	0.3	37.3	0.2	2.0	0.3	0.4	0.7
26/05/2021 02:00	15.7	1.3	13.6	0.3	40.4	0.2	1.9	0.3	0.3	0.6
26/05/2021 03:00	18.7	1.4	16.6	0.3	38.9	0.2	2.4	0.4	0.4	1.1
26/05/2021 04:00	19.0	1.4	16.8	0.3	45.8	0.2	3.6	0.5	0.7	1.6
26/05/2021 05:00	18.7	1.4	16.5	0.3	45.6	0.2	2.7	0.5	0.5	1.3
26/05/2021 06:00	20.0	2.3	16.5	0.4	40.3	0.2	1.9	0.3	0.4	0.8
26/05/2021 07:00	25.6	4.2	19.2	0.4	47.7	0.3	1.7	0.3	0.3	0.7
26/05/2021 08:00	29.6	5.9	20.5	0.4	60.2	0.2	2.1	0.2	0.3	0.5
26/05/2021 09:00	30.9	6.4	21.1	0.4	62.0	0.2	2.4	0.3	0.3	0.6
26/05/2021 10:00	25.5	4.9	18.1	0.4	74.3	0.3	1.6	0.3	0.3	0.5

26/05/2021 11:00	21.1	3.9	15.0	0.3	84.5	0.3	1.4	0.3	0.2	0.5
26/05/2021 12:00	19.7	3.5	14.3	0.4	90.5	0.3	1.6	0.3	0.3	0.6
26/05/2021 13:00	17.5	3.2	12.6	0.4	102.2	0.3	0.9	0.2	0.2	0.4
26/05/2021 14:00	15.7	2.6	11.7	0.4	115.1	0.2	0.8	0.2	0.2	0.3
26/05/2021 15:00	14.0	2.3	10.5	0.3	123.5	0.2	1.1	0.3	0.3	0.4
26/05/2021 16:00	15.3	2.0	12.2	0.3	124.5	0.3	0.7	0.2	0.1	0.3
26/05/2021 17:00	19.2	2.6	15.2	0.3	119.9	0.3	0.8	0.2	0.2	0.3
26/05/2021 18:00	15.3	1.9	12.4	0.3	119.7	0.2	0.9	0.2	0.2	0.4
26/05/2021 19:00	15.1	1.9	12.2	0.3	115.9	0.2	1.3	0.2	0.2	0.4
26/05/2021 20:00	19.2	1.9	16.2	0.3	112.0	0.2	1.4	0.2	0.3	0.5
26/05/2021 21:00	25.1	1.3	23.1	0.4	77.5	0.3	1.5	0.4	0.4	0.7
26/05/2021 22:00	28.4	1.6	26.0	0.4	53.2	0.4	3.7	0.5	0.6	1.5
26/05/2021 23:00	16.2	1.9	13.3	0.3	74.4	0.3	1.9	0.3	0.3	0.8
27/05/2021 00:00	10.1	1.3	8.1	0.3	76.4	0.2	1.2	0.2	0.2	0.5
27/05/2021 01:00	11.0	1.3	9.0	0.3	49.4	0.2	1.2	0.3	0.4	0.6
27/05/2021 02:00	15.1	1.3	13.1	0.3	37.8	0.2	1.9	0.3	0.4	0.9
27/05/2021 03:00	16.4	1.4	14.4	0.4	33.2	0.2	2.5	0.3	0.4	0.8
27/05/2021 04:00	19.4	1.4	17.3	0.4	31.5	0.2	2.4	0.3	0.3	0.7
27/05/2021 05:00	17.6	1.3	15.6	0.4	37.2	0.2	2.0	0.3	0.3	0.6
27/05/2021 06:00	18.2	1.8	15.5	0.4	44.7	0.3	1.9	0.3	0.3	0.6
27/05/2021 07:00	28.6	4.9	21.0	0.4	48.3	0.3	1.7	0.3	0.3	0.7
27/05/2021 08:00	32.8	5.7	24.1	0.4	58.3	0.3	1.9	0.3	0.3	0.7
27/05/2021 09:00	52.0	10.9	35.3	0.4	54.0	0.3	3.0	0.3	0.3	0.7
27/05/2021 10:00	35.1	6.5	25.2	0.4	75.6	0.3	2.8	0.4	0.3	0.7
27/05/2021 11:00	18.5	3.2	13.6	0.3	95.1	0.2	1.3	0.3	0.3	0.7
27/05/2021 12:00	10.3	2.1	7.1	0.3	108.2	0.3	0.9	0.2	0.3	0.4
27/05/2021 13:00	13.0	2.5	9.2	0.3	109.5	0.4	0.7	0.2	0.1	0.3
27/05/2021 14:00	10.9	2.2	7.5	0.3	119.3	0.6	0.7	0.2	0.2	0.4
27/05/2021 15:00	11.6	2.0	8.5	0.3	127.9	0.3	1.0	0.3	0.3	0.5
27/05/2021 16:00	12.5	2.0	9.5	0.3	132.9	0.3	0.9	0.3	0.3	0.6
27/05/2021 17:00	11.5	2.0	8.4	0.3	126.5	0.3	1.1	0.2	0.2	0.4
27/05/2021 18:00	12.2	2.0	9.1	0.3	126.8	0.2	0.9	0.2	0.1	0.4
27/05/2021 19:00	13.0	1.7	10.4	0.3	129.7	0.4	0.6	0.2	0.2	0.4
27/05/2021 20:00	15.0	1.5	12.6	0.3	118.7	0.3	0.8	0.3	0.4	0.8
27/05/2021 21:00	25.0	1.3	22.9	0.4	89.4	0.7	0.9	0.2	0.3	0.6
27/05/2021 22:00	28.6	1.3	26.5	0.4	67.1	0.4	3.4	0.4	0.6	1.3
27/05/2021 23:00	19.8	1.4	17.7	0.4	74.2	0.3	1.8	0.3	0.4	0.7
28/05/2021 00:00	21.7	1.4	19.5	0.4	57.1	0.3	2.4	0.4	0.4	0.9
28/05/2021 01:00	15.4	1.2	13.5	0.4	69.3	0.3	2.2	0.3	0.3	0.7
28/05/2021 02:00	11.9	1.3	9.9	0.3	81.8	0.2	1.2	0.2	0.3	0.4
28/05/2021 03:00	12.8	1.3	10.8	0.3	76.5	0.2	1.5	0.2	0.2	0.3
28/05/2021 04:00	14.9	1.3	13.0	0.3	62.7	0.2	2.9	0.2	0.2	0.5
28/05/2021 05:00	13.7	1.3	11.7	0.3	76.3	0.2	2.4	0.3	0.2	0.6
28/05/2021 06:00	18.9	1.9	16.0	0.3	62.3	0.2	1.6	0.2	0.3	0.5
28/05/2021 07:00	24.0	3.2	19.0	0.4	61.6	0.3	1.7	0.3	0.4	0.7
28/05/2021 08:00	21.7	3.5	16.3	0.4	79.8	0.3	1.0	0.3	0.3	0.5
28/05/2021 09:00	17.1	2.9	12.6	0.3	92.1	0.3	0.8	0.3	0.2	0.3
28/05/2021 10:00	18.7	3.5	13.4	0.3	97.8	0.2	1.7	0.4	0.3	0.7
28/05/2021 11:00	16.3	2.8	12.0	0.3	105.8	0.2	1.2	0.3	0.3	0.6
28/05/2021 12:00	14.1	2.4	10.4	0.3	118.0	0.3	0.8	0.2	0.1	0.3
28/05/2021 13:00	16.0	2.4	12.2	0.3	123.6	0.2	1.1	0.2	0.2	0.4
28/05/2021 14:00	14.9	2.2	11.5	0.3	137.3	0.3	0.6	0.2	0.2	0.3
28/05/2021 15:00	14.6	1.9	11.6	0.3	149.3	0.3	0.7	0.3	0.2	0.3
28/05/2021 16:00	13.3	1.8	10.6	0.3	153.3	0.2	0.6	0.2	0.2	0.3
28/05/2021 17:00	15.5	2.1	12.3	0.3	148.1	0.3	0.5	0.2	0.2	0.3
28/05/2021 18:00	18.4	2.6	14.4	0.3	142.9	0.5	0.7	0.2	0.2	0.3
28/05/2021 19:00	19.6	2.9	15.2	0.4	135.8	0.4	0.8	0.2	0.2	0.4
28/05/2021 20:00	17.9	1.6	15.5	0.3	127.4	0.5	1.6	0.3	0.3	0.6
28/05/2021 21:00	21.8	1.3	19.8	0.3	96.7	0.3	1.7	0.3	0.3	0.6
28/05/2021 22:00	20.6	1.3	18.6	0.4	76.6	0.3	11.5	0.6	0.6	2.1
28/05/2021 23:00	28.0	1.4	25.9	0.4	62.5	0.3	44.2	0.7	0.6	2.6
29/05/2021 00:00	27.7	1.3	25.7	0.4	56.9	0.3	7.6	0.4	0.5	1.0
29/05/2021 01:00	19.5	1.4	17.2	0.4	76.7	0.3	4.6	0.4	0.4	0.9
29/05/2021 02:00	13.4	1.3	11.5	0.3	80.3	0.2	3.0	0.4	0.3	0.8
29/05/2021 03:00	11.2	1.3	9.3	0.3	80.4	0.2	2.3	0.3	0.2	0.5
29/05/2021 04:00	13.4	1.3	11.4	0.3	69.5	0.2	2.0	0.3	0.3	0.5
29/05/2021 05:00	16.1	1.3	14.1	0.4	65.0	0.2	1.9	0.3	0.3	0.6
29/05/2021 06:00	17.8	1.5	15.5	0.3	62.0	0.2	1.2	0.2	0.3	0.5
29/05/2021 07:00	23.4	2.3	19.9	0.3	62.8	0.2	1.8	0.3	0.3	0.6

29/05/2021 08:00	24.6	3.3	19.5	0.3	71.7	0.2	1.4	0.3	0.3	0.6
29/05/2021 09:00	23.0	3.6	17.5	0.4	80.1	0.3	1.2	0.3	0.3	0.5
29/05/2021 10:00	18.3	3.2	13.3	0.4	92.6	0.2	0.9	0.3	0.2	0.4
29/05/2021 11:00	16.8	3.1	12.0	0.3	100.5	0.2	0.8	0.2	0.2	0.4
29/05/2021 12:00	15.0	2.7	10.9	0.3	107.4	0.2	0.8	0.2	0.2	0.3
29/05/2021 13:00	15.9	3.3	11.0	0.3	115.2	0.3	0.6	0.2	0.2	0.2
29/05/2021 14:00	11.9	1.9	8.9	0.3	132.3	0.4	0.6	0.2	0.1	0.2
29/05/2021 15:00	9.9	1.6	7.5	0.3	145.3	0.4	0.6	0.2	0.1	0.2
29/05/2021 16:00	11.3	1.6	8.9	0.3	149.1	0.3	0.7	0.2	0.1	0.2
29/05/2021 17:00	11.3	1.6	8.9	0.3	149.7	0.3	0.4	0.2	0.1	0.2
29/05/2021 18:00	13.3	1.8	10.5	0.4	150.4	0.4	1.4	0.2	0.3	0.5
29/05/2021 19:00	15.0	1.6	12.5	0.3	142.6	0.2	0.5	0.1	0.2	0.2
29/05/2021 20:00	22.0	2.5	18.2	0.4	128.8	0.6	0.9	0.2	0.2	0.3
29/05/2021 21:00	14.5	1.3	12.5	0.3	125.8	0.6	1.0	0.2	0.2	0.4
29/05/2021 22:00	15.8	1.3	13.7	0.3	116.9	0.2	3.9	0.5	0.3	1.5
29/05/2021 23:00	14.1	1.3	12.1	0.3	107.2	0.2	4.4	0.6	0.4	1.9
30/05/2021 00:00	11.2	1.3	9.2	0.3	100.2	0.4	0.9	0.3	0.2	0.5
30/05/2021 01:00	9.1	1.3	7.2	0.3	95.3	0.3	0.6	0.2	0.2	0.3
30/05/2021 02:00	9.3	1.3	7.3	0.3	94.1	0.3	0.4	0.2	0.1	0.2
30/05/2021 03:00	9.5	1.3	7.5	0.3	88.6	0.2	0.7	0.2	0.1	0.2
30/05/2021 04:00	9.0	1.3	7.0	0.3	83.3	0.2	2.2	1.1	1.1	4.3
30/05/2021 05:00	8.2	1.3	6.2	0.3	83.4	0.2	3.1	2.7	2.8	11.6
30/05/2021 06:00	9.7	1.4	7.5	0.3	80.4	0.2	5.9	6.2	7.0	30.3
30/05/2021 07:00	8.3	1.6	5.8	0.3	82.8	0.3	1.1	0.8	1.0	3.8
30/05/2021 08:00	6.6	1.6	4.1	0.3	89.7	0.3	0.3	0.2	0.2	0.3
30/05/2021 09:00	7.1	1.7	4.5	0.3	94.3	0.3	0.7	0.2	0.2	0.3
30/05/2021 10:00	8.2	1.9	5.3	0.4	98.3	0.4	0.5	0.2	0.2	0.3
30/05/2021 11:00	8.3	1.8	5.6	0.3	104.2	0.2	0.6	0.3	0.3	0.3
30/05/2021 12:00	10.8	2.3	7.3	0.4	107.8	0.4	1.2	0.2	0.1	0.4
30/05/2021 13:00	8.0	1.8	5.2	0.3	116.5	0.3	0.6	0.2	0.2	0.2
30/05/2021 14:00	7.1	1.6	4.7	0.3	122.0	0.2	0.6	0.2	0.1	0.2
30/05/2021 15:00	8.2	1.6	5.7	0.3	125.3	0.2	0.7	0.2	0.1	0.3
30/05/2021 16:00	7.8	1.6	5.3	0.3	128.4	0.3	0.5	0.2	0.2	0.3
30/05/2021 17:00	8.8	1.6	6.3	0.3	130.3	0.3	0.8	0.2	0.3	0.4
30/05/2021 18:00	11.6	1.7	8.9	0.4	127.5	0.3	0.6	0.2	0.2	0.3
30/05/2021 19:00	20.8	1.9	17.9	0.4	111.1	0.4	0.7	0.2	0.2	0.3
30/05/2021 20:00	36.2	3.1	31.4	1.3	88.8	0.4	0.8	0.2	0.3	0.4
30/05/2021 21:00	26.7	1.5	24.4	0.4	86.7	1.1	3.6	0.4	0.5	1.3
30/05/2021 22:00	32.6	1.6	30.2	0.3	78.1	0.2	0.8	0.2	0.3	0.4
30/05/2021 23:00	19.3	1.4	17.2	0.3	85.3	0.2	1.0	0.2	0.2	0.4
31/05/2021 00:00	15.3	1.3	13.3	0.3	86.8	0.2	1.3	0.2	0.2	0.4
31/05/2021 01:00	11.8	1.3	9.9	0.3	90.4	0.2	0.7	0.2	0.2	0.3
31/05/2021 02:00	12.5	1.3	10.5	0.3	80.6	0.2	0.7	0.2	0.2	0.4
31/05/2021 03:00	9.2	1.3	7.3	0.3	86.9	0.3	0.5	0.2	0.2	0.3
31/05/2021 04:00	10.2	1.3	8.1	0.3	86.3	0.2	0.5	0.2	0.2	0.2
31/05/2021 05:00	8.9	1.3	6.8	0.3	89.3	0.2	0.3	0.2	0.1	0.2
31/05/2021 06:00	13.9	1.7	11.4	0.3	82.0	0.2	0.3	0.1	0.1	0.2
31/05/2021 07:00	21.1	2.1	17.8	0.3	76.0	0.4	0.4	0.2	0.2	0.3
31/05/2021 08:00	29.2	3.2	24.3	0.4	65.8	0.3	0.8	0.2	0.2	0.3
31/05/2021 09:00	27.2	3.5	21.7	0.4	67.1	0.2	0.8	0.2	0.2	0.4
31/05/2021 10:00	17.4	3.7	11.8	0.4	80.6	0.2	0.8	0.2	0.3	0.6
31/05/2021 11:00	14.3	3.2	9.4	0.3	88.8	0.3	0.7	0.3	0.3	0.5
31/05/2021 12:00	11.8	2.5	8.0	0.3	98.1	0.4	0.6	0.2	0.2	0.3
31/05/2021 13:00	10.3	2.2	7.0	0.3	108.9	0.2	0.5	0.2	0.2	0.2
31/05/2021 14:00	11.4	2.3	7.9	0.3	116.6	0.3	0.5	0.2	0.1	0.2
31/05/2021 15:00	12.6	2.2	9.3	0.3	121.8	0.2	0.9	0.2	0.1	0.3
31/05/2021 16:00	11.1	1.8	8.3	0.3	129.1	0.2	0.8	0.2	0.2	0.3
31/05/2021 17:00	13.2	1.9	10.3	0.3	132.8	0.3	0.6	0.2	0.2	0.3
31/05/2021 18:00	14.4	1.8	11.6	0.3	135.3	0.3	0.6	0.2	0.2	0.2
31/05/2021 19:00	16.7	1.7	14.1	0.3	130.9	0.2	0.5	0.2	0.2	0.2
31/05/2021 20:00	50.8	2.6	46.8	0.3	84.8	0.2	0.5	0.2	0.2	0.3
31/05/2021 21:00	36.1	1.4	34.0	0.4	85.8	0.3	0.9	0.2	0.2	0.4
31/05/2021 22:00	23.8	1.4	21.8	0.4	74.7	0.3	3.7	0.9	1.1	3.8
31/05/2021 23:00	19.8	1.4	17.7	0.4	70.1	0.2	3.8	1.2	1.3	4.9
01/06/2021 00:00	23.8	1.3	21.8	0.4	57.5	0.3	2.8	1.1	1.2	4.4
01/06/2021 01:00	21.4	1.4	19.3	0.4	62.0	0.3	2.4	0.3	0.5	0.8
01/06/2021 02:00	17.6	1.3	15.6	0.4	69.5	0.2	1.8	0.3	0.4	0.8
01/06/2021 03:00	16.1	1.3	14.1	0.4	69.2	0.2	1.6	0.3	0.4	0.6
01/06/2021 04:00	15.3	1.3	13.2	0.4	66.4	0.2	1.8	0.3	0.3	0.6

01/06/2021 05:00	16.1	1.4	14.0	0.4	60.1	0.2	1.6	0.3	0.3	0.6
01/06/2021 06:00	19.9	1.9	17.0	0.4	54.3	0.2	2.2	0.3	0.3	0.8
01/06/2021 07:00	30.4	4.0	24.2	0.5	48.2	0.2	2.2	0.3	0.4	0.8
01/06/2021 08:00	32.9	5.6	24.3	0.4	71.0	0.5	3.3	0.5	0.6	1.4
01/06/2021 09:00	28.8	4.5	21.9	0.4	87.3	0.2	1.3	0.3	0.3	0.5
01/06/2021 10:00	26.5	4.3	19.8	0.4	100.4	0.2	1.2	0.2	0.2	0.5
01/06/2021 11:00	20.5	3.2	15.6	0.3	117.0	0.2	1.0	0.2	0.2	0.3
01/06/2021 12:00	14.5	2.2	11.2	0.3	131.3	0.3	0.8	0.2	0.2	0.2
01/06/2021 13:00	14.9	2.2	11.5	0.3	137.7	0.2	0.5	0.2	0.2	0.3
01/06/2021 14:00	13.5	2.0	10.5	0.3	141.5	0.3	0.4	0.2	0.1	0.2
01/06/2021 15:00	13.4	1.9	10.5	0.3	146.8	0.3	0.5	0.2	0.2	0.3
01/06/2021 16:00	13.5	1.9	10.7	0.3	151.2	0.2	0.6	0.2	0.2	0.3
01/06/2021 17:00	12.5	1.8	9.8	0.3	148.6	0.3	0.6	0.2	0.1	0.2
01/06/2021 18:00	13.8	1.7	11.2	0.3	139.7	0.3	0.6	0.2	0.2	0.3
01/06/2021 19:00	18.1	1.9	15.2	0.3	132.9	0.4	1.5	0.3	0.2	0.4
01/06/2021 20:00	17.7	1.6	15.3	0.3	134.7	0.4	0.8	0.2	0.3	0.4
01/06/2021 21:00	18.0	1.7	15.5	0.4	133.1	0.2	0.9	0.2	0.2	0.4
01/06/2021 22:00	32.7	1.4	30.5	0.4	104.1	0.8	2.0	0.3	0.5	1.0
01/06/2021 23:00	25.8	1.5	23.5	0.3	99.7	0.2	0.8	0.2	0.2	0.4
02/06/2021 00:00	15.4	1.4	13.3	0.3	101.7	0.2	1.0	0.2	0.2	0.4
02/06/2021 01:00	15.0	1.4	12.9	0.3	92.7	0.2	1.2	0.3	0.3	0.7
02/06/2021 02:00	14.3	1.3	12.3	0.3	85.7	0.2	0.9	0.3	0.2	0.5
02/06/2021 03:00	12.9	1.3	10.9	0.3	86.5	0.2	0.8	0.3	0.3	0.8
02/06/2021 04:00	10.7	1.3	8.7	0.3	88.8	0.2	1.3	0.3	0.3	0.9
02/06/2021 05:00	10.7	1.4	8.7	0.3	87.8	0.2	0.9	0.2	0.2	0.4
02/06/2021 06:00	13.5	1.5	11.2	0.3	83.5	0.2	1.0	0.2	0.2	0.4
02/06/2021 07:00	13.6	1.5	11.2	0.4	79.4	0.2	0.8	0.2	0.2	0.4
02/06/2021 08:00	16.1	2.3	12.5	0.3	89.4	0.3	0.9	0.3	0.2	0.4
02/06/2021 09:00	15.1	2.3	11.6	0.3	99.4	0.4	0.9	0.2	0.2	0.4
02/06/2021 10:00	11.7	2.2	8.4	0.3	110.9	0.5	0.7	0.2	0.2	0.3
02/06/2021 11:00	10.1	1.9	7.2	0.3	120.2	0.2	0.6	0.2	0.2	0.2
02/06/2021 12:00	10.2	1.8	7.5	0.3	124.4	0.2	0.6	0.1	0.1	0.2
02/06/2021 13:00	9.1	1.7	6.4	0.3	132.8	0.3	1.2	0.2	0.2	0.5
02/06/2021 14:00	10.0	1.7	7.5	0.3	133.6	0.4	0.4	0.2	0.1	0.2
02/06/2021 15:00	11.3	1.8	8.6	0.3	122.5	0.3	0.5	0.2	0.1	0.3
02/06/2021 16:00	10.9	1.9	8.0	0.3	129.0	0.4	0.6	0.2	0.2	0.3
02/06/2021 17:00	10.3	1.5	8.0	0.3	132.0	0.2	0.6	0.2	0.2	0.3
02/06/2021 18:00	12.2	1.6	9.8	0.4	125.2	0.5	0.7	0.2	0.2	0.3
02/06/2021 19:00	15.1	1.7	12.5	0.4	116.0	0.6	0.8	0.2	0.2	0.3
02/06/2021 20:00	15.7	2.0	12.7	0.4	107.0	0.4	1.2	0.3	0.3	0.5
02/06/2021 21:00	18.1	1.4	15.9	0.4	92.5	0.3	0.9	0.2	0.3	0.4
02/06/2021 22:00	20.0	2.0	16.9	0.5	84.3	0.3	1.2	0.3	0.3	0.5
02/06/2021 23:00	17.5	1.4	15.3	0.4	79.5	0.3	1.4	0.3	0.3	0.6
03/06/2021 00:00	22.8	1.4	20.6	0.4	66.6	0.3	1.9	0.3	0.4	0.7
03/06/2021 01:00	17.4	1.5	15.1	0.4	66.7	0.3	1.6	0.3	0.3	0.7
03/06/2021 02:00	16.9	1.4	14.8	0.4	60.2	0.2	1.4	0.3	0.3	0.6
03/06/2021 03:00	15.3	1.4	13.2	0.4	55.0	0.3	2.0	0.3	0.3	0.8
03/06/2021 04:00	18.6	1.4	16.4	0.4	52.9	0.3	2.0	0.3	0.3	0.7
03/06/2021 05:00	19.3	1.6	16.9	0.4	48.5	0.2	1.7	0.2	0.3	0.6
03/06/2021 06:00	26.3	2.4	22.7	0.4	39.2	0.3	2.1	0.3	0.3	0.6
03/06/2021 07:00	25.8	3.2	20.9	0.5	47.7	0.3	1.8	0.3	0.3	0.6
03/06/2021 08:00	29.8	5.3	21.7	0.7	67.4	0.7	6.9	0.7	1.0	2.6
03/06/2021 09:00	25.0	3.8	19.2	0.5	87.0	0.3	1.2	0.3	0.2	0.6
03/06/2021 10:00	24.3	3.7	18.6	0.4	100.8	0.2	1.2	0.3	0.3	0.5
03/06/2021 11:00	15.9	2.6	11.9	0.4	115.8	0.4	1.2	0.3	0.3	0.6
03/06/2021 12:00	12.6	2.2	9.3	0.3	124.9	0.2	0.6	0.2	0.2	0.3
03/06/2021 13:00	14.4	2.9	10.0	0.3	129.8	0.2	0.6	0.2	0.1	0.2
03/06/2021 14:00	10.1	2.0	7.0	0.3	132.3	0.5	1.0	0.2	0.2	0.5
03/06/2021 15:00	10.5	1.9	7.6	0.3	137.7	0.2	0.6	0.2	0.2	0.2
03/06/2021 16:00	10.6	1.8	7.9	0.3	142.3	0.2	0.6	0.2	0.2	0.3
03/06/2021 17:00	13.0	2.1	9.9	0.3	135.9	0.2	1.4	0.2	0.3	0.4
03/06/2021 18:00	17.0	3.1	12.2	0.3	131.7	0.2	1.1	0.2	0.3	0.4
03/06/2021 19:00	15.6	2.3	12.0	0.3	128.1	0.3	1.1	0.2	0.3	0.3
03/06/2021 20:00	16.4	1.7	13.7	0.3	118.1	0.2	2.8	0.3	0.5	0.8
03/06/2021 21:00	22.9	1.5	20.6	0.4	90.5	0.3	1.2	0.4	0.3	0.6
03/06/2021 22:00	27.2	1.5	24.9	0.4	61.7	0.3	3.2	0.4	0.6	1.4
03/06/2021 23:00	28.5	1.7	25.9	0.4	70.4	0.3	5.2	0.4	0.5	1.3
04/06/2021 00:00	21.4	1.4	19.3	0.4	49.8	0.3	2.9	0.3	0.5	1.0
04/06/2021 01:00	15.9	1.4	13.7	0.4	53.4	0.3	2.4	0.3	0.4	1.0

04/06/2021 02:00	18.4	1.4	16.3	0.4	51.9	0.2	2.3	0.4	0.3	0.9
04/06/2021 03:00	18.0	1.4	15.9	0.4	49.0	0.2	1.8	0.4	0.4	0.8
04/06/2021 04:00	19.1	1.4	17.0	0.4	48.2	0.2	1.4	0.3	0.3	0.6
04/06/2021 05:00	21.8	1.5	19.5	0.4	50.4	0.2	1.2	0.3	0.3	0.5
04/06/2021 06:00	31.7	2.6	27.6	0.4	48.5	0.2	1.5	0.3	0.3	0.7
04/06/2021 07:00	36.9	3.4	31.7	0.5	46.0	0.3	2.1	0.3	0.4	0.8
04/06/2021 08:00	45.3	6.4	35.6	0.5	54.1	0.9	6.5	0.5	0.6	1.7
04/06/2021 09:00	46.2	6.9	35.6	0.4	63.9	0.3	2.9	0.3	0.4	0.8
04/06/2021 10:00	35.8	5.3	27.6	0.4	85.5	0.3	2.6	0.3	0.5	0.9
04/06/2021 11:00	19.6	3.1	14.9	0.3	108.6	0.2	1.2	0.2	0.3	0.5
04/06/2021 12:00	14.3	2.4	10.7	0.3	121.9	0.2	0.6	0.2	0.2	0.3
04/06/2021 13:00	11.4	2.0	8.4	0.3	142.2	0.2	0.6	0.2	0.1	0.2
04/06/2021 14:00	11.1	1.8	8.3	0.3	150.6	0.2	0.4	0.2	0.1	0.2
04/06/2021 15:00	9.3	1.6	6.8	0.3	150.2	0.1	0.6	0.2	0.1	0.2
04/06/2021 16:00	10.3	1.8	7.6	0.3	153.7	0.2	1.1	0.3	0.2	0.3
04/06/2021 17:00	12.3	1.9	9.3	0.3	146.5	0.3	1.0	0.2	0.2	0.5
04/06/2021 18:00	13.1	2.0	10.1	0.3	139.4	0.4	1.0	0.2	0.2	0.4
04/06/2021 19:00	13.2	1.8	10.4	0.3	138.4	0.3	0.7	0.2	0.2	0.3
04/06/2021 20:00	17.3	1.7	14.6	0.3	110.9	0.2	0.5	0.2	0.2	0.3
04/06/2021 21:00	16.1	1.6	13.7	0.3	85.8	0.4	1.5	0.3	0.3	0.5
04/06/2021 22:00	9.3	1.6	6.9	0.3	92.9	0.3	0.7	0.2	0.2	0.3
04/06/2021 23:00	14.7	1.6	12.3	0.3	82.7	0.4	0.7	0.2	0.2	0.4
05/06/2021 00:00	10.0	1.4	7.9	0.3	80.0	0.2	0.9	0.2	0.2	0.4
05/06/2021 01:00	10.3	1.4	8.2	0.3	73.5	0.2	0.7	0.3	0.2	0.5
05/06/2021 02:00	12.1	1.4	10.0	0.3	66.2	0.2	1.3	0.2	0.3	0.5
05/06/2021 03:00	14.2	1.4	12.0	0.4	55.9	0.2	1.0	0.2	0.3	0.4
05/06/2021 04:00	16.3	1.4	14.1	0.4	48.3	0.2	1.2	0.3	0.3	0.6
05/06/2021 05:00	20.9	1.5	18.6	0.4	40.9	0.2	2.1	0.3	0.3	0.7
05/06/2021 06:00	17.0	1.8	14.3	0.4	50.0	0.2	2.1	0.3	0.4	0.7
05/06/2021 07:00	19.2	2.5	15.4	0.5	56.4	0.2	2.1	0.3	0.3	0.7
05/06/2021 08:00	18.5	2.5	14.6	0.4	89.1	0.3	1.9	0.3	0.3	0.6
05/06/2021 09:00	12.0	2.1	8.8	0.3	110.5	0.2	1.1	0.2	0.2	0.4
05/06/2021 10:00	11.0	2.1	7.8	0.4	111.1	0.4	1.1	0.2	0.2	0.4
05/06/2021 11:00	13.1	2.1	9.9	0.4	108.7	0.5	4.5	0.6	1.0	2.5
05/06/2021 12:00	11.4	2.0	8.3	0.3	117.9	0.3	0.6	0.2	0.3	0.3
05/06/2021 13:00	9.4	2.0	6.4	0.3	125.5	0.2	0.5	0.2	0.2	0.3
05/06/2021 14:00	7.2	1.7	4.7	0.3	121.5	0.2	0.4	0.2	0.1	0.2
05/06/2021 15:00	8.9	1.9	5.9	0.3	122.7	0.2	0.6	0.2	0.2	0.4
05/06/2021 16:00	9.4	1.6	6.9	0.3	122.3	0.2	0.6	0.2	0.2	0.3
05/06/2021 17:00	9.9	1.6	7.5	0.3	109.2	0.3	0.9	0.2	0.2	0.3
05/06/2021 18:00	12.2	1.9	9.2	0.4	96.3	0.2	0.5	0.2	0.1	0.2
05/06/2021 19:00	17.9	2.1	14.6	0.5	62.6	0.7	1.0	0.2	0.3	0.4
05/06/2021 20:00	27.3	3.2	22.4	0.6	42.3	0.4	1.0	0.2	0.3	0.5
05/06/2021 21:00	29.5	1.8	26.7	0.6	30.9	0.4	2.5	0.4	0.3	1.0
05/06/2021 22:00	31.8	2.5	27.9	0.5	27.5	0.3	2.1	0.3	0.3	0.8
05/06/2021 23:00	25.4	2.9	20.9	0.5	32.8	0.3	2.1	0.3	0.4	0.8
06/06/2021 00:00	17.0	1.8	14.2	0.5	45.6	0.4	3.1	0.4	0.5	0.9
06/06/2021 01:00	13.1	1.7	10.5	0.4	52.3	0.3	1.3	0.3	0.3	0.6
06/06/2021 02:00	10.7	1.4	8.5	0.4	48.1	0.2	1.6	0.3	0.3	0.6
06/06/2021 03:00	12.7	1.5	10.4	0.4	41.9	0.2	1.5	0.2	0.2	0.5
06/06/2021 04:00	12.4	1.5	10.0	0.4	40.1	0.3	1.5	0.2	0.3	0.4
06/06/2021 05:00	11.6	1.6	9.2	0.4	35.5	0.3	1.2	0.3	0.3	0.4
06/06/2021 06:00	14.3	2.2	10.9	0.4	30.2	0.2	2.0	0.3	0.2	0.5
06/06/2021 07:00	13.0	2.7	8.9	0.4	44.3	0.2	1.5	0.2	0.3	0.4
06/06/2021 08:00	9.4	2.3	5.9	0.4	57.8	0.3	0.9	0.2	0.2	0.4
06/06/2021 09:00	9.4	2.3	5.9	0.4	74.7	0.4	0.7	0.2	0.2	0.3
06/06/2021 10:00	7.5	1.8	4.7	0.4	92.1	0.2	0.7	0.2	0.2	0.3
06/06/2021 11:00	6.8	1.7	4.1	0.4	102.6	0.3	0.7	0.2	0.1	0.3
06/06/2021 12:00	7.1	1.7	4.6	0.4	112.6	0.2	0.6	0.2	0.2	0.3
06/06/2021 13:00	7.2	1.6	4.7	0.4	122.5	0.1	0.6	0.2	0.2	0.2
06/06/2021 14:00	6.0	1.5	3.7	0.3	129.9	0.2	0.4	0.1	0.1	0.1
06/06/2021 15:00	7.0	1.6	4.6	0.3	135.1	0.2	0.5	0.1	0.1	0.2
06/06/2021 16:00	8.2	1.6	5.7	0.3	145.1	0.2	0.4	0.2	0.1	0.3
06/06/2021 17:00	10.4	2.0	7.3	0.3	150.0	0.4	0.5	0.1	0.1	0.1
06/06/2021 18:00	10.9	1.7	8.3	0.3	150.3	0.3	0.9	0.2	0.2	0.3
06/06/2021 19:00	12.9	1.7	10.4	0.3	128.9	0.3	0.6	0.2	0.2	0.3
06/06/2021 20:00	11.6	1.6	9.2	0.4	110.1	0.2	0.5	0.2	0.1	0.2
06/06/2021 21:00	9.0	1.5	6.7	0.4	99.5	0.2	0.5	0.1	0.1	0.2
06/06/2021 22:00	8.2	1.5	5.9	0.4	97.1	0.2	0.4	0.2	0.1	0.2

06/06/2021 23:00	8.4	1.5	6.1	0.4	92.2	0.2	0.7	0.2	0.1	0.3
07/06/2021 00:00	9.2	1.4	7.1	0.4	77.6	0.2	0.6	0.2	0.2	0.3
07/06/2021 01:00	8.9	1.4	6.8	0.5	64.3	0.2	0.6	0.2	0.2	0.3
07/06/2021 02:00	9.1	1.4	6.9	0.5	59.9	0.2	0.8	0.2	0.3	0.3
07/06/2021 03:00	10.9	1.5	8.6	0.4	55.9	0.2	1.3	0.2	0.2	0.4
07/06/2021 04:00	13.2	1.5	10.9	0.4	50.2	0.2	1.3	0.2	0.3	0.4
07/06/2021 05:00	10.7	1.5	8.4	0.4	54.6	0.2	0.9	0.2	0.3	0.3
07/06/2021 06:00	13.7	2.1	10.5	0.4	51.0	0.2	1.4	0.2	0.3	0.5
07/06/2021 07:00	21.3	3.0	16.6	0.5	46.4	0.3	1.5	0.2	0.3	0.5
07/06/2021 08:00	22.3	3.3	17.3	0.5	56.4	0.4	1.4	0.3	0.4	0.8
07/06/2021 09:00	12.5	2.4	8.9	0.4	91.4	0.2	1.2	0.3	0.2	0.5
07/06/2021 10:00	19.4	3.3	14.3	0.4	91.0	0.2	2.4	0.3	0.4	0.9
07/06/2021 11:00	202.5	126.2	13.1	0.4	101.1	0.2	1.6	0.3	0.3	0.6
07/06/2021 12:00	13.7	2.3	10.2	0.4	70.7	0.2	0.6	0.2	0.2	0.3
07/06/2021 13:00	21.8	3.1	17.1	0.5	95.1	0.2	1.0	0.3	0.2	0.4
07/06/2021 14:00	21.2	2.6	17.2	0.4	92.9	0.2	0.9	0.2	0.2	0.4
07/06/2021 15:00	17.9	1.9	15.0	0.5	87.7	0.2	1.0	0.2	0.3	0.4
07/06/2021 16:00	20.0	2.0	16.9	0.5	77.3	0.2	1.5	0.3	0.4	0.7
07/06/2021 17:00	19.5	3.0	15.0	0.5	83.9	0.3	2.7	0.5	0.7	1.7
07/06/2021 18:00	11.4	1.9	8.5	0.4	107.0	0.2	1.0	0.3	0.3	0.6
07/06/2021 19:00	11.0	1.6	8.5	0.4	105.7	0.2	0.7	0.2	0.3	0.3
07/06/2021 20:00	13.1	1.5	10.7	0.5	89.9	0.3	0.9	0.2	0.2	0.3
07/06/2021 21:00	17.1	1.5	14.8	0.5	78.2	0.5	0.9	0.2	0.3	0.3
07/06/2021 22:00	29.9	1.6	27.4	0.5	60.3	0.2	1.3	0.3	0.2	0.5
07/06/2021 23:00	20.1	1.5	17.8	0.4	51.7	0.2	1.5	0.3	0.3	0.5
08/06/2021 00:00	18.5	1.5	16.2	0.4	51.5	0.2	1.6	0.3	0.3	0.6
08/06/2021 01:00	16.9	1.5	14.6	0.4	55.5	0.2	1.5	0.3	0.3	0.6
08/06/2021 02:00	13.9	1.5	11.5	0.5	60.5	0.2	0.9	0.2	0.2	0.4
08/06/2021 03:00	12.8	1.6	10.4	0.5	41.0	0.2	1.3	0.3	0.3	0.5
08/06/2021 04:00	14.8	1.6	12.4	0.5	32.4	0.2	1.7	0.3	0.3	0.6
08/06/2021 05:00	14.3	1.8	11.6	0.5	28.4	0.2	1.9	0.3	0.3	0.6
08/06/2021 06:00	14.6	2.0	11.4	0.5	27.8	0.2	2.3	0.3	0.3	0.5
08/06/2021 07:00	16.8	2.8	12.5	0.5	35.5	0.2	1.6	0.3	0.3	0.5
08/06/2021 08:00	17.6	3.8	11.9	0.5	45.9	0.2	1.1	0.3	0.3	0.6
08/06/2021 09:00	17.5	3.6	11.9	0.5	61.2	0.3	1.0	0.4	0.4	1.0
08/06/2021 10:00	18.7	3.6	13.2	0.5	66.8	0.2	0.8	0.2	0.3	0.4
01/01/1900 00:00										
08/06/2021 12:00										
08/06/2021 13:00										
08/06/2021 14:00										
08/06/2021 15:00										
08/06/2021 16:00										
08/06/2021 17:00										
08/06/2021 18:00										
08/06/2021 19:00										
08/06/2021 20:00										
08/06/2021 21:00										
08/06/2021 22:00										
08/06/2021 23:00										
09/06/2021 00:00										

Allegato 2: Dati orari "periodo Invernale"

Parm	NOX	NO	NO2	CO	O3	BC	Benzene	Toluene	Etilbenzen	O-xylene	Mp-xylene
PtId	2	3	4	5	6	26	8	9	12	11	10
Unit	ug/m3 293K	ug/m3 293K	ug/m3 293K	ug/m3 293K	ug/m3 293K	ug/m3 293K	ug/m3 293K	ug/m3 293K	ug/m3 293K	ug/m3 293K	ug/m3 293K
Field	Aver	Aver	Aver	Aver	Aver	Aver	Aver	Aver	Aver	Aver	Aver
14/10/2021 01:00											
14/10/2021 02:00											
14/10/2021 03:00											
14/10/2021 04:00											
14/10/2021 05:00											
14/10/2021 06:00											
14/10/2021 07:00											
14/10/2021 08:00											
14/10/2021 09:00											
14/10/2021 10:00											
14/10/2021 11:00	13.6	3.8	7.8	2.0	7.8	0.2	68.2	80.3	92.6	92.6	92.7
14/10/2021 12:00	64.1	14.1	42.4	1.7	41.0	1.0	19.6	24.5	26.5	26.7	27.1
14/10/2021 13:00	41.1	8.1	28.7	1.5	58.5	1.1	0.3	1.3	0.3	0.4	0.7
14/10/2021 14:00	35.6	6.8	25.1	1.4	63.5	1.1	0.2	0.9	0.3	0.4	0.5
14/10/2021 15:00	33.7	5.6	25.1	1.3	65.5	1.1	0.2	1.0	0.4	0.3	0.6
14/10/2021 16:00	37.4	5.7	28.6	1.3	62.5	1.2	0.3	1.0	0.4	0.5	0.6
14/10/2021 17:00	38.0	4.8	30.6	1.3	57.2	1.2	0.2	1.3	0.3	0.6	0.9
14/10/2021 18:00	56.1	4.5	49.2	1.3	33.2	2.1	0.4	1.6	0.4	0.8	0.9
14/10/2021 19:00	82.4	15.2	59.1	1.5	5.6	5.1	0.6	3.1	0.4	0.7	1.5
14/10/2021 20:00	88.0	22.4	53.7	1.6	3.7	3.2	1.2	3.6	0.6	1.2	2.0
14/10/2021 21:00	61.9	10.9	45.2	1.5	4.8	5.1	1.0	3.0	0.6	1.2	2.1
14/10/2021 22:00	55.6	7.4	44.2	1.5	4.1	3.5	0.9	3.4	0.5	0.8	1.6
14/10/2021 23:00	39.1	3.7	33.4	1.4	11.1	2.7	0.7	2.7	0.5	0.7	1.4
15/10/2021 00:00	30.1	3.3	25.1	1.3	17.7	1.9	0.6	2.3	0.5	0.6	1.1
15/10/2021 01:00	28.8	3.0	24.2	1.2	16.3	1.6	0.5	1.9	0.4	0.7	1.0
15/10/2021 02:00	27.0	3.0	22.4	1.2	13.5	1.5	0.4	1.9	0.2	0.5	0.8
15/10/2021 03:00	24.8	3.1	20.0	1.2	16.0	1.3	0.4	1.9	0.5	0.4	0.8
15/10/2021 04:00	22.6	2.6	18.6	1.1	15.7	1.3	0.4	2.0	0.5	0.6	0.8
15/10/2021 05:00	21.4	3.0	16.7	1.1	17.8	1.1	0.4	1.9	0.4	0.5	0.8
15/10/2021 06:00	26.1	4.8	18.8	1.1	13.7	1.2	0.4	1.6	0.4	0.6	0.9
15/10/2021 07:00	35.9	6.5	25.9	1.2	8.4	1.6	0.4	2.0	0.3	0.6	1.2
15/10/2021 08:00	43.4	10.6	27.2	1.2	8.7	1.8	0.5	2.5	1.6	3.0	8.3
15/10/2021 09:00	49.2	14.7	26.7	1.2	10.8	1.7	0.6	3.9	1.6	2.5	6.7
15/10/2021 10:00	43.8	12.1	25.3	1.1	26.0	1.6	0.4	2.3	0.5	0.9	1.7
15/10/2021 11:00	35.7	8.2	23.2	1.1	43.8	1.3	0.3	1.4	0.4	0.6	1.1
15/10/2021 12:00	38.6	8.4	25.8	1.1	48.0	1.4	0.3	1.8	0.5	0.6	1.0
15/10/2021 13:00	30.2	6.4	20.5	0.7	61.4	1.2	0.4	1.5	0.3	0.3	0.6
15/10/2021 14:00	27.4	4.6	20.2	0.4	68.0	1.1	0.3	1.2	0.3	0.3	0.7
15/10/2021 15:00	27.0	4.1	20.6	0.4	71.9	1.0	0.4	2.1	0.5	0.7	1.3
15/10/2021 16:00	24.5	4.0	18.4	0.4	77.4	0.9	0.3	1.3	0.5	0.4	0.7
15/10/2021 17:00	32.2	4.2	25.8	0.5	67.2	1.2	0.4	1.5	0.3	0.3	0.7
15/10/2021 18:00	45.3	4.3	38.7	0.7	45.3	4.8	0.5	1.3	0.4	0.4	0.8
15/10/2021 19:00	82.3	11.8	64.3	1.0	12.0	6.8	3.1	4.1	0.6	1.0	1.7
15/10/2021 20:00	117.1	39.8	56.1	1.1	4.5	6.7	2.3	10.7	1.1	1.4	3.4
15/10/2021 21:00	80.1	20.3	49.0	1.0	5.1	6.5	1.8	4.2	0.8	1.2	2.2
15/10/2021 22:00	60.4	10.7	44.0	0.8	4.0	4.6	1.0	3.0	0.6	0.9	1.5
15/10/2021 23:00	43.9	5.1	36.1	0.7	6.6	2.4	1.0	2.8	0.5	0.7	1.3
16/10/2021 00:00	35.5	3.6	30.0	0.6	11.6	2.7	0.8	3.0	0.5	0.6	1.2
16/10/2021 01:00	31.0	3.5	25.6	0.6	12.3	2.4	0.6	2.4	0.5	0.5	1.0
16/10/2021 02:00	27.1	3.5	21.7	0.6	13.6	2.0	0.6	2.3	0.6	0.5	1.2
16/10/2021 03:00	25.0	3.4	19.7	0.5	13.3	1.7	0.5	2.1	0.4	0.7	0.9
16/10/2021 04:00	24.0	3.4	18.8	0.5	13.3	1.6	0.5	1.8	0.4	0.7	0.8
16/10/2021 05:00	21.6	3.4	16.4	0.5	12.1	1.4	0.5	1.9	0.5	0.6	1.1
16/10/2021 06:00	29.2	5.7	20.4	0.5	7.1	1.5	0.5	2.3	0.4	0.7	1.1
16/10/2021 07:00	43.2	12.7	23.7	0.5	3.5	1.6	0.6	2.8	0.4	0.7	1.3
16/10/2021 08:00	48.1	15.4	24.4	0.6	5.2	1.9	0.7	3.4	0.6	1.0	1.6
16/10/2021 09:00	55.8	19.0	26.7	0.6	8.6	2.3	0.8	5.2	1.2	1.5	3.7
16/10/2021 10:00	33.3	8.1	20.9	0.5	31.5	1.8	0.6	2.9	0.7	1.0	2.4
16/10/2021 11:00	26.2	5.9	17.1	0.4	47.4	1.5	0.4	1.4	0.5	1.0	0.8
16/10/2021 12:00	26.2	4.5	19.4	0.4	63.1	1.4	0.4	1.3	0.3	0.5	0.5

16/10/2021 13:00	32.6	5.5	24.2	0.4	65.8	1.6	0.4	1.3	0.3	0.3	0.6
16/10/2021 14:00	31.8	4.3	25.2	0.4	73.7	1.4	0.4	2.0	0.3	0.6	0.5
16/10/2021 15:00	42.5	6.5	32.5	0.4	67.6	1.7	0.4	1.9	0.4	0.5	0.6
16/10/2021 16:00	46.7	5.6	38.1	0.5	67.2	1.9	0.6	2.3	0.5	0.9	0.9
16/10/2021 17:00	39.6	4.2	33.1	0.5	67.8	1.6	0.5	1.6	0.3	0.5	0.7
16/10/2021 18:00	56.1	4.7	49.0	0.5	40.6	2.1	0.6	1.5	0.3	0.6	0.8
16/10/2021 19:00	84.0	13.1	64.0	0.7	6.1	5.7	1.1	3.6	0.7	0.7	1.4
16/10/2021 20:00	78.1	13.3	57.7	0.8	4.9	5.9	1.8	4.3	0.6	1.1	1.9
16/10/2021 21:00	60.4	9.1	46.4	0.7	5.2	4.6	1.3	4.5	0.7	1.3	1.9
16/10/2021 22:00	47.0	4.0	40.9	0.7	11.2	4.1	1.0	3.4	0.4	0.9	1.6
16/10/2021 23:00	37.6	3.4	32.5	0.6	17.6	3.1	0.9	2.9	0.5	0.7	1.2
17/10/2021 00:00	31.5	2.6	27.5	0.5	22.2	2.6	0.7	2.3	0.4	0.7	0.9
17/10/2021 01:00	28.6	2.6	24.6	0.5	25.7	2.0	0.6	2.1	0.4	0.5	0.8
17/10/2021 02:00	24.2	2.0	21.1	0.4	28.3	1.8	0.5	2.1	0.4	0.6	0.8
17/10/2021 03:00	21.8	2.4	18.2	0.4	30.5	1.6	0.4	1.8	0.4	0.7	0.8
17/10/2021 04:00	24.5	2.7	20.3	0.4	26.2	1.4	0.4	1.8	0.3	0.6	0.7
17/10/2021 05:00	25.5	2.8	21.2	0.4	15.7	1.4	0.5	2.0	0.4	0.5	0.9
17/10/2021 06:00	29.0	4.2	22.6	0.3	17.5	1.2	0.5	2.2	0.6	0.8	1.3
17/10/2021 07:00	39.4	7.0	28.6	0.4	12.7	1.8	0.4	1.6	0.4	0.8	1.0
17/10/2021 08:00	36.7	7.2	25.7	0.4	10.0	1.4	0.6	4.1	0.5	1.1	2.0
17/10/2021 09:00	31.0	6.7	20.7	0.4	22.2	1.5	0.5	2.2	0.6	0.6	1.0
17/10/2021 10:00	35.0	7.6	23.3	0.4	39.4	1.7	0.5	1.8	0.3	0.3	0.7
17/10/2021 11:00	32.7	6.9	22.0	0.4	48.5	1.5	0.4	1.8	0.2	0.3	0.7
17/10/2021 12:00	30.7	6.1	21.3	0.4	58.5	1.4	0.4	1.9	0.3	0.5	0.8
17/10/2021 13:00	34.0	5.8	25.1	0.4	65.8	1.6	0.4	1.5	0.4	0.4	0.6
17/10/2021 14:00	27.6	4.0	21.4	0.3	80.8	1.4	0.4	1.2	0.4	0.4	0.6
17/10/2021 15:00	19.9	3.8	14.0	0.3	91.1	1.0	0.4	0.8	0.3	0.4	0.5
17/10/2021 16:00	19.4	3.4	14.1	0.3	91.1	1.0	0.3	0.7	0.2	0.3	0.4
17/10/2021 17:00	24.7	3.4	19.4	0.3	84.2	1.1	0.5	1.1	0.4	0.4	0.7
17/10/2021 18:00	50.0	4.0	43.9	0.4	45.0	2.6	0.6	2.4	0.7	0.8	1.7
17/10/2021 19:00	75.9	11.9	57.6	0.6	8.9	3.7	1.0	4.1	0.7	1.0	2.1
17/10/2021 20:00	58.2	7.1	47.3	0.6	8.7	4.1	1.2	3.9	0.5	1.1	2.1
17/10/2021 21:00	46.5	3.9	40.6	0.5	9.0	3.9	0.8	2.9	0.5	0.7	1.3
17/10/2021 22:00	43.1	4.8	35.7	0.6	7.7	3.6	1.0	2.7	0.5	0.9	1.4
17/10/2021 23:00	28.8	3.1	24.1	0.5	20.6	2.7	1.0	2.7	0.5	0.8	1.3
18/10/2021 00:00	22.6	1.6	20.0	0.4	29.7	1.9	0.5	1.7	0.4	0.4	0.7
18/10/2021 01:00	22.4	2.0	19.4	0.3	28.1	1.8	0.5	1.6	0.3	0.5	0.7
18/10/2021 02:00	21.4	2.1	18.2	0.3	27.6	1.6	0.4	1.7	0.3	0.7	0.7
18/10/2021 03:00	18.9	2.2	15.5	0.3	27.1	1.3	0.4	1.4	0.4	0.9	0.7
18/10/2021 04:00	20.6	2.0	17.5	0.3	22.6	1.3	0.4	1.2	0.3	0.5	0.6
18/10/2021 05:00	23.1	3.1	18.4	0.3	15.3	1.3	0.4	1.5	0.3	0.4	0.8
18/10/2021 06:00	36.1	7.9	24.0	0.3	5.8	1.4	0.5	2.2	0.3	0.5	0.9
18/10/2021 07:00	66.4	24.4	28.9	0.4	2.9	2.0	0.6	2.7	0.5	0.8	1.4
18/10/2021 08:00	80.7	32.1	31.4	0.5	3.8	2.9	0.8	3.6	2.6	3.4	9.1
18/10/2021 09:00	88.7	34.3	36.1	0.6	7.6	2.8	1.1	3.5	0.9	1.4	2.9
18/10/2021 10:00	68.3	19.4	38.6	0.4	21.5	2.4	0.7	2.4	0.6	0.6	1.3
18/10/2021 11:00	69.4	17.0	43.3	0.4	33.5	2.6	0.6	3.8	0.3	1.3	1.8
18/10/2021 12:00	71.4	15.5	47.7	0.4	38.8	2.4	0.5	2.9	0.7	0.5	1.2
18/10/2021 13:00	69.3	12.0	50.9	0.4	51.7	2.3	0.6	4.2	0.4	0.8	1.1
18/10/2021 14:00	52.0	7.4	40.5	0.5	69.0	2.1	0.5	2.6	0.4	0.7	1.0
18/10/2021 15:00	39.0	4.6	32.0	0.3	81.7	1.7	0.6	2.9	0.4	0.7	1.6
18/10/2021 16:00	40.5	4.3	33.8	0.3	79.1	1.8	0.5	2.4	0.5	0.8	1.1
18/10/2021 17:00	45.8	3.8	40.0	0.3	71.5	2.0	0.4	1.7	0.4	0.7	0.9
18/10/2021 18:00	73.0	4.8	65.5	0.5	45.6	2.9	0.6	2.1	0.4	0.7	1.1
18/10/2021 19:00	108.6	21.1	76.2	0.6	4.4	4.4	1.1	6.2	0.5	1.3	2.8
18/10/2021 20:00	79.9	11.2	62.7	0.5	5.1	4.1	0.9	4.4	0.7	1.2	2.1
18/10/2021 21:00	64.0	6.3	54.4	0.5	6.5	5.2	0.9	3.5	0.8	1.0	1.8
18/10/2021 22:00	59.7	6.8	49.2	0.6	5.2	4.3	1.0	3.9	0.8	1.1	1.8
18/10/2021 23:00	59.7	7.0	49.1	0.6	4.4	2.7	1.0	3.6	0.7	1.1	1.7
19/10/2021 00:00	43.1	3.3	38.1	0.5	11.5	3.1	0.9	3.2	0.6	0.8	1.3
19/10/2021 01:00	30.0	2.3	26.5	0.4	21.0	2.3	0.6	2.4	0.5	0.5	1.0
19/10/2021 02:00	26.5	2.2	23.1	0.3	22.2	2.0	0.6	2.2	0.4	0.7	1.0
19/10/2021 03:00	25.2	2.2	21.9	0.3	22.3	1.7	0.5	1.7	0.3	0.5	0.9
19/10/2021 04:00	24.6	2.4	20.9	0.3	19.8	1.7	0.5	1.9	0.5	0.5	1.0
19/10/2021 05:00	30.2	5.3	22.1	0.3	18.0	1.8	0.5	2.1	0.4	0.5	1.0
19/10/2021 06:00	34.1	4.8	26.7	0.3	10.5	1.7	0.6	2.7	0.5	0.9	1.1
19/10/2021 07:00	51.0	11.2	33.8	0.4	4.2	2.4	0.6	2.4	0.6	0.7	1.1
19/10/2021 08:00	65.8	20.9	33.8	0.5	4.4	3.3	1.0	4.4	1.0	1.6	3.0
19/10/2021 09:00	82.7	28.0	39.7	0.5	7.4	2.7	0.7	28.4	0.7	1.0	2.1

19/10/2021 10:00	77.1	19.8	46.7	0.4	12.3	2.9	22.4	32.4	30.1	30.4	31.2
19/10/2021 11:00	80.1	18.8	51.2	0.4	20.1	3.0	23.2	32.0	31.6	32.0	32.8
19/10/2021 12:00	54.3	9.0	40.6	0.4	39.0	2.6	0.7	8.3	0.7	1.1	1.7
19/10/2021 13:00	50.2	8.3	37.4	0.3	49.2	2.4	0.6	4.2	0.5	0.7	1.1
19/10/2021 14:00	40.0	5.2	32.1	0.3	66.0	2.2	0.5	3.0	0.5	0.7	1.1
19/10/2021 15:00	37.1	4.4	30.4	0.3	71.6	2.0	0.5	2.2	0.4	0.6	0.8
19/10/2021 16:00	34.3	4.2	27.9	0.3	75.3	1.8	0.4	2.2	0.4	0.6	1.1
19/10/2021 17:00	41.5	3.6	36.0	0.3	56.1	2.1	0.5	2.3	0.4	0.6	1.0
19/10/2021 18:00	68.6	7.7	56.8	0.5	20.4	3.8	0.8	3.5	0.8	1.0	1.8
19/10/2021 19:00	88.9	16.3	63.9	0.6	5.3	4.6	1.3	4.8	1.4	1.9	4.5
19/10/2021 20:00	82.5	17.3	55.9	0.6	4.3	5.3	1.3	6.1	0.9	1.3	2.8
19/10/2021 21:00	66.8	12.0	48.4	0.6	4.1	5.4	1.2	5.2	0.7	1.1	2.0
19/10/2021 22:00	63.7	12.5	44.5	0.8	3.9	3.9	1.3	5.3	0.8	0.9	1.9
19/10/2021 23:00	53.6	8.6	40.4	0.6	4.0	3.7	1.2	4.8	0.7	1.0	1.8
20/10/2021 00:00	38.8	4.5	32.0	0.5	7.5	3.6	1.0	4.0	0.6	1.1	1.5
20/10/2021 01:00	30.4	3.3	25.3	0.4	11.1	2.6	0.8	2.8	0.4	0.7	1.1
20/10/2021 02:00	26.6	2.9	22.1	0.3	11.4	2.2	0.7	2.6	0.6	0.6	1.2
20/10/2021 03:00	25.2	3.1	20.5	0.3	11.4	1.9	0.6	2.3	0.4	0.7	1.0
20/10/2021 04:00	25.5	3.3	20.5	0.3	11.9	1.7	0.5	1.9	0.3	0.5	0.7
20/10/2021 05:00	29.9	4.3	23.3	0.3	11.2	1.2	0.5	1.9	0.3	0.6	0.9
20/10/2021 06:00	33.1	4.5	26.2	0.3	10.5	1.7	0.4	1.7	0.4	0.5	0.8
20/10/2021 07:00	57.2	15.3	33.7	0.4	3.2	4.9	0.6	2.7	0.6	1.1	1.6
20/10/2021 08:00	77.1	27.0	35.8	0.5	3.8	3.1	1.0	4.3	1.7	3.5	9.9
20/10/2021 09:00	91.0	33.4	39.8	0.6	5.8	3.3	1.0	3.2	1.6	1.4	4.7
20/10/2021 10:00	67.1	20.3	35.9	0.4	9.7	2.2	0.9	4.0	1.1	1.5	3.4
20/10/2021 11:00	46.6	9.7	31.7	0.3	27.5	2.2	0.6	2.5	0.7	1.0	1.8
20/10/2021 12:00	41.6	6.8	31.1	0.2	41.4	1.9	0.4	1.6	0.4	0.6	0.7
20/10/2021 13:00	34.6	5.7	26.0	0.2	59.6	1.5	0.4	1.2	0.3	0.5	0.7
20/10/2021 14:00	45.2	5.2	37.2	0.2	47.9	1.9	0.3	0.9	0.4	0.6	0.7
20/10/2021 15:00	86.4	14.0	65.0	0.4	18.1	3.6	0.8	7.9	1.5	2.6	5.7
20/10/2021 16:00	103.0	21.3	70.3	0.5	10.0	4.2	1.0	8.1	1.0	1.3	3.2
20/10/2021 17:00	110.3	22.7	75.5	0.6	5.6	4.7	1.1	7.7	1.1	1.5	3.1
20/10/2021 18:00	101.3	18.8	72.4	0.6	3.7	4.9	1.0	6.3	0.8	1.2	2.6
20/10/2021 19:00	103.4	22.7	68.7	0.6	3.3	5.3	1.4	7.3	0.9	1.4	2.5
20/10/2021 20:00	114.3	32.5	64.4	0.7	3.2	5.3	1.3	9.0	1.2	1.9	3.3
20/10/2021 21:00	113.1	32.8	62.8	0.7	3.1	6.1	1.5	9.2	0.9	1.2	2.5
20/10/2021 22:00	91.8	20.4	60.5	0.6	2.7	4.7	1.3	8.2	0.8	1.4	3.0
20/10/2021 23:00	62.8	5.8	53.9	0.4	6.8	3.2	0.9	5.8	0.8	1.1	2.5
21/10/2021 00:00	57.0	3.7	51.4	0.5	7.0	2.9	0.7	6.7	1.0	1.3	2.7
21/10/2021 01:00	52.4	3.9	46.4	0.4	9.0	2.8	0.8	6.3	0.8	1.1	2.8
21/10/2021 02:00	53.8	6.2	44.4	0.4	6.9	2.7	0.8	5.8	1.0	1.4	3.0
21/10/2021 03:00	93.2	24.3	56.0	0.5	2.6	3.8	1.0	7.3	0.8	1.4	3.1
21/10/2021 04:00	82.6	18.4	54.4	0.5	3.2	3.6	1.0	8.2	0.5	1.3	2.8
21/10/2021 05:00	44.1	7.7	32.4	0.2	35.1	1.6	0.7	4.7	0.6	0.9	1.8
21/10/2021 06:00	21.8	2.5	18.0	0.1	58.7	0.5	0.2	1.2	0.4	0.4	0.6
21/10/2021 07:00	36.3	4.0	30.1	0.1	43.3	0.9	0.2	1.1	0.3	0.5	0.6
21/10/2021 08:00	40.9	4.2	34.4	0.2	34.7	0.7	0.3	1.4	0.5	0.5	0.7
21/10/2021 09:00	43.0	5.7	34.3	0.2	26.1	1.2	0.4	1.7	0.6	0.8	1.4
21/10/2021 10:00	46.5	6.1	37.1	0.2	22.6	1.4	0.4	3.1	0.7	0.9	2.7
21/10/2021 11:00	42.5	6.8	32.1	0.3	23.9	1.4	0.4	1.6	0.3	0.6	1.2
21/10/2021 12:00	43.5	6.3	33.8	0.2	35.4	1.6	0.4	2.2	0.7	1.0	2.3
21/10/2021 13:00	45.9	6.3	36.2	0.2	39.4	1.3	0.3	1.9	0.3	0.7	1.0
21/10/2021 14:00	45.4	5.8	36.5	0.1	41.8	1.4	0.3	2.1	0.5	0.7	1.2
21/10/2021 15:00	35.9	4.3	29.3	0.2	49.1	1.3	0.3	2.2	0.7	1.0	1.5
21/10/2021 16:00	39.4	5.4	31.1	0.2	47.6	1.4	0.3	1.5	0.5	0.7	1.3
21/10/2021 17:00	51.3	6.1	42.0	0.3	34.8	1.8	0.4	2.1	0.6	0.8	1.4
21/10/2021 18:00	81.2	12.6	61.8	0.4	9.1	3.0	0.7	3.8	0.7	1.3	2.3
21/10/2021 19:00	118.7	36.4	62.9	0.7	3.7	6.4	1.4	5.5	0.9	1.4	2.7
21/10/2021 20:00	115.2	36.8	58.8	0.9	4.0	8.0	2.1	8.0	0.9	1.7	3.6
21/10/2021 21:00	120.4	42.6	55.1	0.9	3.6	4.8	2.0	9.3	1.4	2.0	4.5
21/10/2021 22:00	78.8	20.0	48.1	0.7	3.2	5.4	1.5	7.2	1.0	1.7	4.1
21/10/2021 23:00	63.5	15.8	39.2	0.5	3.0	4.4	1.4	7.8	1.0	1.9	3.7
22/10/2021 00:00	62.1	16.1	37.4	0.5	2.8	2.9	1.2	8.9	1.5	2.4	5.1
22/10/2021 01:00	44.8	8.8	31.4	0.4	2.9	3.3	1.1	5.7	0.8	1.1	2.2
22/10/2021 02:00	40.4	7.9	28.3	0.3	2.9	2.4	0.8	4.3	0.6	1.1	1.8
22/10/2021 03:00	31.2	4.7	23.9	0.2	5.3	1.7	0.6	3.1	0.6	0.8	1.4
22/10/2021 04:00	35.2	9.2	21.1	0.2	6.4	1.5	0.8	2.3	0.6	0.6	1.2
22/10/2021 05:00	23.2	3.9	17.3	0.1	17.0	0.9	0.4	1.1	0.3	0.5	0.7
22/10/2021 06:00	82.6	32.6	32.6	0.2	4.2	2.0	0.4	2.4	0.7	1.0	1.6

22/10/2021 07:00	105.1	46.6	33.6	0.4	2.9	3.1	0.8	5.3	1.0	1.4	2.8
22/10/2021 08:00	84.8	34.9	31.3	0.4	3.7	1.9	1.0	6.0	0.8	1.4	2.6
22/10/2021 09:00	63.8	22.8	28.9	0.3	8.8	1.8	0.7	4.3	0.6	1.1	2.0
22/10/2021 10:00	55.0	18.5	26.7	0.2	15.8	1.5	0.4	2.3	0.7	0.8	1.6
22/10/2021 11:00	329.7	193.6	35.7	1.4	20.3	1.7	0.5	3.3	0.5	0.9	1.7
22/10/2021 12:00	58.1	15.0	35.1	0.6	31.6	1.6	0.4	3.3	0.4	0.6	0.9
22/10/2021 13:00	44.3	9.6	29.6	0.5	44.7	1.4	16.2	32.2	21.8	21.8	43.8
22/10/2021 14:00	37.0	7.8	25.0	0.5	57.5	1.1	0.6	1.7	0.7	1.0	1.4
22/10/2021 15:00	38.6	7.9	26.4	0.5	58.5	1.0	0.6	2.0	0.6	0.7	1.1
22/10/2021 16:00	32.4	5.5	24.1	0.5	61.4	0.8	0.4	2.7	1.1	1.4	2.8
22/10/2021 17:00	38.7	4.8	31.4	0.5	54.3	1.2	0.4	1.6	0.5	0.8	1.3
22/10/2021 18:00	81.0	10.1	65.5	0.8	17.5	1.7	0.7	2.8	1.7	1.5	6.3
22/10/2021 19:00	111.8	31.4	63.7	0.9	3.7	4.0	1.5	6.2	1.4	2.3	4.9
22/10/2021 20:00	77.7	17.9	50.2	0.8	3.5	3.8	1.3	4.5	1.1	1.6	3.5
22/10/2021 21:00	64.4	14.4	42.3	0.7	3.6	3.3	1.1	3.9	1.1	1.4	2.9
22/10/2021 22:00	43.7	5.3	35.6	0.7	6.3	2.8	0.8	3.4	0.9	1.1	1.9
22/10/2021 23:00	42.5	4.2	36.1	0.7	6.7	1.8	0.8	2.8	0.6	0.8	1.4
23/10/2021 00:00	31.5	3.7	25.9	0.6	13.9	1.7	0.6	2.2	0.5	0.5	1.1
23/10/2021 01:00	26.0	2.9	21.6	0.5	16.0	1.4	0.5	1.9	0.4	0.6	0.9
23/10/2021 02:00	24.9	3.2	20.0	0.5	15.8	1.2	0.4	1.9	0.5	0.4	0.9
23/10/2021 03:00	21.6	2.8	17.2	0.5	16.3	1.1	0.4	1.5	0.6	0.4	0.9
23/10/2021 04:00	21.7	2.8	17.4	0.5	16.6	1.0	0.4	1.4	0.4	0.5	0.8
23/10/2021 05:00	23.9	4.2	17.4	0.4	18.4	0.9	0.4	1.6	0.4	0.4	0.8
23/10/2021 06:00	28.9	4.2	22.5	0.4	16.3	0.9	0.3	1.2	0.4	0.4	0.7
23/10/2021 07:00	32.3	5.3	24.1	0.4	15.3	0.8	0.4	1.3	0.4	0.6	0.8
23/10/2021 08:00	45.5	14.2	23.7	0.4	17.8	0.8	0.3	1.3	0.4	0.4	0.8
23/10/2021 09:00	57.4	21.9	23.7	0.5	21.8	1.1	0.4	1.6	0.5	0.7	1.1
23/10/2021 10:00	63.9	24.9	25.8	0.5	20.7	1.2	0.6	2.0	0.5	0.9	1.4
23/10/2021 11:00	67.3	25.1	28.8	0.5	21.3	1.4	0.6	2.9	1.3	1.5	3.9
23/10/2021 12:00	70.7	25.8	31.2	0.6	27.2	1.8	0.4	2.4	0.6	0.7	1.6
23/10/2021 13:00	64.6	22.5	30.1	0.5	35.7	1.2	0.4	2.4	0.6	0.4	0.9
23/10/2021 14:00	53.5	19.1	24.2	0.5	49.6	1.5	0.5	1.7	0.6	0.3	0.8
23/10/2021 15:00	57.7	18.3	29.7	0.6	50.2	1.7	0.4	1.5	0.5	0.5	0.7
23/10/2021 16:00	59.8	16.5	34.6	0.6	46.3	1.7	0.5	2.3	0.6	0.6	1.0
23/10/2021 17:00	71.0	17.4	44.3	0.7	34.3	2.0	0.7	2.7	0.6	0.6	1.0
23/10/2021 18:00	127.5	37.5	70.1	1.0	6.0	4.3	1.1	5.4	0.9	1.1	2.4
23/10/2021 19:00	170.7	67.3	67.5	1.2	4.3	5.0	2.2	9.1	1.4	1.9	4.0
23/10/2021 20:00	164.4	74.6	49.9	1.3	4.3	7.8	2.3	9.6	1.4	2.0	4.2
23/10/2021 21:00	121.2	52.7	40.4	1.3	5.1	8.1	2.9	9.7	1.3	1.9	4.4
23/10/2021 22:00	85.6	27.1	44.0	0.9	3.5	5.6	1.7	5.1	0.8	1.0	2.0
23/10/2021 23:00	84.7	27.9	42.0	1.0	3.5	4.5	1.3	5.0	0.8	1.1	2.0
24/10/2021 00:00	56.6	15.2	33.3	0.8	5.4	3.2	1.1	4.0	0.6	0.9	1.6
24/10/2021 01:00	48.4	13.7	27.4	0.7	9.2	2.5	1.2	5.2	0.9	1.3	2.7
24/10/2021 02:00	41.0	11.8	22.8	0.6	15.4	1.3	0.7	2.4	0.6	0.6	1.2
24/10/2021 03:00	38.5	11.5	20.9	0.6	17.0	1.5	0.5	1.8	0.6	0.5	0.9
24/10/2021 04:00	40.9	11.3	23.5	0.6	14.2	1.8	0.6	2.0	0.4	0.6	0.9
24/10/2021 05:00	40.9	11.4	23.4	0.6	20.8	1.6	0.5	2.2	0.6	0.7	1.2
24/10/2021 06:00	36.8	11.3	19.4	0.5	26.7	1.3	0.4	1.7	0.4	0.6	0.8
24/10/2021 07:00	41.9	11.6	24.1	0.5	21.3	1.1	0.4	1.5	0.4	0.5	0.8
24/10/2021 08:00	44.2	11.9	26.1	0.5	17.4	1.1	0.5	1.8	0.5	0.4	0.8
24/10/2021 09:00	44.9	12.4	25.8	0.5	24.7	1.2	0.4	1.5	0.4	0.5	0.8
24/10/2021 10:00	41.6	12.3	22.8	0.4	39.2	0.7	0.3	1.3	0.3	0.6	0.7
24/10/2021 11:00	42.2	13.1	22.1	0.4	43.8	0.7	0.4	1.1	0.4	0.4	0.7
24/10/2021 12:00	35.2	12.0	16.7	0.4	52.1	0.6	0.4	0.9	0.4	0.4	0.7
24/10/2021 13:00	30.9	11.8	12.9	0.4	61.4	0.5	0.3	0.5	0.4	0.3	0.4
24/10/2021 14:00	32.1	11.0	15.2	0.4	62.9	0.4	0.3	1.1	0.3	0.3	0.4
24/10/2021 15:00	31.2	9.2	17.1	0.4	62.2	0.5	0.3	0.8	0.5	0.6	0.6
24/10/2021 16:00	34.9	9.1	21.0	0.4	58.8	0.7	0.3	0.9	0.3	0.3	0.5
24/10/2021 17:00	45.9	9.3	31.7	0.6	46.1	1.2	0.6	1.0	0.4	0.4	0.6
24/10/2021 18:00	108.7	29.2	63.9	0.6	11.3	2.1	0.6	1.5	0.5	1.0	1.1
24/10/2021 19:00	83.8	16.4	58.6	0.7	5.8	2.7	1.2	9.3	1.1	1.7	3.9
24/10/2021 20:00	75.0	19.0	45.8	0.8	4.8	3.3	1.2	8.7	1.4	2.4	5.4
24/10/2021 21:00	58.6	8.8	45.0	0.7	5.4	3.2	0.8	2.3	0.5	1.0	1.4
24/10/2021 22:00	50.2	6.8	39.9	0.7	6.6	3.0	0.8	2.0	0.5	0.6	1.2
24/10/2021 23:00	43.1	5.4	34.9	0.6	9.9	2.6	0.8	2.2	0.6	0.7	1.5
25/10/2021 00:00	34.0	4.1	27.7	0.6	16.7	2.0	0.6	1.5	0.5	0.6	0.9
25/10/2021 01:00	28.8	4.0	22.8	0.5	17.4	1.7	0.6	1.6	0.4	0.6	0.9
25/10/2021 02:00	24.6	4.0	18.5	0.5	20.2	1.3	0.5	1.3	0.3	0.5	0.7
25/10/2021 03:00	22.5	3.8	16.7	0.5	19.6	1.2	0.4	1.1	0.4	0.4	0.7

25/10/2021 04:00	24.3	3.9	18.3	0.4	17.4	1.0	0.5	1.2	0.5	0.6	0.6
25/10/2021 05:00	27.0	4.0	20.9	0.5	13.6	1.1	0.4	1.3	0.6	0.4	0.8
25/10/2021 06:00	35.6	6.5	25.7	0.5	9.3	1.2	0.5	1.8	0.4	0.7	0.8
25/10/2021 07:00	52.5	13.5	31.9	0.6	3.8	1.4	0.5	1.9	0.6	0.7	1.5
25/10/2021 08:00	83.0	31.0	35.6	0.8	3.2	2.6	0.7	2.2	1.9	2.3	6.5
25/10/2021 09:00	118.8	51.1	40.5	0.7	3.7	3.0	1.0	5.4	1.3	1.7	4.1
25/10/2021 10:00	153.7	67.3	50.5	0.8	4.9	4.1	1.1	13.3	0.8	1.1	2.5
25/10/2021 11:00	111.0	34.4	58.2	0.7	11.2	2.8	1.0	12.6	1.0	1.1	2.6
25/10/2021 12:00	89.5	20.7	57.7	0.6	19.0	2.2	0.9	6.8	0.8	1.0	1.9
25/10/2021 13:00	74.0	16.1	49.3	0.5	29.7	1.7	0.7	3.3	0.5	0.8	1.5
25/10/2021 14:00	47.3	10.0	31.9	0.4	47.8	1.2	0.4	1.7	0.5	0.5	0.9
25/10/2021 15:00	37.1	7.4	25.8	0.4	57.1	0.9	0.3	1.6	0.5	0.3	0.7
25/10/2021 16:00	49.6	9.0	35.7	0.4	47.4	1.2	0.4	2.0	0.4	0.5	0.7
25/10/2021 17:00	50.6	7.6	38.9	0.5	41.2	2.0	0.5	2.0	0.5	0.7	1.1
25/10/2021 18:00	75.0	9.9	59.8	0.5	14.7	2.2	0.5	6.7	0.6	0.8	1.2
25/10/2021 19:00	95.8	22.4	61.4	0.8	6.6	3.6	0.9	6.7	0.7	0.9	1.9
25/10/2021 20:00	100.9	29.1	56.2	0.9	4.4	4.8	1.5	5.5	1.0	1.6	3.0
25/10/2021 21:00	82.9	21.4	50.0	0.8	3.9	4.2	1.1	5.2	1.0	1.0	2.5
25/10/2021 22:00	68.8	16.9	43.0	0.8	3.5	4.2	1.3	5.1	0.9	0.9	2.3
25/10/2021 23:00	57.3	14.0	35.8	0.7	3.0	3.2	1.0	5.0	0.9	1.2	2.5
26/10/2021 00:00	48.2	7.4	36.9	0.7	4.4	2.8	0.9	4.3	0.9	1.2	2.3
26/10/2021 01:00	39.5	5.3	31.4	0.6	7.7	2.3	0.7	3.1	0.8	0.8	1.6
26/10/2021 02:00	32.9	4.6	25.9	0.5	10.6	1.8	0.6	2.5	0.6	1.0	1.4
26/10/2021 03:00	32.9	4.6	25.9	0.5	9.3	1.7	0.6	2.2	0.6	1.0	1.2
26/10/2021 04:00	31.9	5.1	24.1	0.5	8.7	1.6	0.5	2.2	0.5	0.7	1.1
26/10/2021 05:00	31.7	6.0	22.5	0.6	8.6	1.5	0.5	2.3	0.7	1.1	1.4
26/10/2021 06:00	47.0	12.1	28.4	0.6	4.3	3.1	0.7	3.3	0.6	1.1	1.7
26/10/2021 07:00	68.9	23.3	33.1	0.7	3.1	2.7	0.8	3.7	0.7	1.1	1.7
26/10/2021 08:00	117.0	52.7	36.3	1.0	3.9	3.3	1.3	5.7	0.9	1.2	2.6
26/10/2021 09:00	76.3	28.6	32.5	0.6	7.1	2.4	1.0	4.3	1.1	1.4	3.3
26/10/2021 10:00	69.5	23.7	33.1	0.6	13.9	2.1	0.6	8.3	0.8	0.9	1.7
26/10/2021 11:00	58.7	16.7	33.1	0.5	25.5	1.9	0.5	25.4	0.8	0.9	1.6
26/10/2021 12:00	51.3	11.8	33.2	0.5	39.0	1.7	0.5	4.2	0.6	0.7	1.1
26/10/2021 13:00	42.4	8.5	29.3	0.5	50.9	1.1	0.5	2.4	0.5	0.7	0.6
26/10/2021 14:00	43.5	8.0	31.2	0.5	54.7	1.6	0.4	1.7	0.4	0.5	0.7
26/10/2021 15:00	36.8	7.0	26.0	0.5	64.2	1.4	0.5	1.7	0.4	0.7	0.8
26/10/2021 16:00	36.7	6.0	27.5	0.4	61.2	1.2	0.5	2.3	0.4	0.6	0.6
26/10/2021 17:00	59.4	10.2	43.7	0.5	40.5	1.7	0.3	1.6	0.5	0.5	1.0
26/10/2021 18:00	125.1	30.1	79.0	0.8	7.3	3.9	0.9	4.1	0.8	1.2	2.2
26/10/2021 19:00	151.4	53.4	69.5	1.0	4.6	6.3	1.8	5.5	1.1	1.7	3.5
26/10/2021 20:00	120.6	37.8	62.6	1.0	4.0	6.0	1.7	6.2	1.6	1.9	5.2
26/10/2021 21:00	122.6	40.4	60.7	0.9	3.3	5.6	1.5	5.8	1.1	1.2	3.4
26/10/2021 22:00	111.5	35.2	57.6	1.0	3.3	5.5	1.5	6.5	0.9	1.4	2.8
26/10/2021 23:00	93.2	25.9	53.4	0.9	3.1	4.9	1.5	6.4	1.1	1.3	3.0
27/10/2021 00:00	70.7	11.8	52.6	0.8	3.1	3.7	1.1	5.2	0.8	1.0	2.1
27/10/2021 01:00	57.6	6.6	47.4	0.7	4.0	3.0	0.9	4.7	0.8	0.9	1.8
27/10/2021 02:00	47.5	3.8	41.7	0.6	7.1	2.4	0.8	3.7	0.6	0.9	1.5
27/10/2021 03:00	41.8	3.8	36.0	0.6	8.4	2.1	0.7	3.4	0.8	0.7	1.4
27/10/2021 04:00	40.5	3.9	34.6	0.5	9.2	1.9	0.7	3.1	0.6	0.7	1.3
27/10/2021 05:00	38.5	5.0	30.8	0.5	10.6	1.9	0.6	3.3	0.8	0.7	1.4
27/10/2021 06:00	44.6	7.5	33.1	0.6	9.0	1.7	0.7	3.4	0.9	0.8	1.6
27/10/2021 07:00	69.8	18.5	41.4	0.7	5.0	2.3	0.8	3.9	0.6	1.0	1.6
27/10/2021 08:00	84.0	25.8	44.4	0.8	5.0	2.7	1.3	6.1	1.0	1.5	3.0
27/10/2021 09:00	105.5	39.4	45.1	0.6	7.4	2.2	0.9	4.4	0.8	1.1	2.0
27/10/2021 10:00	67.4	19.7	37.2	0.6	19.0	2.4	0.6	3.0	0.7	1.0	1.8
27/10/2021 11:00	52.6	12.4	33.6	0.5	31.5	1.6	0.6	2.4	1.0	1.3	2.7
27/10/2021 12:00	52.2	11.1	35.2	0.5	41.6	1.1	0.5	3.7	1.1	1.6	2.9
27/10/2021 13:00	56.9	11.1	39.8	0.5	46.4	1.8	0.5	2.1	0.6	0.8	1.4
27/10/2021 14:00	60.5	11.2	43.3	0.6	46.4	2.1	0.5	2.3	0.5	0.7	1.1
27/10/2021 15:00	69.8	12.7	50.3	0.6	39.1	2.4	0.6	2.9	0.6	0.6	1.1
27/10/2021 16:00	74.5	12.0	56.1	0.6	35.9	2.4	0.7	3.6	0.6	0.7	1.4
27/10/2021 17:00	82.1	10.7	65.6	0.6	27.1	2.4	0.5	2.7	0.6	0.8	1.2
27/10/2021 18:00	123.0	27.1	81.5	0.8	6.4	4.0	0.8	3.6	0.8	1.1	2.1
27/10/2021 19:00	143.5	44.8	74.8	1.0	4.2	4.6	2.3	8.7	1.6	2.3	5.6
27/10/2021 20:00	124.5	37.7	66.7	1.1	3.8	6.4	2.0	6.4	1.3	1.9	4.3
27/10/2021 21:00	107.8	28.6	64.0	0.9	3.4	4.3	1.5	5.2	0.9	1.2	2.9
27/10/2021 22:00	94.8	23.4	58.9	0.9	3.6	4.4	1.6	6.0	0.9	1.4	2.4
27/10/2021 23:00	73.7	10.8	57.1	0.8	3.5	3.7	1.2	5.4	0.9	1.2	2.2
28/10/2021 00:00	63.9	7.7	52.2	0.8	3.9	3.3	1.1	4.8	1.0	1.0	1.9

28/10/2021 01:00	49.5	4.2	43.0	0.7	7.6	2.7	0.8	4.3	0.8	0.9	1.7
28/10/2021 02:00	40.3	3.8	34.4	0.6	13.0	1.4	0.7	3.5	0.8	0.9	1.4
28/10/2021 03:00	34.6	3.8	28.8	0.5	15.6	1.7	0.6	2.5	0.5	0.7	1.2
28/10/2021 04:00	34.3	3.8	28.5	0.5	12.6	1.6	0.5	2.8	0.7	0.7	1.2
28/10/2021 05:00	39.2	4.7	32.0	0.6	11.6	1.6	0.7	3.2	0.7	0.8	1.7
28/10/2021 06:00	54.1	10.7	37.8	0.6	7.3	3.5	0.6	2.9	0.6	0.8	1.6
28/10/2021 07:00	68.4	16.5	43.1	0.6	5.1	5.0	0.6	3.4	0.6	1.1	1.5
28/10/2021 08:00	84.4	26.2	44.1	0.7	5.1	2.4	0.7	3.6	1.1	1.4	3.5
28/10/2021 09:00	87.3	27.8	44.7	1.0	10.3	1.5	0.9	3.1	0.7	1.0	2.0
28/10/2021 10:00	116.9	38.6	57.7	0.8	14.6	3.2	0.8	5.1	0.8	1.0	2.0
28/10/2021 11:00	140.3	44.6	71.9	0.9	17.9	4.0	1.0	8.3	1.1	1.3	3.1
28/10/2021 12:00	143.6	42.2	78.8	0.8	20.7	3.7	1.2	8.7	1.2	1.4	3.0
28/10/2021 13:00	164.9	47.3	92.3	0.9	19.2	4.0	1.2	9.4	1.0	1.3	2.4
28/10/2021 14:00	112.4	25.0	74.1	0.7	30.0	3.1	1.3	6.6	1.0	1.2	2.3
28/10/2021 15:00	75.3	12.2	56.7	0.6	44.7	2.2	0.5	3.0	0.6	0.7	1.1
28/10/2021 16:00	75.9	9.7	61.0	0.6	38.2	2.5	0.6	2.8	0.7	0.7	1.2
28/10/2021 17:00	117.6	22.1	83.6	0.7	13.5	3.8	0.6	3.4	0.7	0.6	1.2
28/10/2021 18:00	172.7	52.8	91.8	0.9	3.5	5.7	1.2	9.0	1.3	1.8	4.4
28/10/2021 19:00	166.2	59.3	75.3	1.1	4.1	4.8	2.0	10.0	1.4	2.3	5.0
28/10/2021 20:00	133.2	39.5	72.7	1.1	4.2	6.3	1.9	6.7	1.1	1.6	3.3
28/10/2021 21:00	125.9	36.6	69.8	1.0	3.7	6.2	1.6	6.9	1.1	1.3	2.9
28/10/2021 22:00	116.9	34.8	63.6	1.0	3.7	6.7	1.7	7.3	1.0	1.3	2.8
28/10/2021 23:00	94.5	18.6	66.0	0.9	3.5	5.0	1.6	7.8	1.2	1.5	3.3
29/10/2021 00:00	66.3	7.5	54.7	0.8	4.9	3.7	1.4	7.3	1.0	1.5	3.1
29/10/2021 01:00	50.9	3.7	45.2	0.7	7.8	3.1	0.9	5.0	0.9	1.2	2.2
29/10/2021 02:00	39.2	3.5	33.8	0.6	12.0	2.5	0.7	4.1	0.9	0.8	1.8
29/10/2021 03:00	34.0	3.2	29.1	0.6	15.2	2.1	0.6	3.4	0.6	1.0	1.4
29/10/2021 04:00	33.4	3.5	28.1	0.5	14.6	1.8	0.6	2.9	0.5	0.8	1.1
29/10/2021 05:00	34.6	3.6	29.2	0.5	12.7	1.7	0.5	2.8	0.7	0.8	1.4
29/10/2021 06:00	47.0	7.3	35.8	0.7	7.5	2.5	0.6	3.2	0.6	0.8	1.4
29/10/2021 07:00	71.8	18.4	43.7	0.7	3.3	2.7	0.8	4.4	0.8	1.1	1.9
29/10/2021 08:00	99.4	34.6	46.3	0.9	3.7	2.2	1.3	5.9	1.0	1.3	2.7
29/10/2021 09:00	104.2	37.7	46.5	0.9	6.3	3.2	1.3	6.8	2.2	2.8	7.5
29/10/2021 10:00	73.1	20.2	42.1	0.7	16.1	2.6	1.0	3.7	1.0	1.4	2.5
29/10/2021 11:00	81.2	21.1	48.8	0.6	22.1		0.6	12.3	1.1	1.1	2.5
29/10/2021 12:00	73.3	16.7	47.6	0.6	31.2		0.6	3.2	0.7	0.8	1.6
29/10/2021 13:00	72.7	13.8	51.4	0.6	38.4		0.6	3.2	0.7	0.9	1.2
29/10/2021 14:00	82.5	14.6	60.0	0.6	39.2		0.6	3.5	0.8	0.7	1.3
29/10/2021 15:00	75.8	10.6	59.5	0.6	41.9		0.8	3.5	0.6	0.6	1.3
29/10/2021 16:00	72.4	8.1	60.0	0.6	42.4		0.6	2.9	0.7	0.5	1.0
29/10/2021 17:00	121.8	19.5	91.9	0.8	14.1		0.9	4.5	0.8	0.7	1.5
29/10/2021 18:00	153.9	34.1	101.6	1.0	4.5		1.3	7.2	1.0	1.4	2.5
29/10/2021 19:00	191.4	63.0	94.7	1.1	4.2		1.7	8.8	1.3	1.7	3.8
29/10/2021 20:00	169.6	58.2	80.4	1.3	4.6		2.5	13.0	2.3	2.3	6.9
29/10/2021 21:00	168.9	62.2	73.5	1.3	4.1		2.3	11.2	1.7	2.2	5.5
29/10/2021 22:00	134.1	40.8	71.5	1.1	4.0		2.0	9.1	1.3	1.8	3.7
29/10/2021 23:00	125.8	35.2	71.8	1.1	3.7		2.0	10.5	1.2	1.6	3.8
30/10/2021 00:00	101.9	26.9	60.6	1.0	3.3		1.6	8.2	1.2	1.6	3.4
30/10/2021 01:00	87.7	18.3	59.5	0.9	3.1		1.5	7.4	1.1	1.5	3.0
30/10/2021 02:00	79.3	15.2	56.1	0.9	3.0		1.3	6.8	1.0	1.0	2.6
30/10/2021 03:00	76.1	13.4	55.6	0.8	2.9		1.2	6.1	0.9	1.2	2.4
30/10/2021 04:00	64.5	8.6	51.4	0.8	2.9		1.0	5.6	0.9	1.2	2.4
30/10/2021 05:00	56.9	8.3	44.2	0.7	2.8		0.9	5.1	0.8	1.1	2.3
30/10/2021 06:00	56.6	9.6	41.9	0.7	3.1		0.8	5.2	0.9	1.1	2.1
30/10/2021 07:00	70.0	18.9	41.0	0.7	2.8		0.9	5.1	0.8	1.0	2.1
30/10/2021 08:00	73.4	22.4	39.1	0.7	3.3		0.9	4.6	0.7	1.0	2.0
30/10/2021 09:00	107.3	38.5	48.2	0.8	4.4		1.1	8.7	1.3	1.7	3.6
30/10/2021 10:00	95.6	26.0	55.8	0.8	8.2		1.1	10.6	1.4	1.6	4.4
30/10/2021 11:00	73.0	14.1	51.4	0.7	18.9		0.9	5.9	0.9	1.2	2.6
30/10/2021 12:00	65.5	9.8	50.5	0.6	20.6		0.8	3.5	0.7	0.8	1.6
30/10/2021 13:00	57.5	7.5	46.0	0.6	26.8		0.7	2.7	0.8	0.7	1.4
30/10/2021 14:00	62.6	8.7	49.3	0.8	19.9		0.7	2.8	0.7	0.7	1.3
30/10/2021 15:00	64.9	9.0	51.0	0.8	11.8		1.1	4.3	0.8	1.1	2.0
30/10/2021 16:00	42.8	5.0	35.1	0.7	24.7		0.9	2.8	0.6	0.9	1.5
30/10/2021 17:00	51.0	6.2	41.6	0.7	17.3		1.0	2.4	0.5	0.6	1.2
30/10/2021 18:00	50.6	7.3	39.4	0.8	20.0		2.8	2.9	0.5	0.7	1.3
30/10/2021 19:00	46.8	5.6	38.2	0.6	25.7		0.9	1.9	0.4	0.7	1.0
30/10/2021 20:00	37.8	4.4	31.1	0.6	30.7		1.3	1.7	0.3	0.6	0.7
30/10/2021 21:00	37.0	4.0	30.9	0.6	28.0		0.6	1.5	0.5	0.5	0.8

30/10/2021 22:00	36.6	4.3	30.2	0.6	25.1	0.7	1.1	0.4	0.4	0.8
30/10/2021 23:00	30.5	3.3	25.4	0.6	24.2	0.6	1.2	0.4	0.4	0.7
31/10/2021 00:00	24.1	3.3	19.1	0.6	25.2	0.6	1.0	0.3	0.4	0.7
31/10/2021 01:00	20.5	2.9	16.1	0.5	30.1	0.5	1.0	0.4	0.4	0.7
31/10/2021 02:00	18.1	2.4	14.4	0.5	34.6	0.4	0.8	0.4	0.5	0.5
31/10/2021 03:00	20.2	2.5	16.4	0.5	36.3	0.4	0.9	0.4	0.4	0.5
31/10/2021 04:00	16.4	2.0	13.3	0.4	47.3	0.3	0.7	0.4	0.4	0.5
31/10/2021 05:00	19.1	2.5	15.3	0.4	50.2	0.3	0.7	0.2	0.3	0.5
31/10/2021 06:00	20.8	2.6	16.9	0.4	44.1	0.4	0.7	0.3	0.4	0.5
31/10/2021 07:00	19.4	2.8	15.1	0.4	45.2	0.2	0.7	0.4	0.3	0.6
31/10/2021 08:00	27.2	4.9	19.7	0.4	43.0	0.3	1.2	0.3	0.4	0.5
31/10/2021 09:00	23.0	3.6	17.4	0.5	42.5	0.4	0.9	0.3	0.3	0.5
31/10/2021 10:00	28.0	4.6	21.0	0.5	35.2	0.5	1.4	0.3	0.4	0.6
31/10/2021 11:00	25.3	4.1	18.9	0.5	44.1	0.4	1.1	0.3	0.7	0.6
31/10/2021 12:00	24.9	4.2	18.5	0.5	47.3	1.4	3.5	0.4	0.6	0.8
31/10/2021 13:00	23.9	4.1	17.6	0.5	49.3	0.6	1.7	0.3	0.4	0.6
31/10/2021 14:00	24.5	4.0	18.3	0.5	51.2	0.6	1.1	0.3	0.3	0.5
31/10/2021 15:00	26.7	4.3	20.1	0.6	48.8	0.6	1.2	0.4	0.6	0.7
31/10/2021 16:00	27.3	4.1	21.0	0.6	46.8	0.5	1.0	0.4	0.4	0.5
31/10/2021 17:00	29.2	3.9	23.1	0.6	49.8	0.5	1.0	0.4	0.4	0.6
31/10/2021 18:00	32.9	3.8	27.1	0.6	41.6	0.5	1.2	0.4	0.4	0.7
31/10/2021 19:00	32.5	3.9	26.6	0.5	39.7	0.6	1.0	0.3	0.3	0.7
31/10/2021 20:00	41.4	3.9	35.4	0.6	27.5	0.8	1.2	0.4	0.7	0.7
31/10/2021 21:00	37.1	4.5	30.2	0.6	27.0	0.6	1.0	0.3	0.4	0.5
31/10/2021 22:00	33.9	3.8	28.1	0.6	24.0	0.7	1.2	0.5	0.5	0.9
31/10/2021 23:00	27.5	2.9	23.0	0.6	25.4	0.8	0.9	0.4	0.4	0.8
01/11/2021 00:00	26.3	3.2	21.4	0.6	25.1	0.6	0.9	0.3	0.4	0.5
01/11/2021 01:00	25.5	2.5	21.6	0.6	21.4	0.6	0.8	0.3	0.4	0.5
01/11/2021 02:00	25.3	2.9	20.9	0.6	20.7	0.5	0.8	0.4	0.6	0.8
01/11/2021 03:00	23.7	2.8	19.4	0.5	22.7	0.5	1.1	0.5	0.4	0.7
01/11/2021 04:00	24.1	2.7	19.9	0.5	21.7	0.6	1.3	0.6	0.6	0.9
01/11/2021 05:00	21.4	2.6	17.5	0.5	29.1	0.4	1.2	0.4	0.4	0.6
01/11/2021 06:00	20.1	2.4	16.5	0.5	30.3	0.4	1.2	0.4	0.5	0.6
01/11/2021 07:00	23.3	3.0	18.8	0.5	27.5	0.6	0.9	0.3	0.4	0.4
01/11/2021 08:00	26.8	3.3	21.7	0.5	25.4	0.7	1.0	0.4	0.4	0.5
01/11/2021 09:00	29.8	4.2	23.4	0.5	20.6	0.6	1.1	0.4	0.5	0.8
01/11/2021 10:00	29.3	3.7	23.6	0.6	31.8	0.5	1.3	0.3	0.6	0.8
01/11/2021 11:00	29.8	3.9	23.8	0.6	40.9	0.5	1.3	0.5	0.6	0.9
01/11/2021 12:00	36.1	5.0	28.5	0.6	32.3	0.6	1.4	0.4	0.5	0.7
01/11/2021 13:00	40.4	5.6	31.8	0.7	27.2	1.0	1.3	0.4	0.5	0.8
01/11/2021 14:00	44.6	5.9	35.6	0.8	21.1	0.9	1.7	0.5	0.3	0.8
01/11/2021 15:00	37.9	4.8	30.5	0.7	27.7	1.1	1.4	0.4	0.5	0.7
01/11/2021 16:00	23.4	3.7	17.8	0.5	41.1	0.6	0.9	0.4	0.3	0.5
01/11/2021 17:00	23.1	3.7	17.5	0.5	41.3	0.6	0.8	0.4	0.6	0.5
01/11/2021 18:00	24.9	3.7	19.2	0.6	38.5	0.4	1.0	0.2	0.5	0.5
01/11/2021 19:00	31.7	4.1	25.4	0.6	31.5	0.8	0.9	0.3	0.5	0.6
01/11/2021 20:00	48.0	5.3	39.9	0.8	18.0	0.9	1.3	0.3	0.4	0.6
01/11/2021 21:00	53.7	5.9	44.6	0.8	12.9	1.1	1.5	0.6	0.8	0.8
01/11/2021 22:00	43.8	4.1	37.5	0.8	16.4	0.9	1.2	0.4	0.4	0.7
01/11/2021 23:00	39.8	4.4	33.1	0.7	18.4	0.8	1.0	0.3	0.4	0.6
02/11/2021 00:00	45.7	3.9	39.8	0.8	9.8	0.8	1.3	0.3	0.4	0.6
02/11/2021 01:00	44.3	3.7	38.6	0.7	8.0	0.9	1.8	0.4	0.6	0.8
02/11/2021 02:00	40.5	3.8	34.7	0.7	7.7	0.7	1.5	0.5	0.5	0.8
02/11/2021 03:00	35.8	3.9	29.8	0.7	5.6	0.7	2.1	0.4	0.9	1.0
02/11/2021 04:00	36.4	4.8	29.0	0.6	4.4	1.2	1.9	0.7	0.5	1.0
02/11/2021 05:00	35.5	6.2	25.9	0.6	3.9	0.6	2.3	0.4	0.7	0.9
02/11/2021 06:00	41.2	10.6	25.0	0.6	4.5	0.5	2.4	0.5	0.5	1.0
02/11/2021 07:00	59.2	19.8	28.8	0.6	3.5	0.5	2.5	0.4	0.6	0.9
02/11/2021 08:00	96.9	40.1	35.4	0.8	3.4	0.8	5.2	0.7	1.0	2.3
02/11/2021 09:00	83.1	30.1	36.9	0.7	7.8	1.1	4.4	0.9	1.3	2.6
02/11/2021 10:00	82.7	28.1	39.5	0.9	13.8	0.8	3.2	0.8	0.9	2.0
02/11/2021 11:00	67.4	19.5	37.6	0.6	22.2	0.6	2.3	0.6	0.7	1.3
02/11/2021 12:00	55.2	14.1	33.6	0.5	29.3	0.5	2.2	0.5	0.6	0.8
02/11/2021 13:00	59.4	13.8	38.2	0.6	33.5	0.6	2.5	0.5	0.6	1.1
02/11/2021 14:00	82.5	20.5	51.2	0.7	26.0	0.7	3.0	0.7	0.7	1.5
02/11/2021 15:00	128.2	48.2	54.4	0.8	9.1	0.8	3.4	0.7	0.8	1.4
02/11/2021 16:00	158.0	59.6	66.6	0.9	6.2	1.1	4.5	0.9	1.2	2.0
02/11/2021 17:00	141.6	51.7	62.2	0.8	4.6	0.9	4.3	0.7	0.9	1.8
02/11/2021 18:00	152.3	55.5	67.2	0.9	3.3	1.2	4.9	1.0	1.1	2.9

02/11/2021 19:00	175.1	73.0	63.2	1.0	3.4	1.3	6.7	1.2	1.6	3.6
02/11/2021 20:00	148.7	60.3	56.3	1.0	3.3	1.6	27.4	7.5	5.4	26.6
02/11/2021 21:00	129.9	49.3	54.4	1.0	3.6	1.5	9.9	1.5	1.7	4.5
02/11/2021 22:00	82.3	16.7	56.8	0.8	4.2	1.4	6.2	1.1	1.4	3.3
02/11/2021 23:00	50.1	4.6	43.0	0.7	9.1	0.7	2.7	0.6	0.8	1.5
03/11/2021 00:00	41.2	3.8	35.4	0.6	8.1	0.6	2.2	0.5	0.7	1.2
03/11/2021 01:00	40.7	3.7	35.1	0.6	8.9	0.7	2.1	0.7	0.7	1.4
03/11/2021 02:00	33.1	3.4	27.9	0.6	11.0	0.5	2.0	0.6	0.7	1.3
03/11/2021 03:00	33.8	3.5	28.5	0.6	9.9	0.5	2.0	0.6	0.7	1.1
03/11/2021 04:00	31.2	2.7	27.1	0.5	20.2	0.4	2.3	0.6	0.7	1.2
03/11/2021 05:00	25.2	2.4	21.4	0.5	38.1	0.3	1.7	0.5	0.5	1.0
03/11/2021 06:00	29.2	3.5	23.9	0.4	34.9	0.4	1.6	0.4	0.6	0.7
03/11/2021 07:00	36.5	4.8	29.2	0.5	27.2	0.4	1.0	0.3	0.4	0.5
03/11/2021 08:00	51.7	8.9	38.1	0.5	15.3	0.4	1.2	0.4	0.4	0.6
03/11/2021 09:00	60.1	11.0	43.2	0.5	9.9	0.5	1.9	0.3	0.4	0.8
03/11/2021 10:00	64.8	12.9	45.0	0.6	13.1	0.6	2.0	0.6	0.5	1.1
03/11/2021 11:00	57.9	10.2	42.3	0.5	24.4	0.4	1.8	0.5	0.7	0.9
03/11/2021 12:00	51.4	7.4	40.0	0.5	27.1	0.3	4.4	0.5	0.4	1.0
03/11/2021 13:00	57.2	8.7	43.8	0.5	25.4	0.4	3.1	0.5	0.5	1.2
03/11/2021 14:00	52.5	6.8	42.1	0.5	28.7	0.3	2.5	0.7	0.8	1.5
03/11/2021 15:00	44.2	4.7	36.9	0.5	36.8	0.3	2.1	1.1	1.5	3.3
03/11/2021 16:00	34.1	3.6	28.5	0.4	50.3	0.3	2.8	1.2	1.1	3.0
03/11/2021 17:00	33.4	3.4	28.2	0.5	45.9	0.3	5.3	1.0	1.0	2.8
03/11/2021 18:00	37.3	3.8	31.4	0.5	37.1	0.3	4.4	0.9	1.1	2.9
03/11/2021 19:00	50.8	5.2	42.7	0.6	23.0	0.4	6.0	2.0	2.2	8.0
03/11/2021 20:00	41.0	3.9	35.1	0.6	27.0	0.6	2.5	0.8	0.8	2.1
03/11/2021 21:00	32.9	4.4	26.1	0.6	32.9	0.5	1.1	0.3	0.5	0.7
03/11/2021 22:00	25.3	3.6	19.8	0.5	37.4	0.7	0.8	0.2	0.3	0.6
03/11/2021 23:00	19.8	2.5	15.9	0.5	42.9	0.6	0.7	0.2	0.4	0.5
04/11/2021 00:00	15.2	1.7	12.6	0.4	49.9	0.4	0.8	0.4	0.4	0.7
04/11/2021 01:00	13.6	1.4	11.4	0.4	56.9	0.3	0.3	0.2	0.3	0.3
04/11/2021 02:00	11.9	1.6	9.5	0.4	66.0	0.5	0.3	0.4	0.3	0.5
04/11/2021 03:00	12.5	1.6	10.1	0.4	69.5	0.3	0.6	0.3	0.1	0.4
04/11/2021 04:00	13.1	1.6	10.6	0.4	69.1	0.3	0.6	0.3	0.3	0.4
04/11/2021 05:00	12.0	1.5	9.8	0.4	70.0	0.3	0.3	0.2	0.2	0.3
04/11/2021 06:00	22.9	2.4	19.2	0.4	53.2	0.3	0.5	0.2	0.3	0.5
04/11/2021 07:00	36.1	3.6	30.7	0.5	37.3	0.5	0.8	0.3	0.4	0.5
04/11/2021 08:00	58.4	11.2	41.2	0.6	13.3	0.5	0.9	0.5	0.5	0.6
04/11/2021 09:00	74.0	20.4	42.7	0.6	16.0	0.6	1.9	0.6	0.8	1.2
04/11/2021 10:00	43.9	9.2	29.8	0.5	38.1	0.4	2.0	0.4	0.6	0.9
04/11/2021 11:00	30.3	6.1	21.0	0.5	43.8	0.4	1.0	0.3	0.5	0.7
04/11/2021 12:00	34.4	7.3	23.3	0.5	39.0	0.6	1.4	0.4	0.6	0.9
04/11/2021 13:00	35.6	7.7	23.8	0.5	43.7	0.4	1.5	0.4	0.6	0.8
04/11/2021 14:00	31.3	6.9	20.8	0.5	53.6	0.3	1.2	0.4	0.5	0.6
04/11/2021 15:00	19.9	4.0	13.8	0.4	64.4	0.4	1.1	0.4	0.3	0.7
04/11/2021 16:00	25.4	3.9	19.4	0.4	57.4	0.4	0.8	0.3	0.4	0.7
04/11/2021 17:00	28.9	4.0	22.8	0.4	56.3	0.4	1.1	0.4	0.4	0.7
04/11/2021 18:00	63.3	8.2	50.8	0.7	24.6	0.6	2.2	0.5	1.0	1.4
04/11/2021 19:00	97.6	18.9	68.6	1.1	9.4	7.0	6.0	1.0	1.5	3.1
04/11/2021 20:00	99.5	24.3	62.3	1.0	7.2	1.7	5.7	1.1	1.6	3.7
04/11/2021 21:00	60.6	8.3	47.9	0.8	18.4	1.0	2.2	0.6	0.6	1.4
04/11/2021 22:00	41.3	4.3	34.7	0.6	25.1	0.7	1.5	0.4	0.5	0.9
04/11/2021 23:00	39.5	6.3	29.8	0.7	26.2	0.8	2.3	0.4	0.7	1.3
05/11/2021 00:00	27.3	2.8	23.1	0.6	29.9	0.5	1.0	0.3	0.5	0.6
05/11/2021 01:00	21.5	2.0	18.5	0.5	33.4	0.4	0.8	0.3	0.5	0.5
05/11/2021 02:00	22.2	2.2	18.9	0.5	30.0	0.6	0.9	0.3	0.4	0.7
05/11/2021 03:00	19.9	1.9	17.1	0.4	32.2	0.6	0.5	0.3	0.3	0.6
05/11/2021 04:00	18.2	2.4	14.6	0.4	37.4	0.4	0.6	0.3	0.3	0.5
05/11/2021 05:00	17.9	2.2	14.6	0.4	37.3	0.5	0.8	0.3	0.4	0.5
05/11/2021 06:00	22.9	3.3	17.9	0.4	33.9	0.5	0.7	0.2	0.4	0.4
05/11/2021 07:00	38.7	4.6	31.7	0.6	21.0	0.7	1.0	0.3	0.5	0.8
05/11/2021 08:00	76.6	18.7	47.9	0.7	10.3	0.9	1.9	0.5	0.6	1.2
05/11/2021 09:00	71.5	16.7	46.0	0.8	16.1	0.7	4.1	1.0	1.4	3.2
05/11/2021 10:00	52.8	11.6	35.0	0.5	34.2	0.5	1.9	0.5	0.7	1.4
05/11/2021 11:00	61.7	15.1	38.6	0.5	37.7	0.4	2.9	0.7	0.7	1.6
05/11/2021 12:00	54.6	11.7	36.6	0.5	40.3	0.5	3.0	0.6	0.7	1.5
05/11/2021 13:00	47.6	9.2	33.5	0.5	45.9	0.4	2.6	0.7	0.7	1.3
05/11/2021 14:00	42.9	8.2	30.4	0.5	52.1	0.3	1.8	0.6	0.7	1.3
05/11/2021 15:00	41.0	7.2	30.0	0.5	54.4	0.4	1.3	0.4	0.5	0.8

05/11/2021 16:00	42.2	5.6	33.7	0.5	52.1	0.3	1.4	0.4	0.6	0.9
05/11/2021 17:00	81.8	15.3	58.4	0.7	26.5	0.5	2.0	0.5	0.9	1.2
05/11/2021 18:00	221.4	86.4	89.0	1.2	4.7	1.7	21.8	1.5	2.2	5.8
05/11/2021 19:00	291.9	135.9	83.5	1.7	4.1	3.5	37.9	3.5	5.2	14.8
05/11/2021 20:00	194.3	78.3	74.3	1.3	4.9	3.1	15.6	2.4	3.0	9.0
05/11/2021 21:00	154.0	58.1	64.8	1.2	4.6	2.4	9.0	1.6	2.3	5.3
05/11/2021 22:00	83.7	16.8	57.9	0.8	5.8	1.2	4.5	0.9	1.3	2.6
05/11/2021 23:00	63.3	7.6	51.7	0.8	7.6	1.1	2.2	0.7	0.9	1.5
06/11/2021 00:00	41.2	4.8	33.8	0.6	28.1	0.9	2.5	0.6	1.0	1.5
06/11/2021 01:00	25.4	3.0	20.9	0.5	43.4	0.5	1.3	0.3	0.6	0.6
06/11/2021 02:00	30.8	3.0	26.3	0.6	31.6	0.5	0.9	0.3	0.5	0.6
06/11/2021 03:00	28.1	2.7	24.0	0.5	23.0	0.8	1.3	0.5	0.5	0.9
06/11/2021 04:00	25.7	2.9	21.3	0.5	27.3	0.6	1.2	0.4	0.6	0.9
06/11/2021 05:00	20.3	2.1	17.2	0.4	38.8	0.3	0.8	0.4	0.4	0.5
06/11/2021 06:00	28.4	4.7	21.2	0.5	33.8	0.4	1.1	0.3	0.4	0.6
06/11/2021 07:00	31.2	3.9	25.3	0.5	29.0	0.5	1.3	0.3	0.6	0.7
06/11/2021 08:00	43.7	6.3	34.1	0.5	24.5	0.3	1.2	0.3	0.3	0.5
06/11/2021 09:00	48.7	10.1	33.3	0.5	28.9	0.4	1.2	0.4	0.5	0.7
06/11/2021 10:00	37.7	7.2	26.7	0.5	36.8	0.5	1.0	0.5	0.6	0.9
06/11/2021 11:00	32.5	6.6	22.5	0.5	47.5	0.4	0.9	0.4	0.5	0.6
06/11/2021 12:00	27.1	5.8	18.2	0.5	60.6	0.6	1.1	0.4	0.4	0.7
06/11/2021 13:00	25.8	4.8	18.4	0.5	63.1	0.4	0.7	0.3	0.6	0.6
06/11/2021 14:00	24.5	4.4	17.8	0.4	64.4	0.3	0.7	0.2	0.5	0.5
06/11/2021 15:00	25.2	4.6	18.1	0.4	64.0	0.5	0.7	0.3	0.5	0.7
06/11/2021 16:00	27.2	4.5	20.3	0.5	62.8	0.6	0.8	0.3	0.5	0.5
06/11/2021 17:00	50.1	6.4	40.3	0.6	42.4	0.6	1.2	0.4	0.4	0.7
06/11/2021 18:00	104.3	21.1	72.0	0.9	8.2	3.7	2.8	0.7	0.9	1.4
06/11/2021 19:00	159.5	57.9	70.7	1.2	5.5	2.1	5.9	0.9	1.5	3.1
06/11/2021 20:00	143.8	51.2	65.3	1.3	6.5	2.7	5.3	0.9	1.5	3.1
06/11/2021 21:00	98.1	25.3	59.4	1.0	4.4	1.6	3.3	0.7	1.1	1.9
06/11/2021 22:00	66.6	9.3	52.4	0.8	6.7	1.3	2.3	0.5	0.7	1.3
06/11/2021 23:00	59.5	7.2	48.4	0.9	6.4	1.2	2.2	0.6	0.7	1.2
07/11/2021 00:00	54.4	5.9	45.4	0.8	9.0	1.0	1.7	0.4	0.8	0.9
07/11/2021 01:00	36.9	4.0	30.7	0.7	20.7	0.9	1.3	0.5	0.9	0.9
07/11/2021 02:00	26.3	2.9	21.9	0.6	30.4	0.6	1.1	0.3	0.6	0.7
07/11/2021 03:00	23.1	2.8	18.9	0.5	33.6	0.5	0.8	0.3	0.4	0.6
07/11/2021 04:00	23.1	3.2	18.2	0.5	31.8	0.5	0.9	0.4	0.4	0.5
07/11/2021 05:00	22.4	3.2	17.5	0.5	33.4	0.5	0.7	0.3	0.4	0.5
07/11/2021 06:00	24.9	3.4	19.7	0.5	30.8	0.4	0.9	0.3	0.4	0.5
07/11/2021 07:00	33.0	3.7	27.3	0.5	22.4	0.5	1.1	0.3	0.4	0.5
07/11/2021 08:00	32.6	4.6	25.6	0.4	29.4	0.3	0.8	0.3	0.4	0.5
07/11/2021 09:00	41.8	7.9	29.7	0.5	27.0	0.5	1.2	0.4	0.6	0.8
07/11/2021 10:00	30.8	6.3	21.2	0.6	41.0	0.5	1.1	0.3	0.6	0.6
07/11/2021 11:00	30.4	6.2	20.9	0.6	48.8	0.4	0.8	0.4	0.4	0.9
07/11/2021 12:00	24.2	4.4	17.4	0.4	56.8	0.4	1.1	0.3	0.4	0.6
07/11/2021 13:00	27.2	5.2	19.3	0.5	60.7	0.4	0.8	0.3	0.4	0.6
07/11/2021 14:00	26.1	4.4	19.4	0.5	67.2	0.4	0.7	0.4	0.5	0.6
07/11/2021 15:00	24.7	4.4	18.0	0.5	68.3	0.5	0.7	0.3	0.4	0.5
07/11/2021 16:00	30.1	4.6	23.1	0.6	64.3	2.0	9.2	1.2	1.7	4.1
07/11/2021 17:00	62.5	8.6	49.3	0.6	37.4	0.4	1.6	0.6	0.6	1.1
07/11/2021 18:00	106.8	19.0	77.7	0.8	9.8	0.7	2.8	0.6	0.9	1.6
07/11/2021 19:00	152.8	45.7	82.8	1.2	5.5	1.9	4.4	0.9	1.2	2.8
07/11/2021 20:00	175.7	65.6	75.0	1.4	6.7	3.1	6.1	1.1	1.4	3.4
07/11/2021 21:00	145.3	52.2	65.3	1.4	5.4	3.3	8.2	1.2	1.7	3.7
07/11/2021 22:00	146.0	53.6	63.8	1.6	6.0	3.4	6.4	0.9	1.4	2.8
07/11/2021 23:00	84.5	17.2	58.1	1.0	3.8	1.9	3.7	0.7	1.0	1.8
08/11/2021 00:00	81.9	19.2	52.5	1.0	4.0	1.4	3.3	0.8	0.9	1.8
08/11/2021 01:00	92.5	25.7	53.2	1.1	4.1	1.8	3.7	0.8	0.9	1.7
08/11/2021 02:00	70.8	14.3	48.9	1.0	3.2	1.5	3.3	0.6	1.2	1.6
08/11/2021 03:00	46.3	4.1	40.0	0.7	8.9	0.9	1.8	0.5	0.8	1.2
08/11/2021 04:00	47.5	5.3	39.3	0.8	7.2	0.8	1.7	0.4	0.4	0.9
08/11/2021 05:00	54.3	9.3	40.1	0.7	3.0	1.2	2.6	0.6	0.6	1.4
08/11/2021 06:00	53.1	10.0	37.8	0.7	3.6	0.8	2.5	0.6	0.8	1.4
08/11/2021 07:00	53.5	11.2	36.4	0.7	4.2	0.6	1.6	0.4	0.9	1.0
08/11/2021 08:00	98.1	33.7	46.5	0.8	3.6	0.8	2.6	0.6	0.8	1.4
08/11/2021 09:00	108.1	39.0	48.2	1.0	6.4	1.1	2.7	0.9	1.1	2.2
08/11/2021 10:00	110.8	37.7	53.1	0.9	13.9	1.0	3.3	0.7	1.1	1.6
08/11/2021 11:00	69.1	16.6	43.6	0.6	27.2	0.6	2.7	0.9	0.9	2.5
08/11/2021 12:00	48.0	8.4	35.1	0.5	37.9	0.4	1.9	0.5	0.7	1.3

08/11/2021 13:00	44.4	6.4	34.6	0.5	33.0	0.4	1.4	0.5	0.6	0.9
08/11/2021 14:00	46.4	6.7	36.1	0.5	31.9	0.4	1.2	0.4	0.6	0.8
08/11/2021 15:00	45.4	6.2	35.9	0.6	32.3	0.4	2.8	0.8	1.3	2.2
08/11/2021 16:00	55.9	7.2	44.8	0.6	23.0	0.5	2.1	0.5	0.8	1.2
08/11/2021 17:00	96.4	20.8	64.5	0.8	7.2	0.8	4.2	1.2	1.3	3.2
08/11/2021 18:00	125.3	38.3	66.6	1.0	3.6	1.1	7.7	1.4	2.1	4.4
08/11/2021 19:00	153.5	53.9	70.8	1.3	4.0	1.8	7.5	1.4	1.9	4.7
08/11/2021 20:00	181.7	73.7	68.7	1.5	4.5	2.6	9.3	1.3	2.2	4.7
08/11/2021 21:00	169.1	69.5	62.5	1.5	4.2	2.8	9.0	1.6	2.4	5.5
08/11/2021 22:00	119.4	45.1	50.3	1.3	3.7	2.4	6.8	1.3	1.8	4.1
08/11/2021 23:00	65.1	15.9	40.7	1.0	3.2	1.2	3.8	0.7	0.9	2.1
09/11/2021 00:00	38.6	4.0	32.5	0.8	13.5	0.9	2.0	0.5	0.8	1.1
09/11/2021 01:00	29.7	3.5	24.3	0.6	26.7	0.6	1.4	0.3	0.6	0.8
09/11/2021 02:00	31.0	3.4	25.8	0.6	25.0	0.6	1.2	0.4	0.5	0.6
09/11/2021 03:00	26.2	3.1	21.4	0.6	24.9	0.5	2.2	0.4	0.4	0.7
09/11/2021 04:00	26.4	3.2	21.5	0.6	16.7	0.4	1.6	0.4	0.6	0.7
09/11/2021 05:00	28.5	3.9	22.6	0.6	14.8	0.5	1.9	0.3	0.6	0.7
09/11/2021 06:00	27.3	3.9	21.3	0.5	18.2	0.5	1.7	0.3	0.7	0.9
09/11/2021 07:00	74.1	23.3	38.3	0.8	3.9	0.6	3.9	0.7	1.1	2.1
09/11/2021 08:00	121.0	48.4	46.8	0.9	3.7	0.8	4.3	0.7	1.1	1.9
09/11/2021 09:00	126.8	52.8	45.8	1.1	6.0	1.3	6.3	1.2	1.6	3.7
09/11/2021 10:00	89.1	28.5	45.4	0.7	13.9	0.8	2.4	0.6	0.8	1.6
09/11/2021 11:00	88.4	27.3	46.4	0.7	19.7	0.7	3.5	0.8	0.9	1.8
09/11/2021 12:00	84.1	24.0	47.3	0.7	24.6	0.6	4.2	0.7	0.6	1.5
09/11/2021 13:00	67.7	14.9	44.9	0.6	25.0	0.5	2.7	0.5	0.8	1.1
09/11/2021 14:00	62.0	11.5	44.3	0.6	24.5	0.5	1.8	0.5	0.5	0.9
09/11/2021 15:00	58.4	9.8	43.3	0.6	23.4	0.4	1.6	0.4	0.5	0.8
09/11/2021 16:00	62.8	8.9	49.2	0.7	16.7	0.5	2.4	0.6	0.5	1.1
09/11/2021 17:00	77.1	11.9	58.8	0.7	8.0	0.6	2.6	0.6	0.9	1.2
09/11/2021 18:00	94.0	19.3	64.3	0.8	3.8	0.7	3.1	0.8	1.0	1.8
09/11/2021 19:00	117.8	33.8	65.9	1.0	4.0	1.3	5.9	0.9	1.3	2.5
09/11/2021 20:00	90.0	17.2	63.6	0.9	3.9	1.3	6.9	1.0	1.2	2.5
09/11/2021 21:00	77.4	11.5	59.8	0.9	4.6	1.1	3.9	0.7	0.8	1.8
09/11/2021 22:00	76.3	12.3	57.4	0.9	3.7	1.1	3.5	0.6	0.9	1.6
09/11/2021 23:00	70.0	10.6	53.8	0.9	3.7	1.3	3.7	0.8	0.9	1.7
10/11/2021 00:00	52.2	4.4	45.4	0.8	7.1	0.9	2.7	0.6	0.8	1.3
10/11/2021 01:00	48.0	3.7	42.3	0.8	7.5	0.8	2.2	0.6	0.7	1.1
10/11/2021 02:00	44.5	3.8	38.7	0.8	6.9	0.8	3.0	0.5	0.6	1.1
10/11/2021 03:00	41.5	3.6	35.9	0.9	6.9	0.8	4.8	0.6	0.8	1.2
10/11/2021 04:00	42.4	3.9	36.4	0.8	5.6	0.8	5.2	0.7	0.8	1.3
10/11/2021 05:00	47.0	8.3	34.3	0.9	3.7	0.8	9.4	1.0	1.3	2.5
10/11/2021 06:00	68.6	20.6	37.1	0.9	3.0	1.0	11.1	1.2	1.3	3.1
10/11/2021 07:00	80.2	23.6	44.1	0.9	3.3	1.1	5.6	0.9	1.0	2.1
10/11/2021 08:00	55.5	8.6	42.3	0.7	10.6	0.7	2.1	0.5	0.7	1.1
10/11/2021 09:00	54.9	9.1	40.9	0.7	16.3	0.5	1.8	0.5	0.6	0.9
10/11/2021 10:00	54.1	11.0	37.2	0.6	23.9	0.5	2.0	0.5	0.7	1.1
10/11/2021 11:00	61.1	14.1	39.4	0.7	20.0	0.5	2.3	0.5	0.8	1.1
10/11/2021 12:00	62.2	14.9	39.3	0.7	21.2	0.7	3.6	0.8	1.0	1.9
10/11/2021 13:00	50.6	9.3	36.4	0.7	22.7	0.6	2.3	0.6	0.6	1.2
10/11/2021 14:00	66.5	13.0	46.6	0.7	13.2	0.6	2.8	0.5	0.7	1.1
10/11/2021 15:00	58.3	10.9	41.5	0.7	18.1	0.6	3.0	0.7	0.7	1.5
10/11/2021 16:00	76.2	17.2	49.9	0.8	12.9	0.7	2.5	0.5	0.7	1.2
10/11/2021 17:00	102.7	26.9	61.4	0.8	4.6	0.9	7.1	1.6	2.1	4.8
10/11/2021 18:00	110.3	29.6	65.0	0.8	3.2	1.2	10.3	2.2	2.3	7.8
10/11/2021 19:00	107.1	30.3	60.6	1.0	3.1	1.3	6.7	0.8	1.3	2.2
10/11/2021 20:00	137.4	48.5	63.0	1.1	3.8	1.8	9.2	1.1	1.7	3.7
10/11/2021 21:00	107.4	32.2	58.0	1.0	3.5	1.4	5.9	1.2	1.5	3.4
10/11/2021 22:00	106.6	32.5	56.8	1.0	3.5	1.4	6.3	1.0	1.8	3.4
10/11/2021 23:00	99.9	30.6	53.0	1.1	3.5	1.4	6.5	1.1	1.6	3.6
11/11/2021 00:00	119.1	44.1	51.5	1.1	2.4	1.6	6.8	1.3	1.6	3.8
11/11/2021 01:00	121.5	47.4	48.9	1.2	2.6	1.8	7.9	1.2	1.7	3.6
11/11/2021 02:00	124.3	50.0	47.7	1.2	2.3	2.4	11.3	1.4	1.6	4.2
11/11/2021 03:00	113.2	44.5	45.0	1.2	2.1	1.8	13.3	1.3	1.8	4.3
11/11/2021 04:00	80.0	23.2	44.4	1.0	2.9	1.3	5.5	0.8	1.1	2.2
11/11/2021 05:00	69.7	18.5	41.4	0.9	3.0	1.0	4.2	0.7	0.9	1.9
11/11/2021 06:00	101.2	38.8	41.8	1.0	2.9	1.3	8.8	0.9	1.2	2.6
11/11/2021 07:00	81.1	26.8	40.0	1.0	2.6	1.1	8.1	0.8	1.2	2.3
11/11/2021 08:00	94.9	33.1	44.2	1.0	2.8	1.1	8.8	0.8	1.0	2.0
11/11/2021 09:00	136.1	58.7	46.1	1.1	3.3	1.5	15.3	1.6	2.0	5.6

11/11/2021 10:00	121.0	46.4	49.9	1.0	5.3	1.2	28.6	1.8	2.2	6.5
11/11/2021 11:00	140.1	54.8	56.1	1.0	5.9	1.1	16.3	1.9	2.3	6.3
11/11/2021 12:00	169.8	69.9	62.6	1.1	6.0	1.4	15.7	1.9	2.5	6.4
11/11/2021 13:00	107.3	38.7	47.9	0.9	7.4	1.3	12.2	1.2	1.5	3.4
11/11/2021 14:00	73.8	23.2	38.2	0.8	13.8	0.8	3.0	0.7	0.7	1.6
11/11/2021 15:00	68.1	16.5	42.7	0.8	13.4	0.7	6.0	1.4	1.9	4.4
11/11/2021 16:00	61.7	12.1	43.2	0.7	14.4	0.6	7.5	1.7	2.0	5.5
11/11/2021 17:00	62.3	11.0	45.3	0.7	11.8	0.6	11.9	3.6	4.5	13.7
11/11/2021 18:00	79.8	19.4	50.0	0.8	3.9	1.1	7.1	1.7	2.3	6.3
11/11/2021 19:00	103.2	34.3	50.7	1.1	3.7	1.9	5.1	1.0	1.2	2.7
11/11/2021 20:00	130.9	50.4	53.6	1.2	3.8	2.1	6.7	1.2	1.5	3.5
11/11/2021 21:00	154.9	66.4	53.1	1.3	3.9	2.9	12.4	1.6	2.1	5.7
11/11/2021 22:00	123.6	51.1	45.3	1.3	3.9	2.5	12.5	1.7	2.5	5.8
11/11/2021 23:00	106.1	43.8	38.9	1.3	3.2	1.9	9.0	1.3	1.8	4.2
12/11/2021 00:00	101.2	39.8	40.2	1.3	3.6	1.8	6.2	1.1	1.3	2.9
12/11/2021 01:00	98.2	40.8	35.6	1.3	3.6	1.9	6.3	1.1	1.5	2.8
12/11/2021 02:00	82.3	33.0	31.7	1.2	3.1	1.8	7.0	1.0	1.5	2.7
12/11/2021 03:00	78.1	32.1	28.9	1.2	3.0	1.7	11.2	1.4	2.0	4.2
12/11/2021 04:00	65.6	27.1	24.1	1.0	2.7	1.5	7.6	1.0	1.5	2.8
12/11/2021 05:00	56.8	19.0	27.7	1.0	2.2	1.1	5.9	0.8	1.0	1.8
12/11/2021 06:00	70.4	22.6	35.8	0.9	2.3	1.0	5.1	0.8	1.2	1.9
12/11/2021 07:00	85.6	31.4	37.3	0.9	2.6	1.0	5.2	0.9	1.2	2.4
12/11/2021 08:00	134.1	61.2	40.3	1.1	2.8	1.4	7.5	1.3	1.8	3.8
12/11/2021 09:00	136.0	60.2	43.7	1.5	3.7	1.8	7.0	1.8	2.5	6.3
12/11/2021 10:00	120.4	46.4	49.2	0.9	6.3	1.2	5.4	0.9	1.2	2.6
12/11/2021 11:00	87.0	26.7	46.0	0.8	13.4	0.9	5.2	0.8	1.0	2.2
12/11/2021 12:00	78.8	20.9	46.8	0.8	20.1	0.8	5.4	1.0	0.9	2.2
12/11/2021 13:00	88.9	23.3	53.3	0.8	22.1	0.8	5.8	1.0	1.2	2.4
12/11/2021 14:00	83.7	19.1	54.5	0.7	26.0	0.7	4.1	0.8	0.9	1.6
12/11/2021 15:00	76.7	14.6	54.2	0.7	28.4	0.6	3.2	0.6	0.7	1.3
12/11/2021 16:00	77.2	12.5	58.1	0.7	24.5	0.7	2.9	0.7	0.5	1.1
12/11/2021 17:00	91.0	15.6	67.1	0.8	14.4	0.8	2.9	0.5	0.7	1.1
12/11/2021 18:00	172.9	62.3	77.3	1.0	3.3	1.7	25.2	5.3	8.0	20.9
12/11/2021 19:00	221.7	96.8	73.3	1.5	4.0	2.5	16.4	2.3	3.5	8.6
12/11/2021 20:00	246.7	115.2	70.1	1.5	3.9	3.4	23.4	3.0	4.4	11.5
12/11/2021 21:00	242.2	116.5	63.5	1.8	4.0	3.7	16.9	2.1	3.1	7.6
12/11/2021 22:00	212.4	102.7	54.9	1.8	4.9	3.6	14.5	1.7	2.6	5.9
12/11/2021 23:00	173.4	77.4	54.7	1.5	4.1	3.3	13.2	1.7	2.7	5.7
13/11/2021 00:00	177.6	79.6	55.5	1.7	4.7	2.9	17.6	2.3	3.3	7.8
13/11/2021 01:00	175.7	83.7	47.4	1.5	2.8	4.1	18.7	2.3	3.5	7.7
13/11/2021 02:00	137.2	61.0	43.7	1.3	3.0	2.3	12.8	1.8	2.6	5.3
13/11/2021 03:00	109.5	44.5	41.4	1.2	2.8	1.9	10.8	1.5	2.2	4.2
13/11/2021 04:00	105.8	40.4	43.8	1.2	3.3	1.7	9.8	1.4	2.1	3.6
13/11/2021 05:00	135.6	60.0	43.6	1.4	3.1	2.4	20.8	2.5	4.1	8.7
13/11/2021 06:00	102.7	44.6	34.3	1.1	2.6	1.8	10.8	1.4	2.1	4.0
13/11/2021 07:00	96.9	38.5	38.0	1.0	2.7	1.2	8.2	1.1	1.4	2.9
13/11/2021 08:00	139.9	67.2	36.9	1.2	2.8	1.7	10.6	1.1	1.6	3.5
13/11/2021 09:00	138.7	65.3	38.6	1.2	2.8	1.8	10.3	1.3	2.0	4.0
13/11/2021 10:00	116.1	47.2	43.7	1.0	4.2	1.4	8.5	1.0	1.3	3.1
13/11/2021 11:00	97.0	31.7	48.5	1.0	8.1	1.1	5.7	0.9	1.3	2.4
13/11/2021 12:00	102.9	32.3	53.4	1.0	12.0	1.1	6.5	1.0	1.5	2.7
13/11/2021 13:00	84.5	20.9	52.4	0.9	12.3	1.2	6.9	0.8	1.0	2.1
13/11/2021 14:00	87.4	22.1	53.5	1.0	10.3	1.0	5.4	0.8	1.0	1.9
13/11/2021 15:00	105.7	28.9	61.3	1.0	7.6	1.1	5.8	1.1	1.1	1.9
13/11/2021 16:00	104.3	26.0	64.4	1.0	5.6	1.2	6.3	0.9	1.3	2.1
13/11/2021 17:00	107.7	25.9	68.0	1.1	5.0	1.3	5.7	0.9	1.1	2.0
13/11/2021 18:00	129.3	42.0	64.9	1.2	3.7	1.6	5.6	0.9	1.2	1.9
13/11/2021 19:00	99.6	22.0	65.8	1.0	4.0	1.3	4.9	0.9	1.0	2.0
13/11/2021 20:00	63.3	4.8	56.0	0.9	8.8	0.9	3.5	0.7	0.6	1.3
13/11/2021 21:00	61.4	5.7	52.7	0.9	6.2	0.9	3.3	0.6	0.7	1.2
13/11/2021 22:00	49.4	4.1	43.1	0.9	11.2	0.9	3.5	0.5	0.5	1.1
13/11/2021 23:00	56.8	6.5	46.7	0.9	6.1	1.0	3.7	0.6	0.7	1.4
14/11/2021 00:00	47.6	3.7	41.8	0.8	10.3	0.8	2.8	0.6	0.7	1.2
14/11/2021 01:00	53.0	5.2	45.3	0.8	6.1	0.8	2.8	0.6	0.7	1.1
14/11/2021 02:00	52.6	4.5	45.6	0.9	3.9	0.8	3.1	0.6	0.6	1.2
14/11/2021 03:00	39.2	2.9	34.7	0.8	17.4	0.8	2.5	0.6	0.6	1.1
14/11/2021 04:00	37.3	2.8	33.0	0.8	16.9	0.6	2.1	0.5	0.6	1.0
14/11/2021 05:00	36.5	3.4	31.3	0.8	8.7	0.7	2.3	0.4	0.6	1.0
14/11/2021 06:00	33.0	3.6	27.4	0.8	7.7	0.7	2.1	0.5	0.7	1.0

14/11/2021 07:00	30.4	3.9	24.4	0.7	9.4	0.6	1.9	0.4	0.5	0.9
14/11/2021 08:00	28.3	3.7	22.6	0.7	14.7	0.5	2.0	0.6	0.5	1.1
14/11/2021 09:00	26.3	4.1	20.1	0.7	24.2	0.5	1.7	0.4	0.4	0.8
14/11/2021 10:00	23.2	3.8	17.4	0.6	34.7	0.5	1.1	0.4	0.4	0.7
14/11/2021 11:00	30.3	4.4	23.5	0.7	32.2	0.5	0.9	0.5	0.6	0.9
14/11/2021 12:00	29.0	4.4	22.2	0.6	42.8	0.5	1.0	0.4	0.4	0.6
14/11/2021 13:00	23.7	3.9	17.8	0.6	51.8	0.4	0.7	0.3	0.3	0.4
14/11/2021 14:00	24.6	4.3	18.0	0.6	52.5	0.4	0.5	0.3	0.3	0.4
14/11/2021 15:00	19.5	3.1	14.7	0.6	55.2	0.5	0.5	0.3	0.4	0.5
14/11/2021 16:00	19.8	3.5	14.5	0.6	52.9	0.3	0.5	0.2	0.4	0.4
14/11/2021 17:00	20.6	3.6	15.1	0.6	51.3	0.4	0.9	0.3	0.3	0.5
14/11/2021 18:00	23.5	3.4	18.2	0.6	44.6	0.4	0.6	0.3	0.5	0.4
14/11/2021 19:00	23.8	3.6	18.2	0.6	43.9	0.4	0.6	0.3	0.2	0.5
14/11/2021 20:00	23.2	3.8	17.4	0.6	45.6	0.5	0.5	0.2	0.2	0.4
14/11/2021 21:00	20.7	3.2	15.8	0.6	47.5	0.5	0.5	0.3	0.2	0.4
14/11/2021 22:00	19.9	2.6	15.9	0.6	47.4	0.6	0.6	0.3	0.2	0.4
14/11/2021 23:00	19.5	2.0	16.4	0.6	45.4	0.4	0.6	0.3	0.3	0.5
15/11/2021 00:00	19.5	2.1	16.3	0.6	43.9	0.5	0.5	0.3	0.3	0.4
15/11/2021 01:00	21.6	2.0	18.5	0.6	46.1	0.4	0.5	0.3	0.3	0.5
15/11/2021 02:00	19.6	1.9	16.8	0.6	47.9	0.2	0.5	0.2	0.3	0.4
15/11/2021 03:00	14.2	1.7	11.5	0.6	46.7	0.2	0.6	0.3	0.3	0.4
15/11/2021 04:00	13.7	1.5	11.3	0.6	45.5	0.4	0.6	0.2	0.3	0.3
15/11/2021 05:00	13.8	1.6	11.2	0.5	41.2	0.3	0.4	0.3	0.2	0.4
15/11/2021 06:00	17.2	2.6	13.2	0.6	38.8	0.3	0.8	0.2	0.4	0.3
15/11/2021 07:00	26.3	3.4	21.1	0.6	33.1	0.4	1.1	0.2	0.4	0.4
15/11/2021 08:00	33.9	4.0	27.7	0.7	27.7	0.4	0.8	0.3	0.4	0.6
15/11/2021 09:00	61.7	13.3	41.4	0.7	13.4	0.5	0.9	0.7	0.4	0.6
15/11/2021 10:00	120.0	42.1	55.4	0.8	4.3	0.6	2.5	1.1	1.2	2.8
15/11/2021 11:00	102.2	32.1	53.0	0.9	5.5	0.8	4.6	2.0	2.6	7.2
15/11/2021 12:00	74.3	18.6	45.8	0.8	8.4	0.7	2.4	0.8	1.1	2.1
15/11/2021 13:00	62.1	13.3	41.7	0.8	8.7	0.6	1.9	0.6	0.6	1.6
15/11/2021 14:00	70.4	16.5	45.2	0.8	9.1	0.7	2.8	0.8	1.1	2.0
15/11/2021 15:00	114.2	36.6	58.1	1.0	3.9	1.0	6.8	1.6	1.9	5.3
15/11/2021 16:00	126.7	41.5	63.1	1.0	3.0	1.1	6.1	1.4	1.6	4.3
15/11/2021 17:00	102.2	25.2	63.5	1.0	3.2	1.2	5.4	0.9	1.4	2.7
15/11/2021 18:00	76.7	11.1	59.7	0.9	8.9	0.9	4.1	1.2	1.6	3.5
15/11/2021 19:00	69.1	7.5	57.6	0.9	8.6	0.6	2.5	0.8	1.0	2.0
15/11/2021 20:00	79.7	12.5	60.5	1.1	5.6	1.0	6.6	1.1	1.6	3.2
15/11/2021 21:00	55.5	4.3	48.9	0.9	13.5	0.9	4.4	0.7	1.2	1.7
15/11/2021 22:00	37.7	3.2	32.7	0.8	31.7	0.7	2.4	0.4	0.6	1.0
15/11/2021 23:00	38.2	3.0	33.7	0.7	31.9	0.5	1.7	0.4	0.3	0.6
16/11/2021 00:00	27.4	1.8	24.6	0.7	38.3	0.5	1.2	0.3	0.4	0.7
16/11/2021 01:00	22.1	1.7	19.5	0.7	38.6	0.5	0.8	0.3	0.5	0.6
16/11/2021 02:00	26.4	2.1	23.2	0.8	29.6	0.4	1.2	0.4	0.7	0.7
16/11/2021 03:00	27.0	1.9	24.2	0.8	19.2	0.6	1.5	0.4	0.5	0.8
16/11/2021 04:00	28.6	3.2	23.6	0.8	13.6	0.5	1.7	0.5	0.5	0.8
16/11/2021 05:00	25.4	2.6	21.5	0.7	13.7	0.6	1.4	0.3	0.5	0.6
16/11/2021 06:00	28.8	3.9	22.9	0.8	10.6	0.6	1.3	0.3	0.6	0.7
16/11/2021 07:00	38.0	7.0	27.3	0.8	6.3	0.6	1.3	0.4	0.7	0.7
16/11/2021 08:00	71.6	25.4	32.6	1.0	3.1	0.7	2.2	0.6	0.8	1.3
16/11/2021 09:00	103.0	43.0	37.0	1.2	3.7	1.2	3.7	1.0	1.4	3.2
16/11/2021 10:00	130.9	57.0	43.7	1.1	4.5	1.1	3.5	0.7	1.0	1.9
16/11/2021 11:00	104.7	37.5	47.2	0.9	10.3	1.0	4.9	0.7	0.8	1.8
16/11/2021 12:00	70.5	15.6	46.6	0.8	22.9	0.7	3.4	0.7	0.7	1.6
16/11/2021 13:00	62.1	11.4	44.6	1.0	32.3	0.8	2.9	0.7	0.9	1.3
16/11/2021 14:00	72.9	13.5	52.2	0.8	29.9	0.7	2.6	0.6	0.7	1.2
16/11/2021 15:00	62.3	10.2	46.8	0.7	34.2	0.7	1.8	0.5	0.6	1.1
16/11/2021 16:00	63.1	8.8	49.6	0.7	27.7	0.6	1.8	0.5	0.7	1.0
16/11/2021 17:00	73.8	11.5	56.1	0.8	18.4	0.7	2.4	0.7	0.6	1.1
16/11/2021 18:00	75.3	10.1	59.8	0.9	12.3	0.8	1.9	0.4	0.7	1.0
16/11/2021 19:00	87.8	17.3	61.3	0.9	10.5	1.1	4.5	1.0	1.4	2.8
16/11/2021 20:00	52.1	5.6	43.5	0.8	23.6	0.7	2.8	0.7	0.8	1.6
16/11/2021 21:00	48.7	4.4	41.9	0.9	22.2	2.0	11.0	1.3	1.2	3.0
16/11/2021 22:00	39.2	5.2	31.3	0.8	31.7	0.8	2.8	0.5	0.8	1.3
16/11/2021 23:00	34.8	3.7	29.2	0.9	28.0	1.0	2.0	0.4	0.7	1.0
17/11/2021 00:00	31.9	2.6	28.0	0.8	25.4	0.6	2.1	0.5	0.8	1.2
17/11/2021 01:00	36.8	3.4	31.5	0.7	19.6	0.6	1.5	0.5	0.5	0.9
17/11/2021 02:00	33.0	2.9	28.6	0.8	19.7	0.7	2.1	0.6	0.8	1.3
17/11/2021 03:00	24.7	2.2	21.3	0.7	31.3	0.6	1.5	0.4	0.6	0.8

17/11/2021 04:00	25.4	2.7	21.2	0.7	25.4	0.6	1.8	0.5	0.4	0.9
17/11/2021 05:00	25.1	2.5	21.4	0.7	25.6	0.5	1.3	0.4	0.5	0.7
17/11/2021 06:00	25.8	3.3	20.7	0.7	24.8	0.6	1.3	0.3	0.5	0.7
17/11/2021 07:00	47.2	6.7	36.9	0.7	14.0	0.6	1.5	0.5	0.5	0.9
17/11/2021 08:00	64.6	10.4	48.7	0.8	8.2	0.8	1.8	0.6	0.7	1.0
17/11/2021 09:00	67.1	11.7	49.2	0.9	7.1	0.9	2.2	0.5	0.7	1.2
17/11/2021 10:00	74.6	16.2	49.7	1.0	5.5	0.8	2.8	0.6	0.6	1.3
17/11/2021 11:00	87.3	25.5	48.2	0.9	7.5	0.9	3.0	0.5	0.7	1.3
17/11/2021 12:00	97.2	30.7	50.2	1.0	7.9	0.9	4.4	1.2	1.6	4.3
17/11/2021 13:00	88.8	24.6	51.2	0.9	7.8	1.0	5.1	0.9	1.2	2.5
17/11/2021 14:00	81.7	23.6	46.4	0.9	11.6	1.0	4.0	0.7	0.9	1.8
17/11/2021 15:00	66.4	16.6	41.0	0.9	13.8	0.9	3.3	0.6	1.0	1.6
17/11/2021 16:00	42.4	7.2	31.4	0.8	22.7	0.7	2.1	0.6	0.8	1.3
17/11/2021 17:00	51.4	8.1	39.0	0.8	18.2	0.6	2.5	0.7	1.0	1.6
17/11/2021 18:00	65.2	9.2	51.1	0.8	12.3	0.7	2.7	0.6	1.0	1.3
17/11/2021 19:00	85.5	19.8	55.1	1.0	5.4	0.9	3.4	0.6	0.9	1.3
17/11/2021 20:00	100.2	30.2	53.9	1.3	3.4	2.2	6.1	1.0	1.3	2.7
17/11/2021 21:00	70.4	15.3	46.9	1.1	7.1	2.1	4.9	1.1	1.3	2.7
17/11/2021 22:00	61.0	11.9	42.8	1.0	6.6	1.0	2.3	0.4	0.8	1.2
17/11/2021 23:00	58.5	10.2	42.8	1.1	5.4	1.3	3.5	0.8	1.0	1.9
18/11/2021 00:00	47.7	6.5	37.8	1.0	5.3	1.0	2.1	0.6	0.8	1.4
18/11/2021 01:00	46.9	9.6	32.2	1.0	3.6	1.0	2.5	0.6	1.0	1.6
18/11/2021 02:00	47.1	9.6	32.4	1.0	3.5	1.1	3.6	0.8	1.1	2.1
18/11/2021 03:00	44.9	9.5	30.3	1.0	3.3	0.9	4.2	0.6	0.7	1.6
18/11/2021 04:00	40.9	10.3	25.1	1.0	3.1	1.0	4.6	0.7	0.8	1.7
18/11/2021 05:00	39.5	9.6	24.7	0.9	3.0	0.9	4.0	0.6	0.8	1.6
18/11/2021 06:00	61.5	22.4	27.2	0.9	3.2	0.7	3.2	0.6	0.6	1.3
18/11/2021 07:00	88.7	37.6	31.3	1.1	2.9	0.9	7.5	0.9	1.5	3.0
18/11/2021 08:00	117.5	53.7	35.2	1.2	3.4	1.1	5.5	0.8	1.3	2.3
18/11/2021 09:00	113.9	49.1	39.0	1.2	3.9	1.4	5.7	0.9	1.2	2.6
18/11/2021 10:00	83.5	29.9	37.6	1.0	7.3	1.0	4.6	0.9	1.3	2.9
18/11/2021 11:00	140.4	59.2	49.7	1.0	7.1	0.9	9.0	1.4	1.8	4.7
18/11/2021 12:00	131.4	51.4	52.5	1.0	9.7	1.1	4.2	0.7	1.0	2.0
18/11/2021 13:00	85.1	25.3	46.3	0.9	17.2	0.9	3.0	1.0	0.8	1.6
18/11/2021 14:00	54.8	12.8	35.1	0.8	24.8	0.6	2.5	0.6	0.7	1.3
18/11/2021 15:00	50.4	11.6	32.7	0.8	23.3	0.5	3.6	1.1	1.5	3.1
18/11/2021 16:00	52.5	10.6	36.2	0.8	19.0	0.6	3.4	0.7	1.2	2.2
18/11/2021 17:00	72.4	16.3	47.4	0.9	8.6	0.7	3.1	0.7	1.0	2.2
18/11/2021 18:00	116.2	39.3	55.9	1.0	3.4	1.2	4.2	0.8	1.1	2.0
18/11/2021 19:00	109.7	36.3	54.0	1.0	3.5	1.2	8.2	1.5	2.3	5.0
18/11/2021 20:00	130.5	49.9	54.0	1.2	3.7	1.8	6.1	1.2	1.6	3.5
18/11/2021 21:00	89.2	24.7	51.4	1.0	3.4	1.8	5.9	1.1	1.4	3.2
18/11/2021 22:00	64.9	12.0	46.6	0.9	3.2	1.0	2.8	0.6	0.8	1.5
18/11/2021 23:00	72.1	17.7	45.0	1.0	3.1	1.0	3.0	0.6	0.7	1.5
19/11/2021 00:00	55.3	9.4	40.9	0.9	2.9	0.9	2.2	0.5	0.8	1.2
19/11/2021 01:00	45.0	5.9	36.0	0.8	3.4	0.7	2.1	0.5	0.8	1.1
19/11/2021 02:00	39.0	4.4	32.2	0.8	4.6	0.7	2.0	0.5	0.7	1.0
19/11/2021 03:00	33.3	4.1	27.0	0.8	5.0	0.6	1.6	0.5	0.7	0.8
19/11/2021 04:00	32.2	4.1	26.0	0.8	4.7	0.6	1.3	0.4	0.4	0.8
19/11/2021 05:00	33.9	4.3	27.3	0.8	4.8	0.6	1.2	0.4	0.4	0.7
19/11/2021 06:00	40.2	5.8	31.3	0.9	3.5	0.6	1.4	0.5	0.6	1.0
19/11/2021 07:00	54.5	11.9	36.3	0.9	2.7	0.6	2.0	0.4	0.5	0.9
19/11/2021 08:00	66.8	19.1	37.5	0.9	2.7	0.7	2.2	0.6	0.6	1.1
19/11/2021 09:00	101.7	37.9	43.7	1.0	3.2	0.8	3.5	0.7	0.9	1.9
19/11/2021 10:00	104.7	39.6	44.1	1.0	3.8	1.0	3.6	0.6	0.8	1.6
19/11/2021 11:00	109.4	42.6	44.0	1.0	4.2	0.9	8.2	2.9	3.7	11.4
19/11/2021 12:00	91.3	33.2	40.4	0.7	5.9	0.9	4.5	0.9	1.1	2.4
19/11/2021 13:00	77.1	24.4	39.6	0.7	6.6	0.8	3.9	0.9	0.9	2.0
19/11/2021 14:00	67.8	17.5	40.9	0.6	9.4	0.8	3.5	0.8	0.9	1.8
19/11/2021 15:00	56.5	10.5	40.4	0.6	17.0	0.6	2.1	0.7	0.7	1.3
19/11/2021 16:00	58.4	10.9	41.6	0.6	15.3	0.6	3.9	0.8	0.8	1.9
19/11/2021 17:00	56.6	8.2	44.1	0.6	15.5	0.6	2.7	0.8	0.8	2.1
19/11/2021 18:00	62.6	9.5	48.1	0.6	9.0	0.7	3.1	0.8	0.9	1.8
19/11/2021 19:00	58.5	8.7	45.2	0.6	11.3	0.7	3.8	0.8	1.0	2.0
19/11/2021 20:00	53.2	9.1	39.5	0.6	16.2	0.8	2.7	0.6	1.0	1.5
19/11/2021 21:00	43.5	5.1	35.7	0.7	17.5	1.0	3.4	0.8	1.2	2.0
19/11/2021 22:00	41.8	4.1	35.5	0.6	14.8	0.7	1.7	0.4	0.4	1.0
19/11/2021 23:00	39.6	3.7	33.9	0.6	13.4	0.7	2.9	0.6	0.9	1.5
20/11/2021 00:00	38.5	3.2	33.6	0.6	12.2	0.6	1.5	0.7	0.6	0.9

20/11/2021 01:00	37.2	2.7	33.1	0.6	11.9	0.6	1.3	0.3	0.6	0.8
20/11/2021 02:00	36.6	3.0	32.0	0.6	12.1	0.6	1.6	0.4	0.5	0.8
20/11/2021 03:00	36.2	3.1	31.5	0.6	10.8	0.6	1.7	0.4	0.5	0.8
20/11/2021 04:00	36.3	3.2	31.4	0.6	8.3	0.6	1.8	0.5	0.8	1.0
20/11/2021 05:00	36.2	3.8	30.4	0.6	6.6	0.6	1.8	0.4	0.6	0.9
20/11/2021 06:00	34.1	3.8	28.2	0.6	5.7	0.6	1.8	0.5	0.5	0.9
20/11/2021 07:00	36.5	4.3	30.0	0.6	6.1	0.7	2.1	0.7	0.9	1.2
20/11/2021 08:00	39.5	6.8	29.0	0.6	4.3	0.6	1.8	0.5	0.6	0.9
20/11/2021 09:00	47.5	12.0	29.2	0.6	5.1	0.6	1.8	0.5	0.5	0.9
20/11/2021 10:00	48.9	10.7	32.6	0.6	10.4	0.7	2.2	0.7	0.7	1.4
20/11/2021 11:00	54.3	13.9	33.0	0.6	10.6	0.8	2.2	0.5	0.7	1.2
20/11/2021 12:00	57.3	14.4	35.2	0.6	13.4	0.7	2.5	0.6	0.6	1.2
20/11/2021 13:00	59.7	15.6	35.8	0.6	14.1	0.7	2.6	0.7	0.9	1.5
20/11/2021 14:00	55.7	14.5	33.5	0.6	17.0	0.6	2.1	0.5	0.9	1.1
20/11/2021 15:00	48.6	11.6	30.9	0.6	15.5	0.6	2.5	0.6	0.7	1.1
20/11/2021 16:00	51.2	11.6	33.3	0.6	14.0	0.6	2.4	0.7	0.8	1.2
20/11/2021 17:00	59.9	13.0	39.9	0.6	7.8	0.6	3.0	0.6	0.9	1.4
20/11/2021 18:00	59.2	10.4	43.2	0.6	4.6	0.7	2.8	0.5	0.9	1.4
20/11/2021 19:00	58.5	9.5	43.9	0.7	3.8	0.9	2.3	0.5	0.7	1.0
20/11/2021 20:00	64.1	12.7	44.7	0.7	3.4	0.8	2.3	0.5	0.8	1.1
20/11/2021 21:00	73.7	17.5	46.9	0.7	3.4	0.9	2.5	0.6	0.8	1.2
20/11/2021 22:00	70.2	15.8	46.0	0.7	3.2	0.9	2.6	0.5	0.8	1.2
20/11/2021 23:00	72.1	17.8	44.8	0.7	3.2	1.0	2.6	0.6	0.7	1.3
21/11/2021 00:00	70.6	17.2	44.2	0.8	3.1	1.0	2.8	0.6	0.9	1.3
21/11/2021 01:00	68.1	15.9	43.8	0.7	3.1	0.9	2.8	0.7	0.9	1.4
21/11/2021 02:00	61.8	12.2	43.1	0.7	3.1	1.0	3.3	0.6	0.8	1.4
21/11/2021 03:00	58.1	11.0	41.2	0.7	3.2	0.9	2.7	0.6	0.9	1.3
21/11/2021 04:00	58.2	13.3	37.8	0.7	3.0	0.9	2.9	0.6	0.7	1.2
21/11/2021 05:00	60.5	14.5	38.3	0.8	3.2	1.0	3.0	0.6	0.7	1.3
21/11/2021 06:00	62.8	16.5	37.5	0.8	3.1	1.0	2.8	0.6	0.7	1.3
21/11/2021 07:00	64.9	20.5	33.4	0.8	3.2	1.1	3.1	0.6	0.8	1.4
21/11/2021 08:00	69.9	24.7	32.1	0.9	3.6	1.3	3.9	0.5	0.8	1.4
21/11/2021 09:00	78.4	31.0	30.9	0.9	4.0	1.3	4.2	0.5	0.9	1.4
21/11/2021 10:00	80.2	32.6	30.2	1.0	5.9	1.5	4.5	0.8	1.2	2.1
21/11/2021 11:00	94.8	37.6	37.2	1.0	7.5	1.5	5.1	1.0	1.2	2.7
21/11/2021 12:00	97.2	36.3	41.5	1.0	8.7	1.8	6.0	1.7	1.9	5.5
21/11/2021 13:00	92.9	32.3	43.4	1.0	9.5	1.5	4.4	1.2	1.6	3.8
21/11/2021 14:00	91.6	30.0	45.5	1.0	9.2	1.5	3.6	0.7	0.9	1.6
21/11/2021 15:00	97.3	30.8	50.1	1.0	6.9	1.5	3.5	0.6	0.9	1.4
21/11/2021 16:00	86.5	24.7	48.6	0.9	4.4	1.5	3.4	0.6	0.7	1.4
21/11/2021 17:00	97.9	32.0	48.8	1.0	3.9	1.4	3.4	0.5	0.8	1.3
21/11/2021 18:00	118.1	43.5	51.4	1.0	2.9	1.5	3.8	0.6	0.9	1.6
21/11/2021 19:00	131.6	51.0	53.3	1.0	3.2	1.5	4.5	6.5	5.3	20.6
21/11/2021 20:00	97.4	30.9	50.1	0.8	2.8	1.3	4.4	1.0	1.0	2.4
21/11/2021 21:00	70.3	16.8	44.6	0.7	2.6	0.9	2.6	0.5	0.8	1.1
21/11/2021 22:00	62.5	13.2	42.2	0.7	2.8	0.8	2.3	0.5	0.7	1.1
21/11/2021 23:00	59.9	12.8	40.4	0.7	2.7	0.9	2.4	0.4	0.7	1.0
22/11/2021 00:00	47.1	5.8	38.2	0.6	3.2	0.7	2.3	0.5	0.6	0.9
22/11/2021 01:00	39.4	3.8	33.6	0.6	4.5	0.7	1.6	0.5	0.5	0.9
22/11/2021 02:00	36.5	3.8	30.7	0.6	4.6	0.6	1.7	0.5	0.6	0.8
22/11/2021 03:00	33.8	3.6	28.3	0.6	7.4	0.7	1.8	0.5	0.4	0.8
22/11/2021 04:00	27.2	3.2	22.3	0.6	14.4	0.6	1.5	0.4	0.3	0.7
22/11/2021 05:00	28.4	3.6	22.9	0.6	12.8	0.6	1.8	0.4	0.7	0.6
22/11/2021 06:00	29.8	3.9	23.8	0.6	10.7	0.7	1.7	0.4	0.7	0.8
22/11/2021 07:00	36.6	5.8	27.7	0.6	6.7	0.6	1.5	0.4	0.6	0.8
22/11/2021 08:00	50.3	11.7	32.3	0.7	4.2	0.8	1.8	0.5	0.6	0.9
22/11/2021 09:00	64.6	19.3	35.0	0.7	4.0	1.0	2.2	1.0	1.1	2.6
22/11/2021 10:00	70.5	22.4	36.1	0.7	4.8	0.9	2.9	0.9	1.1	2.6
22/11/2021 11:00	62.5	18.3	34.4	0.7	8.4	0.9	2.4	0.8	1.1	2.2
22/11/2021 12:00	41.8	7.9	29.6	0.6	17.6	0.7	1.6	0.7	0.8	1.6
22/11/2021 13:00	34.8	6.3	25.2	0.6	25.2	0.7	1.5	0.6	0.7	1.0
22/11/2021 14:00	44.6	8.5	31.5	0.6	23.1	0.7	1.9	0.5	0.6	1.1
22/11/2021 15:00	70.1	16.1	45.4	0.6	10.6	0.7	3.7	0.9	1.3	2.4
22/11/2021 16:00	90.1	24.8	52.1	0.8	5.4	1.1	10.3	2.7	3.2	10.1
22/11/2021 17:00	105.1	30.9	57.7	0.8	3.5	1.1	5.3	1.3	1.6	4.0
22/11/2021 18:00	136.4	49.9	60.0	0.9	3.1	1.1	17.3	6.0	8.1	23.9
22/11/2021 19:00	119.6	40.0	58.3	1.0	3.0	1.4	7.4	1.1	1.5	3.3
22/11/2021 20:00	120.6	42.5	55.4	1.0	2.9	1.5	6.8	1.0	1.6	3.1
22/11/2021 21:00	107.5	34.4	54.7	1.0	3.3	1.6	5.1	0.9	1.2	2.3

22/11/2021 22:00	105.3	35.0	51.6	1.1	3.5	1.5	3.4	0.7	0.9	1.7
22/11/2021 23:00	106.6	39.4	46.2	1.2	3.5	1.7	3.8	0.9	1.0	2.0
23/11/2021 00:00	97.2	35.4	43.0	1.1	3.5	1.9	7.3	1.1	1.4	3.2
23/11/2021 01:00	86.9	29.9	40.9	1.1	2.9	1.8	4.3	0.8	0.9	2.2
23/11/2021 02:00	82.0	27.6	39.7	1.0	2.8	1.6	4.9	0.7	0.9	1.7
23/11/2021 03:00	75.4	22.3	41.2	1.0	2.7	1.4	4.8	0.7	1.0	1.9
23/11/2021 04:00	62.4	10.8	45.7	0.8	3.9	1.1	3.7	0.8	0.9	1.9
23/11/2021 05:00	51.2	5.2	43.1	0.7	6.2	0.9	3.0	0.6	1.0	1.5
23/11/2021 06:00	45.1	4.0	38.9	0.6	10.6	0.7	2.6	0.6	0.7	1.3
23/11/2021 07:00	40.4	3.9	34.4	0.6	19.1	0.6	1.8	0.6	0.6	1.1
23/11/2021 08:00	69.8	15.6	46.1	0.7	11.5	0.6	1.7	0.4	0.7	0.9
23/11/2021 09:00	86.1	24.0	49.4	0.7	4.6	0.9	2.6	2.1	2.7	7.5
23/11/2021 10:00	68.4	16.2	43.6	0.6	9.7	0.8	2.5	1.2	1.2	3.4
23/11/2021 11:00	57.2	12.4	38.2	0.6	18.0	0.6	1.9	0.5	0.6	1.1
23/11/2021 12:00	45.6	8.5	32.6	0.6	26.6	0.7	4.3	0.6	0.7	1.2
23/11/2021 13:00	41.3	8.2	28.8	0.5	31.8	0.5	6.3	0.4	0.6	1.0
23/11/2021 14:00	31.8	6.4	21.9	0.5	41.0	0.5	1.0	0.4	0.4	0.7
23/11/2021 15:00	31.6	6.1	22.3	0.5	41.7	0.4	0.8	0.3	0.5	0.6
23/11/2021 16:00	33.3	5.7	24.5	0.5	38.8	0.4	1.0	0.5	0.3	0.7
23/11/2021 17:00	57.5	8.8	44.0	0.6	18.1	0.5	1.7	0.7	0.7	1.8
23/11/2021 18:00	119.4	36.9	62.8	1.0	4.5	1.2	5.3	1.7	1.9	5.4
23/11/2021 19:00	229.2	107.2	64.8	1.5	3.9	2.9	13.5	2.8	3.8	11.0
23/11/2021 20:00	202.2	93.3	59.2	1.3	5.1	2.7	19.9	5.5	6.4	22.3
23/11/2021 21:00	132.6	49.8	56.2	1.1	4.3	2.0	8.3	2.4	2.9	9.3
23/11/2021 22:00	111.1	40.1	49.5	1.0	3.9	1.6	3.7	0.8	1.2	2.5
23/11/2021 23:00	102.2	36.1	46.9	1.1	4.2	1.5	3.6	0.8	1.1	2.3
24/11/2021 00:00	122.5	50.4	45.3	1.3	4.0	1.8	5.3	1.1	1.6	3.5
24/11/2021 01:00	118.5	52.2	38.5	1.3	3.7	2.0	8.5	1.3	1.9	4.8
24/11/2021 02:00	83.4	32.2	34.1	1.1	3.4	1.7	5.9	1.0	1.6	3.3
24/11/2021 03:00	65.2	21.8	31.8	0.9	3.2	1.2	4.0	1.0	1.3	3.3
24/11/2021 04:00	72.3	25.7	32.8	0.9	3.2	1.2	3.3	0.6	0.7	1.5
24/11/2021 05:00	69.1	22.6	34.5	0.9	2.9	1.0	3.3	0.8	1.0	1.6
24/11/2021 06:00	74.7	25.9	34.9	0.8	2.7	0.9	3.9	0.6	0.9	1.7
24/11/2021 07:00	87.1	33.1	36.3	0.8	2.8	1.0	4.1	0.7	1.0	2.0
24/11/2021 08:00	115.3	51.1	36.9	1.2	2.8	1.3	4.4	0.8	1.0	2.1
24/11/2021 09:00	146.8	70.6	38.4	1.3	3.6	1.5	5.2	1.5	1.8	5.0
24/11/2021 10:00	144.8	65.1	44.9	1.6	5.3	1.8	5.5	1.1	1.6	3.4
24/11/2021 11:00	164.2	74.2	50.5	0.7	7.1	1.2	5.8	1.1	1.2	3.1
24/11/2021 12:00										
24/11/2021 13:00										
24/11/2021 14:00										
24/11/2021 15:00										
24/11/2021 16:00										
24/11/2021 17:00										
24/11/2021 18:00										
24/11/2021 19:00										
24/11/2021 20:00										
24/11/2021 21:00										
24/11/2021 22:00										
24/11/2021 23:00										
25/11/2021 00:00										

Allegato 3: Dati giornalieri PM10 e PM2.5

Periodo Estivo			Periodo Estivo		
Data	PM10	PM2.5	Data	PM10	PM2.5
05/05/2021	15.3	2.1	13/10/2021		
06/05/2021	21.7	5.9	14/10/2021		
07/05/2021	11.4	4.8	15/10/2021		
08/05/2021	12.8	3.7	16/10/2021	34.9	27.5
09/05/2021	19.8	9.3	17/10/2021	27.5	20.8
10/05/2021	14		18/10/2021	38.4	27.5
11/05/2021	4		19/10/2021	52.1	41.6
12/05/2021	9.5		20/10/2021	47.4	37.9
13/05/2021	7.4	4.1	21/10/2021	27.1	19.9
14/05/2021	12.3	6.3	22/10/2021	23	17.2
15/05/2021	9.1	5.9	23/10/2021	38.3	
16/05/2021	10.5	5.3	24/10/2021	21.3	
17/05/2021	6.5	3.4	25/10/2021	29.3	
18/05/2021	8.5	3	26/10/2021	37.4	
19/05/2021	7	1.7	27/10/2021	36	
20/05/2021	7.2	2.5	28/10/2021	40.1	
21/05/2021	13.7	4.9	29/10/2021	51.6	38.1
22/05/2021	12.9	5.5	30/10/2021	46.8	38.8
23/05/2021	7.4	5.6	31/10/2021	17	13.7
24/05/2021	11.8	7.8	01/11/2021	20.5	17.1
25/05/2021	8.1	8.1	02/11/2021	19.8	14.6
26/05/2021	15.1	10.9	03/11/2021	10.6	8.2
27/05/2021	20.3	13.1	04/11/2021	9.3	7.1
28/05/2021	21.9	11.9	05/11/2021	15.3	
29/05/2021	23.1	11.3	06/11/2021	13.6	
30/05/2021	14	10	07/11/2021	17.2	
31/05/2021	17.2	10.5	08/11/2021	24.6	
01/06/2021	26.4	13.1	09/11/2021	20.5	
02/06/2021	19.3	12.7	10/11/2021	25.1	18.3
03/06/2021	20.9	10.4	11/11/2021	32.7	24.4
04/06/2021	19.6	9.9	12/11/2021	40.1	28.9
05/06/2021	17.1	17.9	13/11/2021	44.5	35.4
06/06/2021	10.5	10.1	14/11/2021	10	10.6
07/06/2021	14	18.5	15/11/2021	13.2	9.9
			16/11/2021	23.2	18.4
			17/11/2021	32.7	26.1
			18/11/2021	27	17.8
			19/11/2021	23.6	15.8
			20/11/2021	23.7	18.5
			21/11/2021	21.9	19.2
			22/11/2021	12.8	12.1
			23/11/2021	20.2	16.8